

#### Fachbereich Mathematik

#### Masterarbeit

### Analyse der Konvergenzgeschwindigkeit eines einfach berechenbaren Neuronale-Netze-Regressionsschätzers

Adrian Gabel

18. April 2020

Betreuer: Prof. Dr. Michael Kohler

# Erklärung zur Abschlussarbeit gemäß § 22 Abs. 7 und § 23 Abs. 7 APB TU Darmstadt

Hiermit versichere ich, Adrian Gabel, die vorliegende Master-Thesis gemäß § 22 Abs. 7 APB der TU Darmstadt ohne Hilfe Dritter und nur mit den angegebenen Quellen und Hilfsmitteln angefertigt zu haben. Alle Stellen, die Quellen entnommen wurden, sind als solche kenntlich gemacht worden. Diese Arbeit hat in gleicher oder ähnlicher Form noch keiner Prüfungsbehörde vorgelegen.

Mir ist bekannt, dass im Falle eines Plagiats (§ 38 Abs. 2 APB) ein Täuschungsversuch vorliegt, der dazu führt, dass die Arbeit mit 5,0 bewertet und damit ein Prüfungsversuch verbraucht wird. Abschlussarbeiten dürfen nur einmal wiederholt werden.

Bei der abgegebenen Thesis stimmen die schriftliche und die zur Archivierung eingereichte elektronische Fassung gemäß § 23 Abs. 7 APB überein.

Hamburg, 18. April 2020

Adrian Gabel

## Inhaltsverzeichnis

Ei	linleitung					
1	1 Grundlagen für neuronale Netze					
2	Konstruktion eines Neuronale-Netze-Schätzers					
	2.1	Definition der Netzwerkarchitektur	25			
	2.2	Bestimmung der Gewichte der Ausgabeschicht	34			
3	Res	ultat zur Konvergenzgeschwindigkeit	38			
	3.1	Approximationsresultate für Hauptsatz 3.1	39			
	3.2	Der Beweis von Hauptsatz 3.1	41			
		3.2.1 Abschätzung von $T_{1,n}$	41			
		3.2.2 Abschätzung von $T_{2,n}$	43			
4	Anv	vendungsbeispiel auf simulierte Daten	52			
	4.1	Parameterstudie	52			
	4.2	Vergleich des empirischen $L_2$ -Fehlers	59			
Aj	pend	lix	62			
Li	terati	urverzeichnis	76			

### **Einleitung**

Erfinder träumen schon lange davon, Maschinen zu erschaffen, die denken. Dieser Wunsch geht zumindest auf die Zeit des antiken Griechenlands zurück. Die mythischen Figuren Pygmalion, Daedalus und Hephaestus können alle als legendäre Erfinder interpretiert werden, und Galatea, Talos und Pandora können alle als künstliches Leben betrachtet werden (siehe [MK05], [Spa96], [HTN96]).

Als programmierbare Computer zum ersten Mal konzipiert wurden, fragten sich die Menschen, ob solche Maschinen intelligent werden könnten, mehr als hundert Jahre bevor man sie baute. Heute ist die künstliche Intelligenz (*KI*) ein blühendes Feld mit vielen praktischen Anwendungen und aktiven Forschungsthemen. Künstliche Intelligenz ist längst in unserem Alltag präsent und dringt in immer mehr Bereiche vor. Sprachassistenten etwa sind bereits als Helfer auf dem Smartphone, im Auto oder zu Hause Normalität geworden. Fortschritte im Bereich der KI beruhen vor allem auf der Verwendung *neuronaler Netze*. Vergleichbar mit der Funktionsweise des menschlichen Gehirns verknüpfen sie mathematisch definierte Einheiten miteinander [GBC16].

In vielen Anwendungen der KI geht es darum, aus einer Menge von Daten eine allgemeine Regel abzuleiten (maschinelles Lernen). Maschinelles Lernen kann als Lernen einer Funktion f zusammengefasst werden, die Eingangsvariablen X auf Ausgangsvariablen Y abbildet, sodass die Abbildungsvorschrift f(X) = Y entsteht.

Ein Algorithmus lernt diese Zielabbildungsfunktion aus Trainingsdaten. Die Form der Funktion ist unbekannt, sodass es unsere Aufgabe als Praktiker des maschinellen Lernens ist, verschiedene Algorithmen des maschinellen Lernens zu evaluieren und zu sehen, welcher die zugrunde liegende Funktion besser annähert. Unterschiedliche Algorithmen machen unterschiedliche Annahmen über die Form der Funktion und die Art und Weise, wie sie gelernt werden kann.

Algorithmen, die keine Annahmen über die Form der Abbildungsfunktion treffen, werden als nichtparametrische Algorithmen des maschinellen Lernens bezeichnet. Indem sie keine Annahmen treffen, können sie jede beliebige Funktionsform aus den Trainingsdaten lernen. Nichtparametrische Methoden sind gut, wenn viele Daten verfügbar sind und man sich

nicht allzu sehr um die Auswahl der richtigen Funktionen kümmern will [RN09, Seite 757]. Mathematisch führt dies zu einem Approximationsproblem.

Im Kontext der KI wurden hierzu unter anderem neuronale Netze vorgeschlagen, die als universale Funktionsapproximatoren (*Schätzer*) eingesetzt werden können, jedoch insbesondere bei vielen verdeckten Schichten schwer zu analysieren sind. Dies führt unter anderem dazu, dass eine große Lücke zwischen den Schätzungen, für die schöne Konvergenzergebnisse in der Theorie nachgewiesen wurden, und den Schätzungen entsteht, die in der Praxis verwendet werden können.

Ziel dieser Arbeit ist es, die folgende Frage genauer zu betrachten: Wenn wir eine Regressionsschätzung des neuronalen Netzes theoretisch genau so definieren, wie sie in der Praxis umgesetzt wird, welches Konvergenzergebnis können wir dann für diese Schätzung vorweisen?

Als Erstes werden wir in Kapitel 1 Grundlagen zu neuronalen Netzen für den weiteren Verlauf der Arbeit sammeln. Anschließend definieren wir in Kapitel 2 eine neue, leicht zu implementierende Neuronale-Netze-Regressionsschätzung. Die Besonderheit des dem Schätzer zugrunde liegenden neuronalen Netzes besteht darin, dass die meisten Gewichte unabhängig von den Daten gewählt werden. In Kapitel 3 zeigen wir, dass wir für diesen Schätzer Konvergenzraten ableiten können, falls die Regressionsfunktion bestimmte Glattheitsvoraussetzungen erfüllt. Abschließend wird in Kapitel 4 eine Simulation durchgeführt, bei der die Leistung unseres vorgestellten Schätzers mit anderen verbreiteten Schätzern verglichen wird. Diese Arbeit orientiert sich an [BKK19].

### Kapitel 1

### Grundlagen für neuronale Netze

Das Ziel dieses Kapitels ist es, auf die in dieser Arbeit verwendeten neuronalen Netze einzugehen, die als Bausteine für unseren einfach berechenbaren Neuronale-Netze-Regressionsschätzer verwendet werden. Weiterhin werden wir Approximationsresultate darstellen und beweisen, welche wir für das Resultat der Konvergenzgeschwindigkeit des einfach berechenbaren Neuronale-Netze-Regressionsschätzers benötigen werden. Wenn wir in dieser Arbeit von *unserem Neuronale-Netze-Regressionsschätzer* sprechen, beziehen wir uns immer auf den *einfach berechenbaren Neuronale-Netze-Regressionsschätzer* aus [BKK19]. In dieser Arbeit bezeichnen wir mit  $d \ge 1$  immer eine natürliche Zahl.

Da wir uns in dieser Arbeit mit neuronalen Netzen beschäftigen, ist es hilfreich zu wissen, was man darunter versteht. Ein neuronales Netz ist nichts anderes als eine Ansammlung von Neuronen, welche als Informationsverarbeitungseinheiten dienen, die schichtweise in einer Architektur angeordnet sind. Beginnend mit der Eingabeschicht (*Input Layer*) fließen Informationen über eine oder mehrere verborgene Schichten (*Hidden Layer*) bis hin zur Ausgabeschicht (*Output Layer*). Die Informationsweitergabe der Neuronen verläuft wie folgt: Für jedes Neuron j werden die Eingaben  $x_1, \ldots, x_n$  mit  $w_{1_j}, \ldots, w_{n_j}$  gewichtet an eine Aktivierungsfunktion  $\sigma$  übergeben, welche die Neuronenaktivierung berechnet. Die Eingaben können aus dem beobachteten Prozess resultieren oder andererseits aus den Ausgaben anderer Neuronen stammen. Der Endpunkt des Informationsflusses in einem neuronalen Netz ist die Ausgabeschicht, die hinter den verborgenen Schichten liegt. Sie bildet damit die letzte Schicht in einem neuronalen Netz. Die Ausgabeschicht enthält somit das Ergebnis der Informationsverarbeitung durch das Netz. Zwei wichtige Charakteristika, die neuronale Netze aufweisen können, sind:

 Wenn in einem neuronalen Netz die Information von der Eingabeschicht über die verborgenen Schichten bis hin zur Ausgabeschicht in eine Richtung ("vorwärts") weitergereicht wird, spricht man von einem feedforward neuronalen Netz. • Ein neuronales Netz wird als ein *Fully-connected* ("vollständig verbundenes") neuronales Netz bezeichnet, wenn sämtliche Neuronen einer Schicht mit allen der darauffolgenden verbunden sind. Da man bei Fully-connected neuronalen Netzen die Gewichte der Verbindungen zwischen zwei Neuronen auf Null setzen kann, unterscheiden wir hier nicht mehr zwischen neuronalen Netzen die Fully-connected sind oder nicht.

Als Nächstes kommen wir zur mathematischen Definition eines neuronalen Netzes, welche wir in dieser Form im weiteren Verlauf dieser Arbeit benötigen werden.

**Definition 1.1.** Sei  $L \in \mathbb{N}$ ,  $\mathbf{k} \in \mathbb{N}^L$  und  $\sigma \colon \mathbb{R} \to \mathbb{R}$ . Ein *mehrschichtiges feedforward* neuronales Netz mit Architektur  $(L, \mathbf{k})$  und Aktivierungsfunktion  $\sigma$ , ist eine reellwertige Funktion  $f \colon \mathbb{R}^d \to \mathbb{R}$  definiert durch:

$$f(x) = \sum_{i=1}^{k_L} c_i^{(L)} \cdot f_i^{(L)}(x) + c_0^{(L)}$$

mit Gewichten  $c_0^{(L)},\dots,c_{k_L}^{(L)}\in\mathbb{R}$  und für  $f_i^{(L)}$  mit  $i=1,\dots,k_L$  rekursiv definiert durch:

$$f_i^{(r)}(x) = \sigma_r \left( \sum_{i=1}^{k_r - 1} c_{i,j}^{(r-1)} \cdot f_j^{(r-1)}(x) + c_{i,0}^{(r-1)} \right)$$

mit Gewichten  $c_{i,0}^{(r-1)},\dots,c_{i,k_{r-1}}^{(r-1)}\in\mathbb{R}$  mit  $r=2,\dots,L$ , wobei  $\sigma_r\in\{\sigma,\mathrm{id}\}$  und:

$$f_i^{(1)}(x) = \sigma_1 \left( \sum_{j=1}^d c_{i,j}^{(0)} \cdot x^{(j)} + c_{i,0}^{(0)} \right)$$

für die Gewichte  $c_{i,0}^{(0)},\ldots,c_{i,d}^{(0)}\in\mathbb{R}$ , wobei  $\sigma_1\in\{\sigma,\mathrm{id}\}$ . Weiterhin sei  $\mathfrak{N}(L,\mathbf{k},\sigma)$  die Klasse aller mehrschichtigen feedforward neuronalen Netze mit Architektur  $(L,\mathbf{k})$  und Aktivierungsfunktion  $\sigma$ .

Wir werden ab jetzt der Einfachheit halber nur noch von neuronalen Netzen mit Architektur  $(L, \mathbf{k})$  reden, wenn die Aktivierungsfunktion  $\sigma$  aus dem Kontext bekannt ist oder keine Rolle spielt und beziehen uns damit immer auf Definition 1.1. Wenn aus dem Kontext die Architektur  $(L, \mathbf{k})$  und die Aktivierungsfunktion  $\sigma$  bereits bekannt ist, sprechen wir nur noch von einem neuronalen Netz, beziehen uns damit aber dennoch auf Definition 1.1.

Bemerkung 1.2. In obiger Definition versteht man unter:

- $L \in \mathbb{N}$  die Anzahl an verborgenen Schichten von f.
- $\mathbf{k} = (k_1, \dots, k_L) \in \mathbb{N}^L$  einen Vektor, der die Anzahl an Neuronen in jeder verborgenen Schicht angibt.

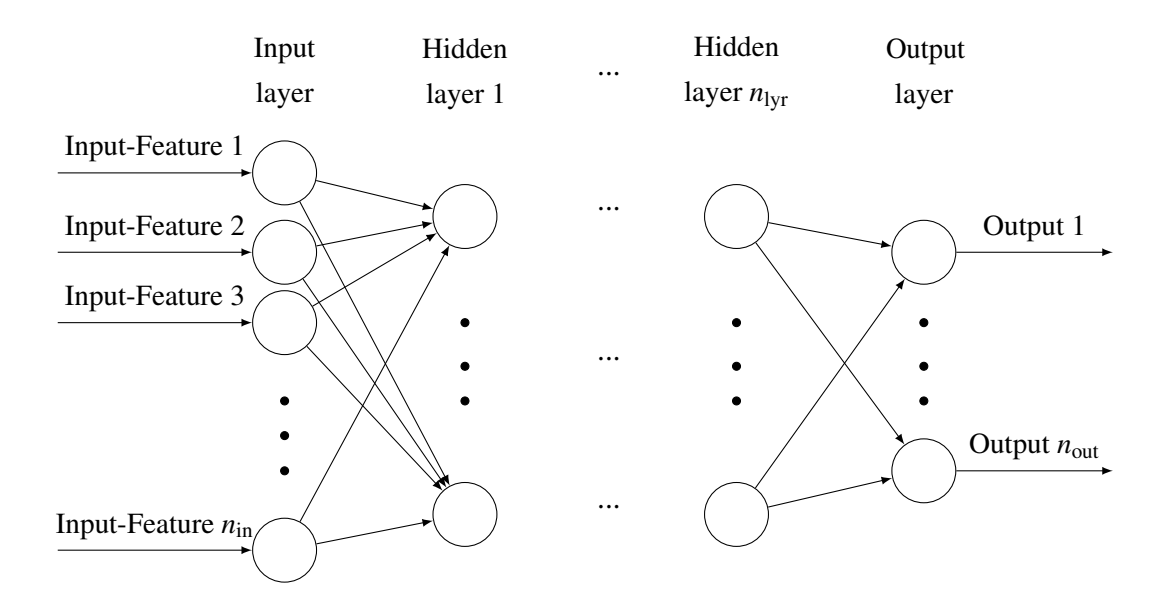


Abbildung 1.1: Mehrschichtiges feedforward neuronales Netz mit einer Eingabeschicht mit  $n_{\rm in}$  Neuronen,  $n_{\rm lyr}$  vielen verborgenen Schichten, deren Anzahl an Neuronen variieren kann und einer Ausgabeschicht bestehend aus  $n_{\rm out}$  Neuronen.

Ist  $f = \sum_{i=1}^{n} a_i f_i$  eine Linearkombination von neuronalen Netzen  $f_1, \ldots, f_n \in \mathfrak{N}(L, \mathbf{k}, \sigma)$  mit Linearfaktoren  $a_1, \ldots, a_n \in \mathbb{R}$ , so können wir f als ein neuronales Netz mit Architektur  $(L+1, (k_1, \ldots, k_L, n))$  betrachten, wobei in diesem Fall  $\sigma_L = \operatorname{id} \operatorname{gilt}$ .

Da wir bei Neuronale-Netze-Regressionsschätzern Funktionswerte schätzen möchten, haben wir in der Ausgabeschicht nur ein Neuron. Damit erreichen wir einen eindimensionalen Output. Wie wir an der Konstruktion des neuronalen Netzes in Definition 1.1 erkennen können, nehmen wir in der Ausgabeschicht die Identität als Aktivierungsfunktion.

Abbildung 1.1 zeigt schematisch ein mehrschichtiges feedforward neuronales Netz, welches aus einer Eingabeschicht (*Input-Feature 1 - Input-Feature n\_{\rm in}*),  $n_{\rm lyr}$  verborgenen Schichten und einer Ausgabeschicht (*Output 1 - Output n\_{\rm out}*) besteht.

Wie zuvor erwähnt ist einer der Ausgangspunkte für die Definition eines neuronalen Netzes die Wahl einer Aktivierungsfunktion  $\sigma \colon \mathbb{R} \to \mathbb{R}$ . Wir kommen nun zu einer häufig vorausgesetzten Eigenschaft an Aktivierungsfunktionen.

**Definition 1.3.** Sei  $N \in \mathbb{N}_0$ . Eine Funktion  $\sigma \colon \mathbb{R} \to [0,1]$  wird *N-zulässig* genannt, wenn sie monoton wachsend und lipschitzstetig ist und wenn zusätzlich die folgenden drei Bedingungen erfüllt sind:

- (i) Die Funktion  $\sigma$  ist (N+1)-mal stetig differenzierbar mit beschränkten Ableitungen.
- (ii) Es existiert ein Punkt  $t_{\sigma} \in \mathbb{R}$  mit

$$\sigma^{(i)}(t_{\sigma}) \neq 0$$
 für  $i = 0, \dots, N$ .

(iii) Wenn 
$$y > 0$$
 ist, gilt  $|\sigma(y) - 1| \le \frac{1}{y}$ . Wenn  $y < 0$  ist, gilt  $|\sigma(y)| \le \frac{1}{|y|}$ .

Ein in dieser Arbeit wichtiges Beispiel für eine Aktivierungsfunktion bildet der sogenannte sigmoidal bzw. logistische Squasher:

$$\sigma(x) = \frac{1}{1 + \exp(-x)} \quad (x \in \mathbb{R}). \tag{1.1}$$

**Lemma 1.4.** Sei  $n \in \mathbb{N}$ . Dann existiert zur n-ten Ableitung  $\sigma^{(n)}$  des logistischen Squashers  $\sigma$  aus Gleichung (1.1) ein Polynom  $P_n$  vom Grad (n+1), sodass  $P_n(\sigma) = \sigma^{(n)}$  gilt. Insbesondere ist  $P_n$  ungleich dem Nullpolynom für alle  $n \in \mathbb{N}$ .

Beweis. Wir zeigen die Aussage per Induktion über n.

Induktionsanfang (IA): Die Funktion  $\sigma$  erfüllt die gewöhnliche Differentialgleichung  $\sigma^{(1)} = (1 - \sigma) \cdot \sigma$ , da:

$$\sigma^{(1)}(x) = -\frac{1}{(1 + \exp(-x))^2} \cdot (-\exp(-x)) = \frac{\exp(-x)}{1 + \exp(-x)} \cdot \frac{1}{1 + \exp(-x)}$$
$$= \left(1 - \frac{1}{1 + \exp(-x)}\right) \cdot \frac{1}{1 + \exp(-x)} = (1 - \sigma(x)) \cdot \sigma(x).$$

Damit gilt  $\sigma^{(1)} = P_1(\sigma)$  mit  $P_1(x) = x - x^2$ . Es gilt  $\deg(P_1) = 2$ , da der führende Koeffizient von  $P_1$  ungleich Null ist.

*Induktionshypothese* (IH): Die Aussage gelte für ein beliebiges aber festes  $n \in \mathbb{N}$ .

Induktionsschritt (IS): Nach der Induktionshypothese existiert ein Polynom  $P_{n-1}$  mit  $P_{n-1}(x) = \sum_{k=0}^{n} a_k \cdot x^k$  und  $\sigma^{(n-1)} = P_{n-1}(\sigma)$ . Mit der Kettenregel aus der Differentialrechnung erhalten wir:

$$\sigma^{(n)} = (\sigma^{(n-1)})' \stackrel{\text{(IH)}}{=} \left(\sum_{k=0}^{n} a_k \cdot \sigma^k\right)' = \sum_{k=1}^{n} a_k \cdot k \cdot \sigma^{k-1} \cdot \sigma' \stackrel{\text{(IA)}}{=} \sum_{k=1}^{n} a_k \cdot k \cdot \sigma^{k-1} \cdot \sigma \cdot (1-\sigma)$$

$$= \sum_{k=1}^{n} a_k \cdot k \cdot \sigma^k - \sum_{k=1}^{n} a_k \cdot k \cdot \sigma^{k+1}. \tag{1.2}$$

Gleichung (1.2) definiert ein Polynom  $P_n$  vom Grad (n+1) mit  $\sigma^{(n)} = P_n(\sigma)$ . Damit haben wir die Aussage für alle  $n \in \mathbb{N}$  bewiesen.

**Lemma 1.5.** Sei  $N \in \mathbb{N}_0$  beliebig, dann ist der logistische Squasher  $\sigma$  aus Gleichung (1.1) N-zulässig.

*Beweis*. Sei  $N \in \mathbb{N}_0$  beliebig. Dadurch, dass  $0 \le \frac{1}{1 + \exp(-x)} \le 1$  für alle  $x \in \mathbb{R}$  gilt, erhalten wir schließlich auch  $\sigma : \mathbb{R} \to [0,1]$ . Wir wissen, dass  $\sigma$  monoton wachsend ist, da für beliebige  $s,t \in \mathbb{R}$  mit  $s \le t$  gilt:

$$\sigma(s) = \frac{1}{1 + \exp(-s)} \le \frac{1}{1 + \exp(-t)} = \sigma(t),$$

wobei wir verwendet haben, dass aufgrund der Monotonie der Exponentialfunktion für  $s \le t$  auch  $\exp(-s) \ge \exp(-t)$  gilt. Zudem ist  $\sigma$  als Komposition glatter Funktionen insbesondere (N+1)-mal stetig differenzierbar.

Mit Lemma 1.4 wissen wir, dass alle Ableitungen von  $\sigma$ , Polynome in  $\sigma$  sind. Dadurch folgt Bedingung (i) aus Definition 1.3, da  $\sigma$  nach Voraussetzung beschränkt ist und die Ableitungen von  $\sigma$  als endliche Summe von Produkten beschränkter Faktoren ebenfalls beschränkt sind. Da hiermit auch insbesondere die erste Ableitung von  $\sigma$  beschränkt ist, wissen wir, dass  $\sigma$  lipschitzstetig ist.

Nun kommen wir zum Beweis von Bedingung (ii). Sei  $\mathcal{N}$  die Menge aller Nullstellen der Polynome  $P_1, \ldots, P_n$  aus Lemma 1.4. Da keines dieser Polynome das Nullpolynom ist, wissen wir, dass  $|\mathcal{N}| < \infty$  gilt. Insbesondere ist  $(0,1) \setminus \mathcal{N}$  nicht leer. Sei  $y \in (0,1) \setminus \mathcal{N}$ . Da  $\sigma$  surjektiv nach (0,1) ist, existiert ein  $t_{\sigma} \in \mathbb{R}$  mit  $\sigma(t_{\sigma}) = y$ . Per Konstruktion ist  $\sigma^{(n)}(t_{\sigma}) \neq 0$ . Damit ist Bedingung (ii) ebenfalls erfüllt.

Nun zu Bedingung (iii). Wir wissen, dass für  $x \in \mathbb{R}$  und damit insbesondere für ein beliebiges x > 0 die Ungleichung

$$x \le \exp(x) + 1$$

gilt. Daraus folgt die Ungleichung  $x \cdot \exp(-x) \le 1 + \exp(-x)$  und schließlich  $\frac{\exp(-x)}{1 + \exp(-x)} \le \frac{1}{x}$  für alle x > 0. Damit erhalten wir nun

$$|\sigma(x) - 1| = 1 - \frac{1}{1 + \exp(-x)} = \frac{\exp(-x)}{1 + \exp(-x)} \le \frac{1}{x}$$
 (1.3)

für x > 0. Dies zeigt den ersten Teil von Definition 1.3 (iii).

Der zweite Teil folgt auf die gleiche Art und Weise. Sei dazu x < 0. Aus

$$\frac{1}{1 + \exp(x)} - \frac{1}{2} = \sigma(0 - x) - \frac{1}{2} = -\sigma(0 + x) + \frac{1}{2} = -\frac{1}{1 + \exp(-x)} + \frac{1}{2}$$
 (1.4)

wissen wir, dass  $\sigma$  punktsymmetrisch zum Punkt  $(0,\frac{1}{2})$  ist. Gleichung (1.4) folgt aus  $\frac{1}{1+\exp(x)}+\frac{1}{1+\exp(-x)}=\frac{2+\exp(-x)+\exp(x)}{2+\exp(-x)+\exp(x)}=1$ . Aus der Punktsymmetrie aus Gleichung (1.4) folgt zunächst

$$\sigma(-x) - 1 = \frac{1}{1 + \exp(x)} - 1 = -\frac{1}{1 + \exp(-x)} = -\sigma(x)$$

für x < 0. Da -x > 0 ist, folgt mit Gleichung (1.3):

$$|\sigma(x)| = |-\sigma(x)| = |\sigma(-x) - 1| \le \frac{1}{-x} = \frac{1}{|x|}.$$

Damit haben wir alle drei Bedingungen aus Definition 1.3 gezeigt und unsere Aussage bewiesen.

Als Nächstes stellen wir ein Resultat zur Taylorformel mit Rest vor, welches wir im weiteren Verlauf der Arbeit benötigen werden.

Lemma 1.6 (Lagrangesche Form des Restglieds, [For16, §22, Satz 2]).

Sei  $I \subseteq \mathbb{R}$  ein Intervall und  $f: I \to \mathbb{R}$  eine (N+1)-mal stetig differenzierbare Funktion und  $u, x \in I$ . Dann existiert ein  $\xi$  zwischen u und x, so dass

$$f(x) = \sum_{k=0}^{N} \frac{f^{(k)}(u)}{k!} (x - u)^k + \frac{f^{(N+1)}(\xi)}{(N+1)!} (x - u)^{N+1},$$

wobei hier  $f^{(k)}$  für k = 0, ..., N+1 die k-te Ableitung von f bezeichnet.

Es folgen nun drei Approximationsresultate, welche wir in Kapitel 2 für die Konstruktion unseres Neuronale-Netze-Regressionsschätzers benötigen werden.

Wir betrachten als Erstes eine Approximation der Identität durch das neuronale Netz  $f_{id} \colon \mathbb{R} \to \mathbb{R}$  mit Architektur (1,(1)), welches in Abbildung 1.2 veranschaulicht wird und anschließend die Approximation eines Quadrats auf einem Intervall durch das neuronale Netz  $f_{sq} \colon \mathbb{R} \to \mathbb{R}$  mit Architektur (1,(2)).

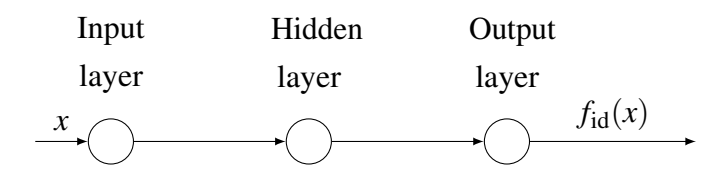


Abbildung 1.2: Neuronales Netz  $f_{id}(x)$  mit Architektur (1,(1)).

**Lemma 1.7.** *Sei*  $\sigma$ :  $\mathbb{R} \to \mathbb{R}$  *eine beschränkte Funktion, R und a* > 0.

a) Angenommen  $\sigma$  ist zweimal stetig differenzierbar und  $t_{\sigma,id} \in \mathbb{R}$  so, dass  $\sigma'(t_{\sigma,id}) \neq 0$  ist. Dann gilt für das neuronale Netz

$$f_{\mathrm{id}}(x) = \frac{R}{\sigma'(t_{\sigma,\mathrm{id}})} \cdot \left(\sigma\left(\frac{x}{R} + t_{\sigma,\mathrm{id}}\right) - \sigma(t_{\sigma,\mathrm{id}})\right)$$

*für beliebiges*  $x \in [-a, a]$ :

$$|f_{\mathrm{id}}(x) - x| \le \frac{\|\sigma''\|_{\infty} \cdot a^2}{2 \cdot |\sigma'(t_{\sigma,\mathrm{id}})|} \cdot \frac{1}{R}.$$

b) Angenommen  $\sigma$  ist dreimal stetig differenzierbar und  $t_{\sigma,sq} \in \mathbb{R}$  so, dass  $\sigma''(t_{\sigma,sq}) \neq 0$  ist. Dann gilt für das neuronale Netz

$$f_{\text{sq}}(x) = \frac{R^2}{\sigma''(t_{\sigma,\text{sq}})} \cdot \left(\sigma\left(\frac{2 \cdot x}{R} + t_{\sigma,\text{sq}}\right) - 2 \cdot \sigma\left(\frac{x}{R} + t_{\sigma,\text{sq}}\right) + \sigma(t_{\sigma,\text{sq}})\right)$$

*für beliebiges*  $x \in [-a,a]$ :

$$|f_{\mathrm{sq}}(x) - x^2| \le \frac{5 \cdot ||\sigma'''||_{\infty} \cdot a^3}{3 \cdot |\sigma''(t_{\sigma,\mathrm{sq}})|} \cdot \frac{1}{R}.$$

Beweis. a) Wir wissen, dass  $f_{id}$  zweimal differenzierbar ist, da  $\sigma$  nach Voraussetzung zweimal stetig differenzierbar ist. Damit folgt mit Lemma 1.6 für  $f = f_{id}$ , N = 1, u = 0 und I = [-a, a], dass ein  $\xi$  zwischen 0 und x existiert, mit

$$f_{id}(x) = \sum_{k=0}^{1} \frac{f_{id}^{(k)}(0)}{k!} x^{k} + \frac{f_{id}^{(2)}(\xi)}{2!} x^{2}.$$

Es gilt:

$$f'_{\mathrm{id}}(x) = \frac{1}{\sigma'(t_{\sigma,\mathrm{id}})} \cdot \sigma'\left(\frac{x}{R} + t_{\sigma,\mathrm{id}}\right).$$

Mit  $f_{id}(0) = 0$  und  $f'_{id}(0) = 1$  erhalten wir:

$$|f_{id}(x)-x|$$

$$= \left| 0 + 1 \cdot x + \frac{1}{2} \cdot \frac{1}{R \cdot \sigma'(t_{\sigma,id})} \sigma''\left(\frac{\xi}{R} + t_{\sigma,id}\right) \cdot x^2 - x \right|$$

$$= \left| \frac{\sigma''\left(\frac{\xi}{R} + t_{\sigma,id}\right) \cdot x^2}{2 \cdot R \cdot \sigma'(t_{\sigma,id})} + x - x \right|$$

$$\leq \frac{\|\sigma''\|_{\infty} \cdot a^2}{2 \cdot |\sigma'(t_{\sigma,id})|} \cdot \frac{1}{R},$$

wobei sich die letzte Ungleichung aus den Eigenschaften der Supremumsnorm und  $x^2 \le a^2$  ergibt, was aus  $x \in [-a,a]$  folgt. Daraus erhalten wir die Behauptung.

b) Die Funktion  $f_{sq}$  ist dreimal differenzierbar, da  $\sigma$  nach Voraussetzung dreimal stetig differenzierbar ist. Wie in a) folgt durch Lemma 1.6 mit  $f = f_{sq}$ , N = 2, u = 0 und I = [-a, a], dass ein  $\xi$  zwischen 0 und x existiert, so dass:

$$f_{\text{sq}}(x) = \sum_{k=0}^{2} \frac{f_{\text{sq}}^{(k)}(0)}{k!} x^{k} + \frac{f_{\text{sq}}^{(3)}(\xi)}{3!} x^{3}.$$

Es gilt:

$$f'_{\text{sq}}(x) = \frac{R^2}{\sigma''(t_{\sigma,\text{sq}})} \cdot \left(\frac{2}{R} \cdot \sigma'\left(\frac{2x}{R} + t_{\sigma,\text{sq}}\right) - \frac{2}{R} \cdot \sigma'\left(\frac{x}{R} + t_{\sigma,\text{sq}}\right)\right)$$

und

$$\begin{split} f_{\mathrm{sq}}''(x) &= \frac{R^2}{\sigma''(t_{\sigma,\mathrm{sq}})} \cdot \left(\frac{4}{R^2} \cdot \sigma'' \left(\frac{2x}{R} + t_{\sigma,\mathrm{sq}}\right) - \frac{2}{R^2} \cdot \sigma'' \left(\frac{x}{R} + t_{\sigma,\mathrm{sq}}\right)\right). \\ \text{Mit } f_{\mathrm{sq}}(0) &= 0, \ f_{\mathrm{sq}}'(0) = 0 \ \text{und} \ f_{\mathrm{sq}}''(0) = 2 \ \text{erhalten wir:} \\ |f_{\mathrm{sq}}(x) - x^2| &= \left|x^2 + \frac{1}{6} \cdot \frac{R^2}{\sigma''(t_{\sigma,\mathrm{sq}})} \left(\frac{8}{R^3} \sigma''' \left(\frac{2\xi}{R} + t_{\sigma,\mathrm{sq}}\right) - \frac{2}{R^3} \sigma''' \left(\frac{\xi}{R} + t_{\sigma,\mathrm{sq}}\right)\right) \cdot x^3 - x^2\right| \end{split}$$

$$\leq \frac{a^3}{6 \cdot |\sigma''(t_{\sigma,\mathrm{sq}})|} \cdot \frac{1}{R} \cdot \left(8 \cdot \left|\sigma'''\left(\frac{2\xi}{R} + t_{\sigma,\mathrm{sq}}\right)\right| + 2 \cdot \left|\sigma'''\left(\frac{\xi}{R} + t_{\sigma,\mathrm{sq}}\right)\right|\right)$$

$$\leq \frac{10 \cdot a^3}{6 \cdot |\sigma''(t_{\sigma, sq})|} \cdot \frac{1}{R} \cdot ||\sigma'''||_{\infty}$$

$$= \frac{5 \cdot \|\sigma'''\|_{\infty} \cdot a^3}{3 \cdot |\sigma''(t_{\sigma, \operatorname{sq}})|} \cdot \frac{1}{R}.$$

Daraus folgt die Behauptung.

Wir betrachten als Nächstes die Approximation einer Multiplikation zweier Werte auf einem Intervall durch das neuronale Netz  $f_{\text{mult}} \colon \mathbb{R}^2 \to \mathbb{R}$  mit Architektur (1,(4)), welches in Abbildung 1.3 veranschaulicht wird.

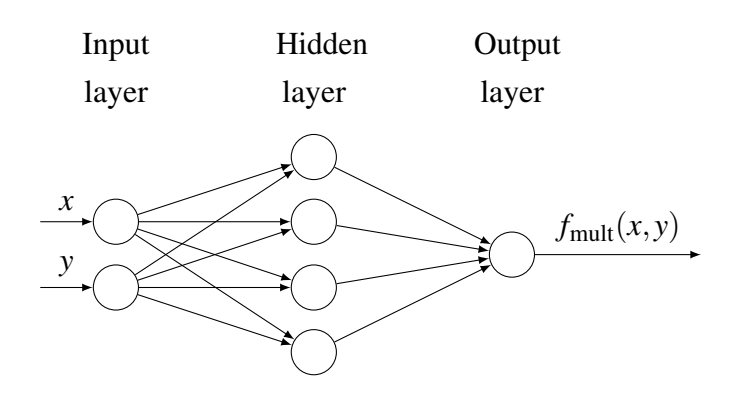


Abbildung 1.3: Neuronales Netz  $f_{\text{mult}}(x, y)$  mit Architektur (1, (4)).

**Lemma 1.8.** Sei  $\sigma$ :  $\mathbb{R} \to [0,1]$  2-zulässig. Zudem sei R > 0 und a > 0 beliebig. Dann gilt für das neuronale Netz

$$f_{\text{mult}}(x,y) = \frac{R^2}{4 \cdot \sigma''(t_{\sigma})} \cdot \left(\sigma\left(\frac{2 \cdot (x+y)}{R} + t_{\sigma}\right) - 2 \cdot \sigma\left(\frac{x+y}{R} + t_{\sigma}\right) - \sigma\left(\frac{2 \cdot (x-y)}{R} + t_{\sigma}\right) + 2 \cdot \sigma\left(\frac{x-y}{R} + t_{\sigma}\right)\right)$$

für beliebige  $x, y \in [-a, a]$  folgende Ungleichung:

$$|f_{\text{mult}}(x,y) - x \cdot y| \le \frac{20 \cdot ||\sigma'''||_{\infty} \cdot a^3}{3 \cdot |\sigma''(t_{\sigma})|} \cdot \frac{1}{R}.$$

Beweis. Durch Einsetzen von  $f_{sq}$  in  $f_{mult}$  erhalten wir

$$f_{\text{mult}}(x,y) = \frac{1}{4}(f_{\text{sq}}(x+y) - f_{\text{sq}}(x-y))$$

und durch Umformungen

$$x \cdot y = \frac{1}{4} ((x+y)^2 - (x-y)^2).$$

Aus diesen beiden Gleichungen folgt durch Ausklammern von  $\frac{1}{4}$ , der Homogenität des Betrags und der Dreiecksungleichung:

$$|f_{\text{mult}}(x,y) - x \cdot y| = \frac{1}{4} \cdot |f_{\text{sq}}(x+y) - f_{\text{sq}}(x-y) - (x+y)^{2} + (x-y)^{2}|$$

$$\leq \frac{1}{4} \cdot |f_{\text{sq}}(x+y) - (x+y)^{2}| + \frac{1}{4} \cdot |f_{\text{sq}}(x-y) - (x-y)^{2}|$$

$$\leq 2 \cdot \frac{1}{4} \cdot \frac{40 \cdot ||\sigma'''||_{\infty} \cdot a^{3}}{3 \cdot |\sigma''(t_{\sigma})|} \cdot \frac{1}{R}$$

$$= \frac{20 \cdot ||\sigma'''||_{\infty} \cdot a^{3}}{3 \cdot |\sigma''(t_{\sigma})|} \cdot \frac{1}{R},$$

wobei wir bei der letzten Ungleichung Lemma 1.7 b) mit  $x+y, x-y \in [-2a, 2a]$  verwendet haben. Daraus folgt die Behauptung.

Wir betrachten als Nächstes die Approximation der Maximumsfunktion  $\max\{x,0\}$  für x aus einem beschränkten Intervall durch das neuronale Netz  $f_{ReLU} \colon \mathbb{R} \to \mathbb{R}$  mit Architektur (2,(2,4)), welches in Abbildung 1.4 veranschaulicht wird.

**Lemma 1.9.** Sei  $\sigma: \mathbb{R} \to [0,1]$  2-zulässig und  $a \geq 1$ . Sei  $f_{id}$  das neuronale Netz aus Lemma 1.7 und  $f_{mult}$  das neuronale Netz aus Lemma 1.8. Angenommen es gelte die Ungleichung

$$R \ge \frac{\|\sigma''\|_{\infty} \cdot a}{2 \cdot |\sigma'(t_{\sigma})|}.$$
 (1.5)

Dann erfüllt das neuronale Netz

$$f_{\text{ReLU}}(x) = f_{\text{mult}}(f_{\text{id}}(x), \sigma(R \cdot x))$$
 (1.6)

*für alle*  $x \in [-a,a]$  *folgende Ungleichung:* 

$$|f_{\text{ReLU}}(x) - \max\{x, 0\}| \le 56 \cdot \frac{\max\{\|\sigma''\|_{\infty}, \|\sigma'''\|_{\infty}, 1\}}{\min\{2 \cdot |\sigma'(t_{\sigma})|, |\sigma''(t_{\sigma})|, 1\}} \cdot a^3 \cdot \frac{1}{R}.$$

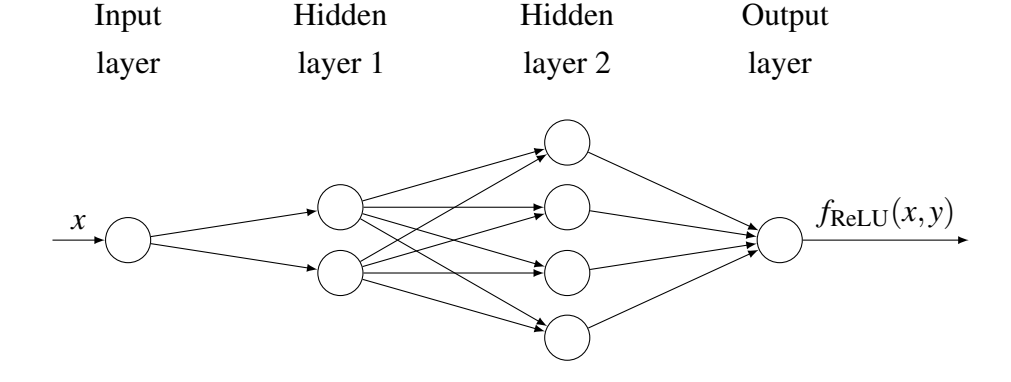


Abbildung 1.4: Neuronales Netz  $f_{ReLU}(x)$  mit Architektur (2, (2, 4)).

*Beweis.* Da  $\sigma$  nach Voraussetzung 2-zulässig ist, gilt für  $R \ge 0$  und  $x \in \mathbb{R} \setminus \{0\}$ :

$$|\sigma(R \cdot x) - 1| \le \frac{1}{R \cdot x}$$
 für  $x > 0$ 

und

$$|\sigma(R \cdot x)| \le \frac{1}{|R \cdot x|}$$
 für  $x < 0$ .

Damit folgt aus der Homogenität des Betrags für alle  $x \neq 0$ :

$$|\sigma(R \cdot x) - \mathbb{1}_{[0,\infty)}(x)| \le \frac{1}{|R \cdot x|} = \frac{1}{R \cdot |x|}.$$
 (1.7)

Nach Lemma 1.7 gilt:

$$|f_{\mathrm{id}}(x) - x| \le \frac{\|\sigma''\|_{\infty} \cdot a^2}{2 \cdot |\sigma'(t_{\sigma})|} \cdot \frac{1}{R} \text{ für } x \in [-a, a]$$

$$\tag{1.8}$$

und nach Lemma 1.8:

$$|f_{\text{mult}}(x,y) - x \cdot y| \le \frac{160 \cdot ||\sigma'''||_{\infty} \cdot a^3}{3 \cdot |\sigma''(t_{\sigma})|} \cdot \frac{1}{R} \text{ für } x, y \in [-2a, 2a].$$
 (1.9)

Da nach Voraussetzung  $a \ge 1$  ist, gilt insbesondere  $[0,1] \subseteq [-2a,2a]$  und daher gilt insbesondere  $\sigma(Rx) \in [0,1] \subseteq [-2a,2a]$ . Zudem erhalten wir durch eine Nulladdition und die Dreiecksungleichung:

$$|f_{id}(x)| = |f_{id}(x) - x + x| \le |f_{id}(x) - x| + |x|. \tag{1.10}$$

Aus Gleichung (1.8) und Voraussetzung (1.5) folgt

$$|f_{\mathrm{id}}(x) - x| \le \frac{\|\sigma''\|_{\infty} \cdot a^2}{2 \cdot |\sigma'(t_{\sigma})|} \cdot \frac{1}{R} \le \frac{\|\sigma''\|_{\infty} \cdot a^2}{2 \cdot |\sigma'(t_{\sigma})|} \cdot \frac{2 \cdot |\sigma'(t_{\sigma})|}{\|\sigma''\|_{\infty} \cdot a} = a. \tag{1.11}$$

Aus  $x \in [-a, a]$  folgt schließlich mit den Ungleichungen (1.10) und (1.11):

$$|f_{id}(x)| \le |f_{id}(x) - x| + |x| \le 2 \cdot a.$$

Daraus folgt insbesondere  $f_{id}(x) \in [-2a, 2a]$ . Mithilfe von  $\max\{x, 0\} = x \cdot \mathbb{1}_{[0,\infty)}(x)$ , der Definition des Netzes in Gleichung (1.6), zweier Nulladditionen und der Dreiecksungleichung erhalten wir:

$$|f_{ReLU}(x) - \max\{x, 0\}|$$

$$= |f_{mult}(f_{id}(x), \sigma(R \cdot x)) - x \cdot \mathbb{1}_{[0, \infty)}(x)|$$

$$\leq |f_{mult}(f_{id}(x), \sigma(R \cdot x)) - f_{id}(x) \cdot \sigma(R \cdot x)|$$

$$+ |f_{id}(x) \cdot \sigma(R \cdot x) - x \cdot \sigma(R \cdot x)| + |x \cdot \sigma(R \cdot x) - x \cdot \mathbb{1}_{[0, \infty)}(x)|.$$
(1.12)

Wenden wir nun auf den ersten Summanden in Gleichung (1.12) die Ungleichung (1.9) an, erhalten wir:

$$\left| f_{\text{mult}}(f_{\text{id}}(x), \sigma(R \cdot x)) - f_{\text{id}}(x) \cdot \sigma(R \cdot x) \right| \le \frac{160 \cdot \|\sigma'''\|_{\infty} \cdot a^3}{3 \cdot |\sigma''(t_{\sigma})|} \cdot \frac{1}{R}. \tag{1.13}$$

Klammern wir im nächsten Schritt im zweiten Summanden in Gleichung (1.12) den Faktor  $\sigma(R \cdot x) \in [0, 1]$  aus und wenden Ungleichung (1.8) an, erhalten wir:

$$\left| f_{\text{id}}(x) \cdot \sigma(R \cdot x) - x \cdot \sigma(R \cdot x) \right| \le \frac{\|\sigma''\|_{\infty} \cdot a^2}{2 \cdot |\sigma'(t_{\sigma})|} \cdot \frac{1}{R} \cdot 1 \le \frac{\|\sigma''\|_{\infty} \cdot a^3}{2 \cdot |\sigma'(t_{\sigma})|} \cdot \frac{1}{R}, \tag{1.14}$$

wobei wir verwendet haben, dass nach der Voraussetzung  $a \ge 1$  und damit  $a^2 \le a^3$  gilt. Wenn wir schließlich im dritten Summanden in Gleichung (1.12) den Faktor x durch die Homogenität des Betrags ausklammern und Ungleichung (1.7) anwenden, erhalten wir:

$$\left| x \cdot \sigma(R \cdot x) - x \cdot \mathbb{1}_{[0,\infty)}(x) \right| \le \frac{1}{R}. \tag{1.15}$$

Setzen wir nun Ungleichungen (1.13)- (1.15) in Ungleichung (1.12) ein, ergibt sich durch Ausklammern von  $\frac{1}{R}$  und weiteren Abschätzungen:

$$|f_{\text{ReLU}}(x) - \max\{x, 0\}| \le \left(\frac{160}{3} \cdot \frac{\|\sigma'''\|_{\infty} \cdot a^{3}}{|\sigma''(t_{\sigma})|} + \frac{\|\sigma''\|_{\infty} \cdot a^{3}}{2 \cdot |\sigma'(t_{\sigma})|} + \frac{a^{3}}{a^{3}}\right) \cdot \frac{1}{R}$$

$$\le \left(\frac{160 \cdot \|\sigma'''\|_{\infty} \cdot a^{3} + 3 \cdot \|\sigma''\|_{\infty} \cdot a^{3} + 3 \cdot a^{3}}{3 \cdot \min\{2 \cdot |\sigma'(t_{\sigma})|, |\sigma''(t_{\sigma})|, 1\}}\right) \cdot \frac{1}{R}$$

$$\le \frac{166}{3} \cdot \left(\frac{\max\{\|\sigma'''\|_{\infty}, \|\sigma'''\|_{\infty}, \|\sigma'''\|_{\infty}, 1\}}{\min\{2 \cdot |\sigma'(t_{\sigma})|, |\sigma''(t_{\sigma})|, 1\}}\right) \cdot a^{3} \cdot \frac{1}{R}.$$

Da  $\frac{166}{3} \le 56$  gilt, folgt schließlich die Behauptung.

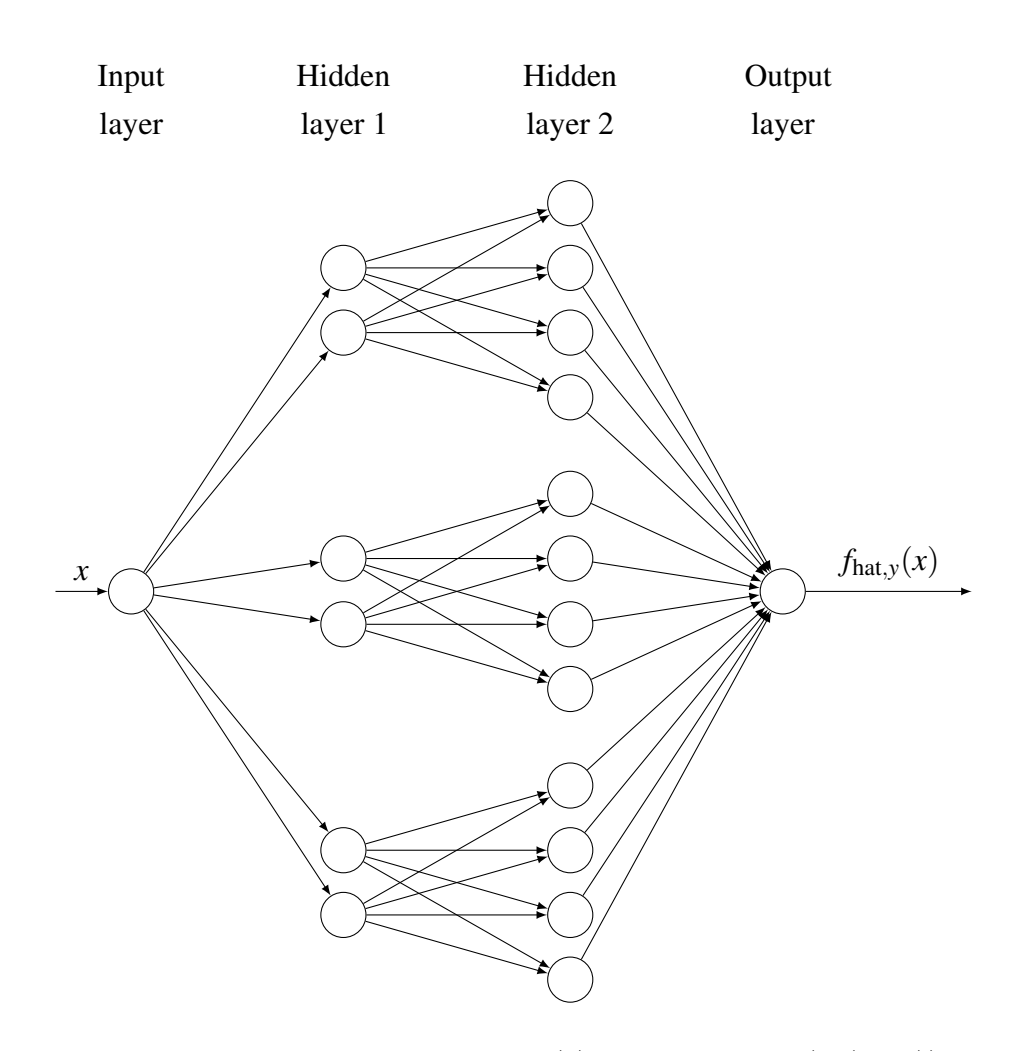


Abbildung 1.5: Neuronales Netz  $f_{hat,y}(x)$  mit Architektur (2,(6,12)).

Wir betrachten als Nächstes die Approximation des Positivteils einer Funktion auf einem Intervall durch das neuronale Netz  $f_{\text{hat},y} \colon \mathbb{R} \to \mathbb{R}$  mit Architektur (2,(6,12)), welches in Abbildung 1.5 veranschaulicht wird.

**Lemma 1.10.** *Sei*  $M \in \mathbb{N}$  *und sei*  $\sigma : \mathbb{R} \to [0,1]$  2-zulässig. *Sei* a > 0 *und* 

$$R \geq \frac{\|\sigma''\|_{\infty} \cdot (M+1)}{2 \cdot |\sigma'(t_{\sigma})|},$$

sei  $y \in [-a,a]$  und  $f_{ReLU}$  das neuronale Netz aus Lemma 1.9. Dann erfüllt das neuronale Netz

$$\begin{split} f_{\text{hat},y}(x) &= f_{\text{ReLU}}\bigg(\frac{M}{2a}\cdot(x-y)+1\bigg) - 2\cdot f_{\text{ReLU}}\bigg(\frac{M}{2a}\cdot(x-y)\bigg) \\ &+ f_{\text{ReLU}}\bigg(\frac{M}{2a}\cdot(x-y)-1\bigg) \end{split}$$

für alle  $x \in [-a,a]$  mit  $z_+ = \max\{0,z\}$   $(z \in \mathbb{R})$ :

$$\left| f_{\text{hat},y}(x) - \left( 1 - \frac{M}{2a} \cdot |x - y| \right)_{+} \right| \leq 1792 \cdot \frac{\max\{\|\sigma''\|_{\infty}, \|\sigma'''\|_{\infty}, 1\}}{\min\{2 \cdot |\sigma'(t_{\sigma})|, |\sigma''(t_{\sigma})|, 1\}} \cdot M^{3} \cdot \frac{1}{R}.$$

*Beweis.* Für  $x \in \mathbb{R}$  gilt die Gleichung:

$$\left(1 - \frac{M}{2a} \cdot |x|\right)_{+} = \max\left\{\frac{M}{2a} \cdot x + 1, 0\right\} - 2 \cdot \max\left\{\frac{M}{2a} \cdot x, 0\right\} + \max\left\{\frac{M}{2a} \cdot x - 1, 0\right\}, \tag{1.16}$$

die wir im zweiten Teil dieses Beweises zeigen werden. Damit beweisen wir das Resultat mit Hilfe von Lemma 1.9, denn mit der Definition von  $f_{hat,y}(x)$  und der Dreiecksungleichung folgt:

$$\left| f_{\text{hat},y}(x) - \left( 1 - \frac{M}{2a} \cdot |x - y| \right)_{+} \right|$$

$$\leq \left| f_{\text{ReLU}} \left( \frac{M}{2a} \cdot (x - y) + 1 \right) - \max \left\{ \frac{M}{2a} \cdot (x - y) + 1, 0 \right\} \right|$$

$$+ 2 \cdot \left| f_{\text{ReLU}} \left( \frac{M}{2a} \cdot (x - y) \right) - \max \left\{ \frac{M}{2a} \cdot (x - y), 0 \right\} \right|$$

$$+ \left| f_{\text{ReLU}} \left( \frac{M}{2a} \cdot (x - y) - 1 \right) - \max \left\{ \frac{M}{2a} \cdot (x - y) - 1, 0 \right\} \right|$$

$$\leq 1792 \cdot \frac{\max\{\|\sigma''\|_{\infty}, \|\sigma'''\|_{\infty}, 1\}}{\min\{2 \cdot |\sigma'(t_{\sigma})|, |\sigma'''(t_{\sigma})|, 1\}} \cdot M^{3} \cdot \frac{1}{R},$$

wobei die letzte Ungleichung daraus folgt, dass wir auf jeden Summanden Lemma 1.9 mit

$$1 \le a = M + 1$$

angewendet haben, da aus  $x,y \in [-a,a]$  folgt, dass  $\frac{M}{2a} \cdot (x-y) \in [-M,M]$  gilt. Schließlich haben wir

$$(M+1)^3 \le (2M)^3 = 8M^3$$

verwendet, da  $M \ge 1$  ist.

 $(\Box)$ 

Um Gleichung (1.16) zu zeigen unterscheiden wir vier Fälle.

Fall 1 (x < 0) In diesem Fall hat die linke Seite von Gleichung (1.16) nach der Definition des Betrags die Gestalt

$$\max\left\{1+\frac{M}{2a}\cdot x,0\right\}$$

und die rechte Seite von Gleichung (1.16) die Form

$$\max\left\{\frac{M}{2a}\cdot x + 1, 0\right\} - 2\cdot 0 + 0,$$

da x < 0 und damit die letzten zwei Summanden Null sind. Es erfordert hier eine weitere Fallunterscheidung.

Fall 1.1  $(0 > x \ge -\frac{2a}{M})$  In diesem Fall gilt für die linke und rechte Seite von Gleichung (1.16):

$$\max\left\{1 + \frac{M}{2a} \cdot x, 0\right\} = 1 + \frac{M}{2a} \cdot x.$$

Fall 1.2  $(x < -\frac{2a}{M})$  In diesem Fall sind beide Seiten gleich Null, da  $1 + \frac{M}{2a} \cdot x \le 0$  ist.  $(\Box)$ 

Fall 2  $(x \ge 0)$  In diesem Fall hat die linke Seite von Gleichung (1.16) nach der Definition des Betrags die Gestalt

$$\max\left\{1-\frac{M}{2a}\cdot x,0\right\}$$

und die rechte Seite von Gleichung (1.16) die Form

$$\max\left\{\frac{\textit{M}}{2\textit{a}}\cdot \textit{x}+1,0\right\}-2\cdot \max\left\{\frac{\textit{M}}{2\textit{a}}\cdot \textit{x},0\right\}+\max\left\{\frac{\textit{M}}{2\textit{a}}\cdot \textit{x}-1,0\right\}$$

und erfordert daher eine weitere Fallunterscheidung.

Fall 2.1  $(0 \le x < \frac{2a}{M})$  In diesem Fall hat die linke Seite von Gleichung (1.16) die Gestalt

$$1 - \frac{M}{2a} \cdot x$$

und die rechte Seite von Gleichung (1.16) die Form

$$\frac{M}{2a} \cdot x + 1 - 2 \cdot \frac{M}{2a} \cdot x + 0 = 1 - \frac{M}{2a} \cdot x$$

und stimmt daher mit der linken Seite überein.

besitzt.

Fall 2.2  $(x \ge \frac{2a}{M})$  In diesem Fall ist die linke Seite von Gleichung (1.16) gleich 0, da wir wissen, dass  $1 - \frac{M}{2a} \cdot x < 0$  ist und die rechte Seite die Form

$$\frac{M}{2a} \cdot x + 1 - 2 \cdot \frac{M}{2a} \cdot x + \frac{M}{2a} \cdot x - 1 = 0$$

Durch diese Fallunterscheidung wurde die Gleichung (1.16) bewiesen und damit ist der Beweis vollständig.

Im nächsten Kapitel werden wir die hier eingeführten neuronalen Netze als Bausteine verwenden, um daraus unseren Neuronale-Netze-Regressionsschätzer zu konstruieren.

### **Kapitel 2**

# Konstruktion eines Neuronale-Netze-Schätzers

In dieser Arbeit behandeln wir Neuronale-Netze-Schätzer im Kontext der *nichtparametrischen Regression*. In der Regressionsanalyse betrachtet man einen  $\mathbb{R}^d \times \mathbb{R}$ -wertigen Zufallsvektor (X,Y). Man ist daran interessiert, wie der Wert der *Reaktionsvariable Y* vom Wert des *Beobachtungsvektors X* abhängt. Dies bedeutet, dass man eine (messbare) Funktion  $f \colon \mathbb{R}^d \to \mathbb{R}$  sucht, sodass f(X) eine "gute Approximation von Y" ist. Das wiederum bedeutet, dass f(X) nah an Y sein sollte, was in gewisser Weise gleichwertig damit ist den Ausdruck |f(X) - Y| zu "minimieren". Da aber X und Y Zufallsvektoren sind und damit |f(X) - Y| auch zufällig ist, ist nicht klar was unter "|f(X) - Y| minimal" zu verstehen ist. Wir können dieses Problem lösen, indem wir das sogenannte  $L_2$ -*Risiko* 

$$\mathbb{E}[|f(X) - Y|^2],$$

einführen und verlangen, dass dieses so klein wie möglich ist. Bei der nichtparametrischen Regression ist die Bauart der schätzenden Funktion f komplett unbekannt. Wir sind daher an einer Funktion interessiert, die das  $L_2$ -Risiko von f minimiert. Dies führt auf die  $Regressionsfunktion \ m(x) = \mathbb{E}[Y \mid X = x]$ , da für das das  $L_2$ -Risiko einer beliebigen messbaren Funktion  $f \colon \mathbb{R}^d \to \mathbb{R}$  gilt:

$$\mathbb{E}[|f(X) - Y|^2] = \mathbb{E}[|m(X) - Y|^2] + \int |f(X) - m(X)|^2 \mathbb{P}_X(dX),$$

d.h. der mittlere quadratische Vorhersagefehler einer Funktion f ist darstellbar als Summe des  $L_2$ -Risikos der Regressionsfunktion (unvermeidbarer Fehler) und des  $L_2$ -Fehlers, der aufgrund der Verwendung von f an Stelle von m bei der Vorhersage bzw. Approximation des Wertes von Y entsteht. Im Hinblick auf die Minimierung des  $L_2$ -Risikos sollte dabei der  $L_2$ -Fehler der Schätzfunktion möglichst klein sein. Dieser  $L_2$ -Fehler ist immer

nichtnegativ und für f(x) = m(x) sogar Null. Daher ist m die beste Wahl für f. In Anwendungsfällen ist aber üblicherweise die Verteilung von (X,Y) unbekannt, daher kann die Regressionsfunktion m nicht berechnet werden. Oft ist es aber möglich, Werte von (X,Y) zu beobachten und damit die Regressionsfunktion m zu schätzen. Formal führt das auf folgende Problemstellung:

**Problem 2.1** ([GKKW02, Kapitel 1.1 und Kapitel 1.2]). Seien  $(X,Y), (X_1,Y_1), (X_2,Y_2), ...$  u.i.v.  $\mathbb{R}^d \times \mathbb{R}$ -wertige Zufallsvariablen mit  $\mathbb{E}[Y^2] < \infty$  und  $m: \mathbb{R}^d \to \mathbb{R}$  definiert durch  $m(x) = \mathbb{E}[Y \mid X = x]$  sei die zugehörige Regressionsfunktion. Gegeben sei die Datenmenge

$$\mathcal{D}_n = \{ (X_1, Y_1), \dots, (X_n, Y_n) \}. \tag{2.1}$$

Gesucht ist eine Schätzung

$$m_n(\cdot) = m_n(\cdot, \mathcal{D}_n) \colon \mathbb{R}^d \to \mathbb{R}$$

von m, für die der L2-Fehler

$$\int |m_n(x) - m(x)|^2 \mathbb{P}_X(dx)$$

möglichst "klein" ist.

In diesem Kapitel werden wir mithilfe von neuronalen Netzen einen Regressionsschätzer  $\tilde{m}_n$  konstruieren. Dieser Schätzer besitzt ebenfalls die Gestalt eines neuronalen Netzes nach Definition 1.1 und daher werden wir ihn als *Neuronale-Netze-Regressionsschätzer* bezeichnen.

Für die Konstruktion unseres Neuronale-Netze-Regressionsschätzers wählen wir den logistischen Squasher aus Gleichung (1.1) als Aktivierungsfunktion  $\sigma$ , verwenden die gegebene Datenmenge  $\mathcal{D}_n$  und wählen die Gewichte des neuronalen Netzes so, dass die resultierende Funktion aus Definition 1.1 eine gute Schätzung für die Regressionsfunktion m ist. Dafür wählen wir die Gewichte bis auf die in der Ausgabeschicht fest und bestimmen die Gewichte in der Ausgabeschicht, indem wir mit unserer Datenmenge  $\mathcal{D}_n$  ein Kleinste-Quadrate-Problem lösen.

Es ist bekannt (vgl. [DGL96, Theorem 7.2 und Problem 7.2] und [DW80, Section 3]), dass man Glattheitsvoraussetzungen an die Regressionsfunktion stellen muss, um nichttriviale Konvergenzresultate für nichtparametrische Regressionsschätzer herzuleiten. Dafür verwenden wir die folgende Definition.

auf eine Seite?

**Definition 2.2** ((p,C)-Glattheit). Sei p=q+s mit  $q\in\mathbb{N}_0$  und  $s\in(0,1]$  und sei C>0. Eine Funktion  $f\colon\mathbb{R}^d\to\mathbb{R}$  heißt (p,C)-glatt, falls für alle Multiindizes  $\alpha=(\alpha_1,\ldots,\alpha_d)\in\mathbb{N}_0^d$  mit  $\sum_{j=1}^d\alpha_j=q$  die partielle Ableitung

$$\frac{\partial^q f}{\partial x_1^{\alpha_1} \dots \partial x_d^{\alpha_d}}$$

existiert und falls für alle  $x, z \in \mathbb{R}^d$  die Abschätzung

$$\left| \frac{\partial^q f}{\partial x_1^{\alpha_1} \dots \partial x_d^{\alpha_d}}(x) - \frac{\partial^q f}{\partial x_1^{\alpha_1} \dots \partial x_d^{\alpha_d}}(z) \right| \le C \cdot ||x - z||^s,$$

gilt, wobei  $\|\cdot\|$  die euklidische Norm in  $\mathbb{R}^d$  bezeichnet.

#### 2.1 Definition der Netzwerkarchitektur

In diesem Abschnitt stellen wir die *Netzwerkarchitektur* unseres Neuronale-Netze-Regressionsschätzers vor. Dafür legen wir die Architektur  $(L, \mathbf{k})$  fest und gehen auf die konkrete Konstruktion unseres Schätzers ein.

Zunächst fixieren wir die Multiindexnotation, die wir der Übersichtlichkeit halber im weiteren Verlauf dieser Arbeit verwenden werden. Sei a > 0 fest und  $M \in \mathbb{N}$ . Wir definieren  $[M]^d := \{0, 1, \dots, M\}^d$ . Für  $(\mathbf{i}^{(1)}, \dots, \mathbf{i}^{(d)}) = \mathbf{i} \in [M]^d$  und  $x \in \mathbb{R}^d$  definieren wir

$$|\mathbf{i}|_1 \coloneqq \sum_{k=1}^d \mathbf{i}^{(k)}, \quad \mathbf{i}! \coloneqq \mathbf{i}^{(1)}! \cdots \mathbf{i}^{(d)}! \quad \text{ und } \quad x^{\mathbf{i}} \coloneqq x_1^{\mathbf{i}^{(1)}} \cdots x_d^{\mathbf{i}^{(d)}}.$$

Für  $f\colon \mathbb{R}^d \to \mathbb{R}$  ausreichend oft differenzierbar definieren wir

$$\partial^{\mathbf{i}} f(x) := \frac{\partial^{|\mathbf{i}|_1} f}{\partial^{\mathbf{i}^{(1)}} x_1 \cdots \partial^{\mathbf{i}^{(d)}} x_d}(x).$$

Das nächste Lemma ist ein Resultat aus der Kombinatorik, welches wir in Kapitel 2.2 benötigen werden.

**Lemma 2.3.** *Sei*  $d, N \in \mathbb{N}$  *und*  $k \in \mathbb{N}_0$  *mit*  $k \leq N$ . *Dann gilt:* 

$$\left| \left\{ \mathbf{j} \in [N]^d : |\mathbf{j}|_1 = k \right\} \right| = {d+k-1 \choose k}.$$

Beweis. Diese Aussage folgt aus einer Analogie zu einem Urnenexperiment. Wir betrachten eine Urne mit d Kugeln, die wir mit  $1, \ldots, d$  beschriften. Wir ziehen k-mal aus dieser Urne mit Zurücklegen und ohne Beachtung der Reihenfolge und konstruieren so einen Vektor  $\mathbf{j} = (j_1, \ldots, j_d)$  mit  $|\mathbf{j}|_1 = k$ . Der Koeffizient  $j_i$  mit  $i = 1, \ldots, d$  gibt an wie oft die Kugel mit der Nummer i gezogen wurde. Damit stimmt die Kardinalität der Menge auf der linken Seite mit der Anzahl aller Möglichkeiten überein, die man erhält, wenn man k-mal aus dieser Urne mit Zurücklegen und ohne Beachtung der Reihenfolge zieht.

Wir betrachten im Folgenden ein d-dimensionales äquidistantes Gitter im Würfel  $[-a,a]^d$  mit Schrittweite  $\frac{2a}{M}$ . Dann ordnen wir jedem Multiindex  $\mathbf{i} \in [M]^d$  einen Gitterpunkt

$$x_{\mathbf{i}} = \left(-a + \mathbf{i}^{(1)} \cdot \frac{2a}{M}, \dots, -a + \mathbf{i}^{(d)} \cdot \frac{2a}{M}\right) = -\mathbf{a} + \frac{2a}{M} \cdot \mathbf{i}$$
 (2.2)

mit  $\mathbf{a} = (a, a, \dots, a) \in \mathbb{R}^d$  zu.

Hiermit lässt sich das zu m gehörige Taylorpolynom der Ordnung  $q \in \mathbb{N}_0$  mit Entwicklungspunkt  $x_i$  schreiben als

$$p_{\mathbf{i}}^{m}(x) = \sum_{\substack{\mathbf{j} \in [q]^{d} \\ |\mathbf{j}|_{1} \leq q}} \partial^{\mathbf{j}} m(x_{\mathbf{i}}) \cdot \frac{(x - x_{\mathbf{i}})^{\mathbf{j}}}{\mathbf{j}!}.$$

$$P_m(x) = \sum_{\mathbf{i} \in [M]^d} p_{\mathbf{i}}^m(x) \prod_{j=1}^d \left( 1 - \frac{M}{2a} \cdot |x^{(j)} - x_{\mathbf{i}}^{(j)}| \right)_+, \tag{2.3}$$

mit der wir die Regeressionsfunktion m approximieren wollen.

Als Nächstes stellen wir ein Resultat zur Taylorformel mit Rest vor, welches der Restgliedformel aus Kapitel 1 in höherer Raumdimension entspricht.

Lemma 2.4 (Lagrangesche Form des Restglieds, [Kö04, Kapitel 2.4, Seite 67]).

Sei  $U \subseteq \mathbb{R}^d$  und  $f: U \to \mathbb{R}$  eine (N+1)-mal stetig differenzierbare Funktion und  $u, x \in U$ Punkte, deren Verbindungsstrecke in U liegt, so gilt:

$$f(x) = T_N f(x; u) + R_{N+1}(x; u),$$

wobei

$$T_N f(x; u) := \sum_{\substack{\mathbf{j} \in [N]^d \\ |\mathbf{j}|_1 \le N}} \partial^{\mathbf{j}} f(u) \cdot \frac{(x - u)^{\mathbf{j}}}{\mathbf{j}!}$$

das Taylorpolynom der Ordnung N von f in u ist und das Restglied mit einem geeigneten  $Punkt \ \xi$  auf der Verbindungsstrecke zwischen u und x in der Form

$$R_{N+1}(x;u) = \sum_{\substack{\mathbf{j} \in [N+1]^d \\ |\mathbf{j}|_1 = N+1}} \partial^{\mathbf{j}} f(\xi) \cdot \frac{(x-u)^{\mathbf{j}}}{\mathbf{j}!}$$

dargestellt werden kann.

Wir zeigen mithilfe des folgenden Lemmas, dass wir  $P_m(x)$  als eine lokale Spline-Interpolation von Taylorpolynomen von m auffassen können.

**Lemma 2.5.** Sei a > 0 und  $M \in \mathbb{N}$ . Dann sind für  $\mathbf{i} \in [M]^d$  die Funktionen

$$B_{\mathbf{i}}(x) = \prod_{i=1}^{d} \left( 1 - \frac{M}{2a} \cdot |x^{(j)} - x_{\mathbf{i}}^{(j)}| \right)_{+} \quad \text{für } x \in [-a, a]^{d}, \tag{2.4}$$

mit  $x_i$  als Gitterpunkte aus Gleichung (2.2), B-Splines auf  $[-a,a]^d$ , für die die folgenden drei Bedingungen gelten:

- (i) Zerlegung der Eins:  $\sum_{\mathbf{i} \in [M]^d} B_{\mathbf{i}}(x) = 1 \text{ für } x \in [-a, a]^d$ .
- (ii) Nichtnegativität:  $B_{\mathbf{i}}(x) \ge 0$  für alle  $\mathbf{i} \in [M]^d$ .
- (iii) Lokaler Träger: Für Multiindizes  $\mathbf{i} \in [M]^d$  ist  $B_{\mathbf{i}}(x) > 0$  falls  $|x^{(j)} x_{\mathbf{i}}^{(j)}| < \frac{2a}{M}$  für alle  $j \in \{1, \dots, d\}$  gilt und andernfalls  $B_{\mathbf{i}}(x) = 0$ .

*Beweis*. Als Erstes möchten wir für d=2 und M=3 eine Skizze angeben, um die Idee des Beweises zu veranschaulichen. Es ist ein Gitter mit  $(M+1)^d$  Gitterpunkten, die

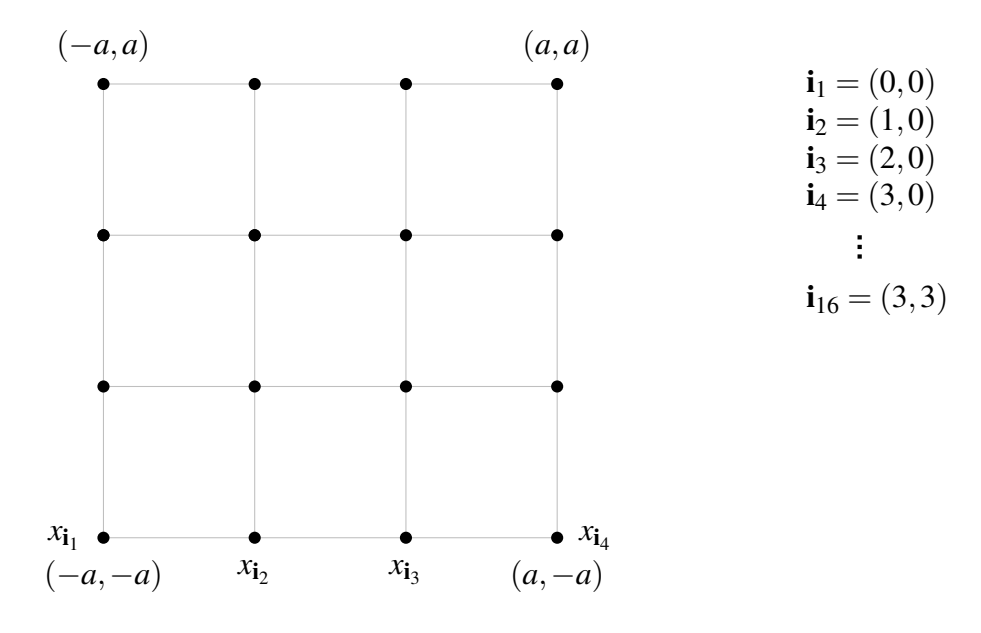


Abbildung 2.1: Beispielhafte Darstellung der  $x_{i_k}$  für d = 2 und M = 3.

den Punkten  $x_{\mathbf{i}_k}$  entsprechen. Der Abstand zwischen zwei Gitterpunkten beträgt  $\frac{2a}{M}$ . Man betrachtet in Gleichung (2.4) immer den Abstand zu den nächsten  $2^d$  Gitterpunkten, da  $(1-\frac{M}{2a}\cdot|x^{(j)}-x_{\mathbf{i}}^{(j)}|)_+=0$  immer dann gilt, wenn der Abstand zwischen  $x^{(j)}$  und  $x_{\mathbf{i}}^{(j)}$  größer als  $\frac{2a}{M}$  ist.

(i) Im Folgenden wollen wir

$$\sum_{\mathbf{i} \in [M]^d} B_{\mathbf{i}}(x) = 1 \text{ für } x \in [-a, a]^d$$
(2.5)

per Induktion über d zeigen.

Induktionsanfang (IA): Für d=1 kann x nur zwischen zwei Gitterpunkten  $x_{\mathbf{i}_1} \neq x_{\mathbf{i}_2}$  liegen. Sei ohne Beschränkung der Allgemeinheit  $x_{\mathbf{i}_1} \leq x \leq x_{\mathbf{i}_2}$ , dann gilt mit der gleichen

Begründung wie im einleitenden Beispiel:

$$\begin{split} \sum_{\mathbf{i} \in [M]^d} \left( 1 - \frac{M}{2a} \cdot |x - x_{\mathbf{i}}| \right)_+ &= \left( 1 - \frac{M}{2a} \cdot |x - x_{\mathbf{i}_1}| \right)_+ + \left( 1 - \frac{M}{2a} \cdot |x - x_{\mathbf{i}_2}| \right)_+ \\ &= 1 + 1 - \frac{M}{2a} \cdot (x - x_{\mathbf{i}_1} + x_{\mathbf{i}_2} - x) \\ &= 1 + 1 - \frac{M}{2a} \cdot \frac{2a}{M} \\ &= 1, \end{split}$$

wobei wir unter anderem verwendet haben, dass beide Summanden unabhängig von dem Positivteil nichtnegativ sind, da der Abstand von x zu den beiden Gitterpunkten  $x_{\mathbf{i}_1}$  und  $x_{\mathbf{i}_2}$  kleiner gleich  $\frac{2a}{M}$  ist. Zudem haben wir verwendet, dass  $x_{\mathbf{i}_2} - x_{\mathbf{i}_1} = \frac{2a}{M}$  gilt, da beides Gitterpunkte sind.

*Induktionshypothese* (IH): Aussage (2.5) gelte für ein beliebiges aber festes  $d \in \mathbb{N}$ .

Induktionsschritt (IS): Wir nehmen ohne Beschränkung der Allgemeinheit an, dass  $x_{(0,\dots,0)} \le x \le x_{(1,\dots,1)}$  komponentenweise gilt. Das heißt also, dass  $x \in [-a,-a+\frac{2a}{M}]^{d+1}$  gilt. Im Folgenden zeigen wir

$$\sum_{\mathbf{i} \in [M]^{(d+1)}} B_{\mathbf{i}}(x) = \sum_{\mathbf{i} \in [M]^{(d+1)}} \prod_{j=1}^{d+1} \left( 1 - \frac{M}{2a} \cdot \left| x^{(j)} - x_{\mathbf{i}}^{(j)} \right| \right)_{+} = 1.$$

Ein Summand der obigen Summe ist Null, wenn ein  $j \in \{1,\dots,d+1\}$  existiert mit  $\left|x^{(j)}-x_{\mathbf{i}}^{(j)}\right| \geq \frac{2a}{M}$ . Zudem haben wir ohne Beschränkung der Allgemeinheit angenommen, dass  $x \in [-a,-a+\frac{2a}{M}]^{d+1}$  gilt. Damit haben wir also nur noch  $2^{d+1}$  Summanden, was der Anzahl der Gitterpunkte, die am nächsten bei x liegen, entspricht. Zudem wissen wir, dass alle Gitterpunkte, die in der (d+1)-ten Komponente den selben Wert haben, in dieser Dimension gleich weit von  $x^{(d+1)}$  entfernt sind. Daraus ergibt sich, dass der Faktor  $\left(1-\frac{M}{2a}\cdot\left|x^{(d+1)}-x_{(0,\dots,0)}^{(d+1)}\right|\right)$  bzw.  $\left(1-\frac{M}{2a}\cdot\left|x^{(d+1)}-x_{(1,\dots,1)}^{(d+1)}\right|\right)$  in jedem Summanden vorkommt, da

$$\left(1 - \frac{M}{2a} \cdot \left| x^{(d+1)} - x_{\mathbf{i}}^{(d+1)} \right| \right) = \begin{cases} \left(1 - \frac{M}{2a} \cdot \left| x^{(d+1)} - x_{(0,\dots,0)}^{(d+1)} \right| \right) & \mathbf{i} \in \{0,1\}^d \times \{0\} \\ \left(1 - \frac{M}{2a} \cdot \left| x^{(d+1)} - x_{(1,\dots,1)}^{(d+1)} \right| \right) & \mathbf{i} \in \{0,1\}^d \times \{1\} \end{cases}$$

gilt. Daraus ergibt sich:

$$\begin{split} \sum_{\mathbf{i} \in [M]^{(d+1)}} \prod_{j=1}^{d+1} \left( 1 - \frac{M}{2a} \cdot \left| x^{(j)} - x_{\mathbf{i}}^{(j)} \right| \right)_{+} \\ &= \sum_{\mathbf{i} \in \{0,1\}^{d+1}} \prod_{j=1}^{d+1} \left( 1 - \frac{M}{2a} \cdot \left| x^{(j)} - x_{\mathbf{i}}^{(j)} \right| \right) \\ &= \left( \sum_{\mathbf{i} \in \{0,1\}^{d} \times \{0\}} \prod_{j=1}^{d} \left( 1 - \frac{M}{2a} \cdot \left| x^{(j)} - x_{\mathbf{i}}^{(j)} \right| \right) \right) \cdot \left( 1 - \frac{M}{2a} \cdot \left| x^{(d+1)} - x_{(0,\dots,0)}^{(d+1)} \right| \right) \\ &+ \left( \sum_{\mathbf{i} \in \{0,1\}^{d} \times \{1\}} \prod_{j=1}^{d} \left( 1 - \frac{M}{2a} \cdot \left| x^{(j)} - x_{\mathbf{i}}^{(j)} \right| \right) \right) \cdot \left( 1 - \frac{M}{2a} \cdot \left| x^{(d+1)} - x_{(1,\dots,1)}^{(d+1)} \right| \right) \\ &= 1 \cdot \left( 1 - \frac{M}{2a} \cdot \left| x^{(d+1)} - x_{(0,\dots,0)}^{(d+1)} \right| \right) + 1 \cdot \left( 1 - \frac{M}{2a} \cdot \left| x^{(d+1)} - x_{(1,\dots,1)}^{(d+1)} \right| \right) \\ &= 1 + 1 - \frac{M}{2a} \cdot \left( x^{(d+1)} - x_{(0,\dots,0)}^{(d+1)} + x_{(1,\dots,1)}^{(d+1)} - x^{(d+1)} \right) \\ &= 1 + 1 - 1 \\ &= 1, \end{split}$$

wobei wir bei der vorletzten Gleichung angewendet haben, dass  $x_{(1,\dots,1)}^{(d+1)}-x_{(0,\dots,0)}^{(d+1)}=\frac{2a}{M}$  ist, da beides Gitterpunkte sind.

(ii) Es folgt 
$$\prod_{j=1}^d (1 - \frac{M}{2a} \cdot |x^{(j)} - x_{\mathbf{i}}^{(j)}|)_+ \ge 0$$
 für alle  $\mathbf{i} \in [M]^d$ , da

$$z_+ = \max\{z, 0\} \ge 0$$
 für  $z \in \mathbb{R}$ 

gilt.

(iii) Es handelt sich hierbei um einen lokalen Träger, da nach der Konstruktion von  $B_{\mathbf{i}}(x)$  der Funktionswert genau dann Null ist, wenn ein  $j \in \{1, \dots, d\}$  existiert, sodass  $|x^{(j)} - x_{\mathbf{i}}^{(j)}| \geq \frac{2a}{M}$  gilt. Andernfalls erhalten wir mit Bedingung (ii), dass  $B_{\mathbf{i}}(x) > 0$  ist.  $\square$ 

Mit der Definition der B-Splines aus Lemma 2.5 erhalten wir nun:

$$P_m(x) = \sum_{\mathbf{i} \in [M]^d} p_{\mathbf{i}}^m(x) \cdot B_{\mathbf{i}}(x).$$
(2.6)

Daher können wir  $P_m(x)$  als eine Spline-Interpolation von Taylorpolynomen von m auffassen. Die Wahl der Architektur  $(L, \mathbf{k})$  unseres Neuronale-Netze-Regressionsschätzers und der Werte aller Gewichte bis auf die der Ausgabeschicht ist durch folgendes Approximationsresultat motiviert.

**Lemma 2.6.** Sei  $M \in \mathbb{N}$ , a > 0 und f eine (p,C)-glatte Funktion, wobei p = q + s mit  $q \in \mathbb{N}_0$ ,  $s \in (0,1]$  und C > 0 sind. Sei zudem  $P_f(x)$  analog zu Gleichung (2.6) eine lokale Spline-Interpolation von Taylorpolynomen von f auf dem Würfel  $[-a,a]^d$ . Dann gilt:

$$\sup_{x \in [-a,a]^d} |f(x) - P_f(x)| \le c \cdot \left(\frac{a}{M}\right)^p,$$

mit einer Konstante c, die von p, d, s und C abhängt.

*Beweis.* Nach Lemma 2.4 über die Lagrange Form des Restglieds existiert ein  $\xi$  auf der Verbindungsstrecke zwischen  $x_i$  und x so, dass

$$f(x) = T_{q-1}f(x;x_{\mathbf{i}}) + R_{q}(x;x_{\mathbf{i}})$$

$$= \sum_{\substack{\mathbf{j} \in [q-1]^{d} \\ |\mathbf{j}|_{1} \le q-1}} \partial^{\mathbf{j}} f(x_{\mathbf{i}}) \cdot \frac{(x-x_{\mathbf{i}})^{\mathbf{j}}}{\mathbf{j}!} + \sum_{\substack{\mathbf{j} \in [q]^{d} \\ |\mathbf{j}|_{1} = q}} \partial^{\mathbf{j}} f(\xi) \cdot \frac{(x-x_{\mathbf{i}})^{\mathbf{j}}}{\mathbf{j}!}$$

$$(2.7)$$

gilt. Nach der B-Spline Eigenschaft (i) aus Gleichung (2.5) erhalten wir

$$f(x) = \sum_{\mathbf{i} \in [M]^d} f(x) \prod_{j=1}^d \left( 1 - \frac{M}{2a} \cdot |x^{(j)} - x_{\mathbf{i}}^{(j)}| \right)_+.$$

Mithilfe der Dreiecksungleichung und der Konstruktion von  $P_f(x)$  erhalten wir:

$$|f(x) - P_f(x)| \le \sum_{\mathbf{i} \in [M]^d} \left| f(x) - \sum_{\substack{\mathbf{j} \in [q]^d \\ |\mathbf{j}|_1 \le q}} \partial^{\mathbf{j}} f(x_{\mathbf{i}}) \cdot \frac{(x - x_{\mathbf{i}})^{\mathbf{j}}}{\mathbf{j}!} \right| \prod_{j=1}^d \left( 1 - \frac{M}{2a} \cdot |x^{(j)} - x_{\mathbf{i}}^{(j)}| \right)_+.$$

$$(2.8)$$

Nach Gleichung (2.7) erhalten wir:

$$\left| f(x) - \sum_{\substack{\mathbf{j} \in [q]^d \\ |\mathbf{j}|_1 \le q}} \partial^{\mathbf{j}} f(x_{\mathbf{i}}) \cdot \frac{(x - x_{\mathbf{i}})^{\mathbf{j}}}{\mathbf{j}!} \right| \\
= \left| \sum_{\substack{\mathbf{j} \in [q - 1]^d \\ |\mathbf{j}|_1 \le q - 1}} \partial^{\mathbf{j}} f(x_{\mathbf{i}}) \cdot \frac{(x - x_{\mathbf{i}})^{\mathbf{j}}}{\mathbf{j}!} + \sum_{\substack{\mathbf{j} \in [q]^d \\ |\mathbf{j}|_1 = q}} \partial^{\mathbf{j}} f(\xi) \frac{(x - x_{\mathbf{i}})^{\mathbf{j}}}{\mathbf{j}!} - \sum_{\substack{\mathbf{j} \in [q]^d \\ |\mathbf{j}|_1 = q}} \partial^{\mathbf{j}} f(x_{\mathbf{i}}) \cdot \frac{(x - x_{\mathbf{i}})^{\mathbf{j}}}{\mathbf{j}!} \right| (2.9)$$

$$= \left| \sum_{\substack{\mathbf{j} \in [q]^d \\ |\mathbf{j}|_1 = q}} \partial^{\mathbf{j}} f(\xi) \frac{(x - x_{\mathbf{i}})^{\mathbf{j}}}{\mathbf{j}!} - \sum_{\substack{\mathbf{j} \in [q]^d \\ |\mathbf{j}|_1 = q}} \partial^{\mathbf{j}} f(x_{\mathbf{i}}) \frac{(x - x_{\mathbf{i}})^{\mathbf{j}}}{\mathbf{j}!} \right|.$$

Aus der (p,C)-Glattheit von f mit  $\xi, x_i \in \mathbb{R}^d$  folgt durch Gleichung (2.9) und Lemma 2.3:

$$\left| \sum_{\substack{\mathbf{j} \in [q]^d \\ |\mathbf{j}|_1 = q}} \partial^{\mathbf{j}} f(\xi) \frac{(x - x_{\mathbf{i}})^{\mathbf{j}}}{\mathbf{j}!} - \sum_{\substack{\mathbf{j} \in [q]^d \\ |\mathbf{j}|_1 = q}} \partial^{\mathbf{j}} f(x_{\mathbf{i}}) \frac{(x - x_{\mathbf{i}})^{\mathbf{j}}}{\mathbf{j}!} \right| \leq \binom{d + q - 1}{q} \cdot \|\xi - x_{\mathbf{i}}\|^s \cdot C \cdot \|x - x_{\mathbf{i}}\|^q_{\infty},$$
(2.10)

wobei  $||x - x_i||_{\infty} = \max_{1 \le k \le d} |x^{(k)} - x_i^{(k)}|$ . Fassen wir die Gleichungen (2.8), (2.9) und (2.10) zusammen, erhalten wir:

$$|f(x) - P_{f}(x)| \leq \sum_{\mathbf{i} \in [M]^{d}} \left| f(x) - \sum_{\substack{\mathbf{j} \in [q]^{d} \\ |\mathbf{j}|_{1} \leq q}} \partial^{\mathbf{j}} f(x_{\mathbf{i}}) \cdot \frac{(x - x_{\mathbf{i}})^{\mathbf{j}}}{\mathbf{j}!} \right| \prod_{j=1}^{d} \left( 1 - \frac{M}{2a} \cdot |x^{(j)} - x_{\mathbf{i}}^{(j)}| \right)_{+}$$

$$\leq \left( \frac{d + q - 1}{q} \right) \cdot C \cdot \sum_{\mathbf{i} \in [M]^{d}} \|\xi - x_{\mathbf{i}}\|^{s} \cdot \|x - x_{\mathbf{i}}\|_{\infty}^{q} \prod_{j=1}^{d} \left( 1 - \frac{M}{2a} \cdot |x^{(j)} - x_{\mathbf{i}}^{(j)}| \right)_{+}.$$
(2.11)

Wir können in Gleichung (2.4) immer den Abstand zu den nächsten  $2^d$  Gitterpunkten betrachten, da wir wissen, dass  $(1-\frac{M}{2a}\cdot|x^{(j)}-x_{\mathbf{i}}^{(j)}|)_+=0$  immer dann gilt, wenn der Abstand zwischen  $x^{(j)}$  und  $x_{\mathbf{i}}^{(j)}$  größer als  $\frac{2a}{M}$  ist. Daraus folgt aus der Eigenschaft der Zerlegung der Eins aus Gleichung (2.5)

$$\sum_{\mathbf{i} \in [M]^d} \|\xi - x_{\mathbf{i}}\|^s \cdot \|x - x_{\mathbf{i}}\|_{\infty}^q \prod_{j=1}^d \left(1 - \frac{M}{2a} \cdot |x^{(j)} - x_{\mathbf{i}}^{(j)}|\right)_+ \le d^{s/2} \cdot \left(\frac{2a}{M}\right)^p \tag{2.12}$$

mit p = q + s. Setzen wir nun Ungleichung (2.12) in (2.11) ein, erhalten wir:

$$|f(x) - P_f(x)| \le {d + q - 1 \choose q} \cdot C \cdot \left(\frac{2a}{M}\right)^p \cdot d^{s/2}$$

$$= c \cdot \left(\frac{a}{M}\right)^p. \tag{2.13}$$

Die Konstante in Gleichung (2.13) lautet

$$c = \binom{d+q-1}{q} \cdot C \cdot 2^p \cdot d^{s/2}.$$

Bilden wir schließlich in Gleichung (2.13) noch das Supremum über  $x \in [-a, a]^d$ , erhalten wir die Behauptung.

Durch geeignet gewählte  $a_{i,j} \in \mathbb{R}$  lässt sich  $P_m(x)$  in die Form

$$\sum_{\mathbf{i} \in [M]^d} \sum_{\substack{\mathbf{j} \in [q]^d \\ |\mathbf{j}|_1 \le q}} a_{\mathbf{i},\mathbf{j}} \cdot (x - x_{\mathbf{i}})^{\mathbf{j}} \prod_{j=1}^d \left( 1 - \frac{M}{2a} \cdot |x^{(j)} - x_{\mathbf{i}}^{(j)}| \right)_+$$

bringen, da sich jedes  $p_{\mathbf{i}}^m(x)$  als Polynom umordnen lässt und wir daher auch  $P_m(x)$  umschreiben können.

Als Nächstes wollen wir geeignete neuronale Netze  $f_{\text{net},\mathbf{j},\mathbf{i}}$  mit Architektur  $(L,\mathbf{k})$  definieren, die die Funktionen

$$x \mapsto (x - x_{\mathbf{i}})^{\mathbf{j}} \prod_{j=1}^{d} \left( 1 - \frac{M}{2a} \cdot |x^{(j)} - x_{\mathbf{i}}^{(j)}| \right)_{+}$$

approximieren, um anschließend Linearkombinationen

$$\sum_{\mathbf{i} \in [M]^d} \sum_{\substack{\mathbf{j} \in [q]^d \\ |\mathbf{j}|_1 \le q}} a_{\mathbf{i},\mathbf{j}} \cdot f_{\text{net},\mathbf{j},\mathbf{i}}(x) \qquad (a_{\mathbf{i},\mathbf{j}} \in \mathbb{R})$$

zu betrachten. Um dies zu erreichen, wählen wir als Aktivierungsfunktion den logistischen Squasher

$$\sigma(x) = \frac{1}{(1 + \exp(-x))} \quad (x \in \mathbb{R})$$

aus Gleichung (1.1). Zudem wählen wir  $R \ge 1$  und erhalten für die neuronalen Netze aus Kapitel 1:

• 
$$f_{id}(x) = 4R \cdot \sigma\left(\frac{x}{R}\right) - 2R$$
.

$$f_{\text{mult}}(x,y) = \frac{R^2}{4} \cdot \frac{(1 + \exp(-1))^3}{\exp(-2) - \exp(-1)} \cdot \left(\sigma\left(\frac{2(x+y)}{R} + 1\right) - 2 \cdot \sigma\left(\frac{x+y}{R} + 1\right) - \sigma\left(\frac{2(x-y)}{R} + 1\right) + 2 \cdot \sigma\left(\frac{x-y}{R} + 1\right)\right).$$

• 
$$f_{\text{ReLU}}(x) = f_{\text{mult}}(f_{\text{id}}(x), \sigma(R \cdot x)).$$

• 
$$f_{\text{hat},y}(x) = f_{\text{ReLU}}\left(\frac{M}{2a} \cdot (x - y) + 1\right) - 2 \cdot f_{\text{ReLU}}\left(\frac{M}{2a} \cdot (x - y)\right) + f_{\text{ReLU}}\left(\frac{M}{2a} \cdot (x - y) - 1\right).$$

Mit diesen neuronalen Netzen können wir nun  $f_{\text{net},\mathbf{j},\mathbf{i}}$  rekursiv definieren.

**Definition 2.7.** Sei  $N \in \mathbb{N}$  und  $q \in \mathbb{N}_0$  mit  $N \ge q$ . Sei zudem  $s = \lceil \log_2(N+d) \rceil$ ,  $\mathbf{i} \in [M]^d$  und  $\mathbf{j} \in [N]^d$ . Dann ist das neuronale Netz  $f_{\text{net},\mathbf{j},\mathbf{i}}$  definiert durch:

$$f_{\text{net},\mathbf{j},\mathbf{i}}(x) = f_1^{(0)}(x),$$

wobei

$$f_k^{(l)}(x) = f_{\text{mult}}\left(f_{2k-1}^{(l+1)}(x), f_{2k}^{(l+1)}(x)\right)$$

für  $k \in \{1, 2, ..., 2^l\}$  und  $l \in \{0, ..., s-1\}$ . Zudem ist

$$f_k^{(s)}(x) = f_{id}(f_{id}(x^{(l)} - x_{i_k}^{(l)}))$$

für  $j_1 + j_2 + \dots + j_{l-1} + 1 \le k \le j_1 + j_2 + \dots + j_l$  und  $1 \le l \le d$  und

$$f_{|\mathbf{j}|_1+k}^{(s)}(x) = f_{\text{hat},x_{\mathbf{i}_k}^{(k)}}(x^{(k)})$$

für  $1 \le k \le d$  und

$$f_k^{(s)}(x) = 1$$

für  $|\mathbf{j}|_1 + d + 1 < k < 2^s$ .

Das folgende Lemma ist ein Spezialfall von [BKK19, Lemma 5] und liefert das eingangs erwähnte Approximationsresultat für neuronale Netze  $f_{\text{net},j,i}$  aus Definition 2.7. Dieses Lemma wird hier nur der Vollständigkeit halber und ohne Beweis aufgeführt

**Lemma 2.8.** Sei  $M \in \mathbb{N}$  und  $\sigma \colon \mathbb{R} \to [0,1]$  2-zulässig. Sei  $a \ge 1$  und  $R \in \mathbb{R}$  mit

$$R \geq \max \left\{ \frac{\|\sigma''\|_{\infty} \cdot (M+1)}{2 \cdot |\sigma'(t_{\sigma})|}, \frac{9 \cdot \|\sigma''\|_{\infty} \cdot a}{|\sigma'(t_{\sigma})|}, \frac{20 \cdot \|\sigma'''\|_{\infty}}{3 \cdot |\sigma''(t_{\sigma})|} \cdot 3^{3 \cdot 3^{s}} \cdot a^{3 \cdot 2^{s}}, \right.$$

$$1792 \cdot \frac{\max\{\|\sigma''\|_{\infty}, \|\sigma'''\|_{\infty}, 1\}}{\min\{2 \cdot |\sigma'(t_{\sigma})|, |\sigma''(t_{\sigma})|, 1\}} \cdot M^{3} \right\},$$

wobei  $s = \lceil \log_2(N+d) \rceil$  mit  $N \in \mathbb{N}$ . Sei  $x_{\mathbf{i}_k} \in [-a,a]^d$ ,  $\mathbf{j} \in [N]^d$ ,  $\mathbf{i} \in [M]^d$  und  $f_{\mathsf{net},\mathbf{j},\mathbf{i}}$  das neuronale Netz aus Definition 2.7. Dann erhalten wir für  $x \in [-a,a]^d$ :

$$\left| f_{\text{net},\mathbf{j},\mathbf{i}}(x) - (x - x_{\mathbf{i}_k})^{\mathbf{j}} \prod_{j=1}^{d} \left( 1 - \frac{M}{2a} \cdot \left| x^{(j)} - x_{\mathbf{i}_k}^{(j)} \right| \right)_{+} \right| \le c \cdot 3^{3 \cdot 3^s} \cdot a^{3 \cdot 2^s} \cdot M^3 \cdot \frac{1}{R}$$

für eine von n unabhängige Konstante c > 0.

Da das neuronale Netz  $f_{\text{net},\mathbf{j},\mathbf{i}}$  aus mehreren neuronalen Netzen zusammengebaut wurde, lässt sich dadurch auch die Anzahl an Schichten und Neuronen pro Schicht durch diese Struktur erklären. Aus der rekursiven Definition 2.7 entnimmt man, dass  $f_{\text{net},\mathbf{j},\mathbf{i}}$  insgesamt s+2 verborgene Schichten, durch s-maliges Anwenden von  $f_{\text{mult}}$  und einer Anwendung von  $f_{\text{hat}}$  bzw.  $f_{\text{id}}(f_{\text{id}})$  hat. Da  $f_{\text{hat}}$  zwei verborgene Schichten besitzt, ergibt sich daraus die Anzahl an verborgenen Schichten von  $f_{\text{net},\mathbf{j},\mathbf{i}}$ . Die Anzahl der Neuronen pro verborgener Schicht von  $f_{\text{net},\mathbf{j},\mathbf{i}}$  ergibt sich wie folgt:

- Die erste verborgene Schicht enthält maximal  $3 \cdot 2 \cdot 2^s = 6 \cdot 2^s$  Neuronen, da dies die erste verborgene Schicht von  $f_{\text{hat}}$  ist und maximal  $2^s$ -mal aufgerufen wird.
- Die zweite verborgene Schicht enthält maximal  $3 \cdot 4 \cdot 2^s = 12 \cdot 2^s$  Neuronen, da dies die zweite verborgene Schicht von  $f_{\text{hat}}$  ist und maximal  $2^s$ -mal aufgerufen wird.
- Die verborgenen Schichten  $3,4,\ldots,s+1,s+2$  enthalten maximal  $2^{s+1},2^s,\ldots,2^3,2^2$ Neuronen, da wir s-mal  $f_{\text{mult}}$  verschachtelt aufrufen.

Wie in Kapitel 1 bereits erwähnt, erhält man ein nicht Fully-connected neuronales Netz, indem man die Gewichte der Verbindungen zwischen zwei Neuronen in einem Fully-connected neuronalen Netz auf Null setzt. Daher liegt auch  $f_{\text{net},\mathbf{j},\mathbf{i}}$  nach Definition 1.1 in  $\mathfrak{N}(s+2,\{24\cdot(N+d)\}^{s+2},\sigma)$ , da die größte Anzahl an Neuronen in einer Schicht

$$12 \cdot 2^{s} = 12 \cdot 2^{\lceil \log_2(N+d) \rceil} \le 12 \cdot 2^{\log_2(N+d)+1} = 24 \cdot (N+d)$$

ist. Weiterhin erkennt man durch die Zusammensetzung der neuronalen Netze, dass alle Gewichte im Betrag durch  $c \cdot \max\{\frac{M}{2a}, R^2\}$  beschränkt sind, wobei c > 0 ist.

#### 2.2 Bestimmung der Gewichte der Ausgabeschicht

Wir definieren unseren Neuronale-Netze-Regressionsschätzer  $\tilde{m}_n(x)$  durch:

$$\tilde{m}_n(x) := \sum_{\mathbf{i} \in [M]^d} \sum_{\substack{\mathbf{j} \in [N]^d \\ |\mathbf{j}|_1 < N}} a_{\mathbf{i},\mathbf{j}} \cdot f_{\text{net},\mathbf{j},\mathbf{i}}(x), \tag{2.14}$$

wobei n die Größe unserer gegebenen Datenmenge  $\mathcal{D}_n$  ist und wir die Koeffizienten  $a_{i,j}$  durch die Lösung eines Kleinste-Quadrate-Problems erhalten. Dazu betrachten wir die Tikhonov Regularisierung (vgl. [Kre98, Kapitel 16.1])

$$\frac{1}{n} \sum_{i=1}^{n} |Y_i - \tilde{m}_n(X_i)|^2 + \frac{c}{n} \cdot ||a_{i,j}||_2^2$$
 (2.15)

mit Regularitätsparameter  $\frac{c}{n}$  für eine von n unabhängige Konstante c > 0 und wollen im Folgenden die Gleichung (2.15) minimieren. Zunächst stellen wir Gleichung (2.15) als Gleichungssystem dar. Dafür definieren wir uns die Menge

$$\mathscr{U} := \{U_s : s = 1, \dots, S\} := \{f_{\mathsf{net}, \mathbf{j}, \mathbf{i}}(x) : \mathbf{i} \in [M]^d \text{ und } |\mathbf{j}|_1 \le N \text{ mit } \mathbf{j} \in [N]^d \}$$

wobei

$$S := \left| [M]^d \right| \cdot {N+d \choose d} = (M+1)^d \cdot {N+d \choose d}$$

die Kardinalität von  $\mathcal{U}$  ist. Dies sieht man wie folgt über ein Kombinatorik Argument. Wir wissen, dass es insgesamt  $(M+1)^d$  Möglichkeiten gibt d-viele Zahlen aus einer Menge der Größe (M+1) mit Zurücklegen und mit Beachtung der Reihenfolge zu ziehen. Mit Zurücklegen, da man mehrmals eine Zahl ziehen kann und mit Beachtung der Reihenfolge, da wir Vektoren betrachten und die Komponenten nicht vertauschbar sind. Für jede dieser  $(M+1)^d$  Möglichkeiten ist noch zu beachten, dass wir zusätzlich d-mal aus einer Menge mit (N+1)-vielen Zahlen ziehen und gleichzeitig die Bedingung beachten müssen, dass die Summe der gezogenen d Elemente zwischen Null und N liegt. Gesucht ist also

$$\left|\left\{\mathbf{j}\in[N]^d:|\mathbf{j}|_1\leq N\right\}\right|=:H.$$

Wir stellen fest, dass

$$\left\{ \mathbf{j} \in [N]^d : |\mathbf{j}|_1 \le N \right\}$$

$$= \left\{ \mathbf{j} \in [N]^d : |\mathbf{j}|_1 = 0 \right\} \cup \left\{ \mathbf{j} \in [N]^d : |\mathbf{j}|_1 = 1 \right\} \cup \dots \cup \left\{ \mathbf{j} \in [N]^d : |\mathbf{j}|_1 = N \right\}$$

gilt. Mit Lemma 2.3 wissen wir, dass für  $d, N \in \mathbb{N}$  und  $k \in \mathbb{N}_0$  mit  $k \le N$  die Identität

$$\left| \left\{ \mathbf{j} \in [N]^d : |\mathbf{j}|_1 = k \right\} \right| = \binom{d+k-1}{k} = \binom{d+k-1}{d-1}$$

gilt. Damit erhalten wir

$$H = \sum_{k=0}^{N} \left| \left\{ \mathbf{j} \in [N]^d : |\mathbf{j}|_1 = k \right\} \right| = \sum_{k=0}^{N} \binom{d+k-1}{d-1} = \binom{N+d}{d},$$

mit der Hockey-Stick Identität (vgl. [TEC19, Theorem 10.14])

$$\sum_{i=0}^{n-r} \binom{i+r}{r} = \sum_{i=r}^{n} \binom{i}{r} = \binom{n+1}{r+1} \quad (n,r \in \mathbb{N} \text{ mit } n \ge r).$$

Wir setzen nun

$$\mathbf{U} = (U_s(X_i))_{1 \le i \le n, 1 \le s \le S}$$
 und  $\mathbf{Y} = (Y_i)_{1 \le i \le n}$ .

Der Schätzer aus Gleichung (2.14) lässt sich nun umschreiben zu

$$\tilde{m}_n(x) = \sum_{s=1}^{S} a_s \cdot U_s(x)$$
 (2.16)

mit  $(a_s)_{s=1,...,S} = \mathbf{a} \in \mathbb{R}^S$ . Für die Tikhonov Regularisierung aus Gleichung (2.15) erhalten wir:

$$\frac{1}{n} \sum_{i=1}^{n} |Y_i - \tilde{m}_n(X_i)|^2 + \frac{c}{n} \cdot \sum_{\mathbf{i} \in [M]^d} \sum_{\substack{\mathbf{j} \in [N]^d \\ |\mathbf{j}|_1 \le N}} a_{\mathbf{i},\mathbf{j}}^2$$

$$= \frac{1}{n} (\mathbf{Y} - \mathbf{U}\mathbf{a})^T (\mathbf{Y} - \mathbf{U}\mathbf{a}) + \frac{c}{n} \cdot \mathbf{a}^T \mathbf{a}.$$
(2.17)

Im folgenden Lemma bestimmen wir den Koeffizientenvektor **a** so, dass Gleichung (2.17) minimal wird.

#### Lemma 2.9. Das Funktional

$$\varphi(\mathbf{a}) := \frac{1}{n} (\mathbf{Y} - \mathbf{U}\mathbf{a})^T (\mathbf{Y} - \mathbf{U}\mathbf{a}) + \frac{c}{n} \cdot \mathbf{a}^T \mathbf{a},$$

besitzt einen eindeutigen Minimierer  $\mathbf{a} \in \mathbb{R}^{S}$ .

*Beweis.* Es gilt  $\mathbf{a}^T \mathbf{U}^T \mathbf{Y} = \mathbf{Y}^T \mathbf{U} \mathbf{a}$ , da dieser Ausdruck eine reelle Zahl und damit insbesondere symmetrisch ist. Damit erhalten wir für  $\varphi(\mathbf{a})$ :

$$\varphi(\mathbf{a}) = \frac{1}{n} (\mathbf{Y}^T \mathbf{Y} - \mathbf{Y}^T \mathbf{U} \mathbf{a} - \mathbf{a}^T \mathbf{U}^T \mathbf{Y} + \mathbf{a}^T \mathbf{U}^T \mathbf{U} \mathbf{a}) + \frac{c}{n} \cdot \mathbf{a}^T \mathbf{a}$$

$$= \frac{1}{n} (\mathbf{Y}^T \mathbf{Y} - 2\mathbf{Y}^T \mathbf{U} \mathbf{a}) + \mathbf{a}^T \left( \frac{1}{n} \mathbf{U}^T \mathbf{U} + \frac{c}{n} \cdot \mathbf{1} \right) \mathbf{a}$$

$$= \frac{1}{n} (\mathbf{Y}^T \mathbf{Y} - 2\mathbf{Y}^T \mathbf{U} \mathbf{a}) + \mathbf{a}^T \mathbf{A} \mathbf{a},$$
(2.18)

mit

$$\mathbf{A} := \frac{1}{n} \mathbf{U}^T \mathbf{U} + \frac{c}{n} \cdot \mathbf{1}.$$

Die Matrix  $\mathbf{U}^T\mathbf{U} \in \mathbb{R}^{S \times S}$  ist positiv definit, denn aufgrund der Rechenregeln der Transponierten und des Standardskalarprodukts sowie der positiven Definitheit des Standardskalarprodukts gilt für alle  $x \in \mathbb{R}^s \setminus \{0\}$ :

$$\langle x, \mathbf{U}^{\mathbf{T}} \mathbf{U} x \rangle = \langle \mathbf{U} x, \mathbf{U} x \rangle > 0.$$

Zudem wissen wir dass  $\frac{c}{n}$ 1 durch die Wahl von c nur positive Eigenwerte besitzt und damit positiv definit ist. Daher wissen wir, dass die Matrix A positiv definit und insbesondere invertierbar ist, da die Eigenwerte positiv sind. Das folgt daraus, dass die ohnehin schon positiven Eigenwerte von  $\frac{1}{n}\mathbf{U}^T\mathbf{U}$  um  $\frac{c}{n}$  verschoben werden und damit positiv bleiben. Zudem ist die Matrix A als Summe von zwei symmetrischen Matrizen ebenfalls symmetrisch. Setzen wir

$$\mathbf{b} \coloneqq \frac{1}{n} \cdot \mathbf{A}^{-1} \mathbf{U}^T \mathbf{Y} \in \mathbb{R}^S$$

folgt mit der Symmetrie der Matrix A die Identität

$$\mathbf{b}^T \mathbf{A} \mathbf{a} = \mathbf{a}^T \mathbf{A} \mathbf{b} = \frac{1}{n} \cdot \mathbf{a}^T \mathbf{U}^T \mathbf{Y} = \frac{1}{n} \cdot \mathbf{Y}^T \mathbf{U} \mathbf{a} \in \mathbb{R}.$$

Daraus ergibt sich mit

$$\mathbf{Y}^T \mathbf{U} \mathbf{a} = \frac{n}{2} \cdot \left( \mathbf{b}^T \mathbf{A} \mathbf{a} + \mathbf{a}^T \mathbf{A} \mathbf{b} \right)$$

und

$$0 = \mathbf{b}^T \mathbf{U}^T \mathbf{Y} - \mathbf{Y}^T \mathbf{U} \mathbf{b}$$

die Gleichung

$$\mathbf{Y}^{T}\mathbf{U}\mathbf{a} = \frac{n}{2} \left( \mathbf{b}^{T}\mathbf{A}\mathbf{a} + \mathbf{a}^{T}\mathbf{A}\mathbf{b} \right) = \frac{n}{2} \left( \mathbf{b}^{T}\mathbf{A}\mathbf{a} + \mathbf{a}^{T}\mathbf{A}\mathbf{b} - \frac{1}{n}\mathbf{b}^{T}\mathbf{U}^{T}\mathbf{Y} + \frac{1}{n}\mathbf{Y}^{T}\mathbf{U}\mathbf{b} \right)$$

$$= \frac{n}{2} \left( \mathbf{b}^{T}\mathbf{A}\mathbf{a} + \mathbf{a}^{T}\mathbf{A}\mathbf{b} - \frac{1}{n}\mathbf{b}^{T}\mathbf{A} \left( \mathbf{A}^{-1}\mathbf{U}^{T}\mathbf{Y} \right) + \frac{1}{n}\mathbf{Y}^{T}\mathbf{U}\mathbf{b} \right)$$

$$= \frac{n}{2} \left( \mathbf{b}^{T}\mathbf{A}\mathbf{a} + \mathbf{a}^{T}\mathbf{A}\mathbf{b} - \mathbf{b}^{T}\mathbf{A}\mathbf{b} + \frac{1}{n^{2}}\mathbf{Y}^{T}\mathbf{U}\mathbf{A}^{-1}\mathbf{U}^{T}\mathbf{Y} \right).$$
(2.19)

Damit erhalten wir in Gleichung (2.18):

$$\varphi(\mathbf{a}) = \frac{1}{n} (\mathbf{Y}^T \mathbf{Y} - 2\mathbf{Y}^T \mathbf{U} \mathbf{a}) + \mathbf{a}^T \mathbf{A} \mathbf{a}$$

$$= \frac{1}{n} \mathbf{Y}^T \mathbf{Y} - \mathbf{b}^T \mathbf{A} \mathbf{a} - \mathbf{a}^T \mathbf{A} \mathbf{b} + \mathbf{b}^T \mathbf{A} \mathbf{b} - \frac{1}{n^2} \mathbf{Y}^T \mathbf{U} \mathbf{A}^{-1} \mathbf{U}^T \mathbf{Y} + \mathbf{a}^T \mathbf{A} \mathbf{a}$$

$$= (\mathbf{a} - \mathbf{b})^T \mathbf{A} (\mathbf{a} - \mathbf{b}) + \frac{1}{n} \mathbf{Y}^T \mathbf{Y} - \frac{1}{n^2} \mathbf{Y}^T \mathbf{U} \mathbf{A}^{-1} \mathbf{U}^T \mathbf{Y}.$$

Hierbei erkennen wir, dass für  $\mathbf{a} = \mathbf{b}$  das Funktional  $\varphi$  minimal wird, da wir wissen, dass  $\mathbf{A}$  positiv definit ist und damit  $x^T \mathbf{A} x > 0$  für alle  $x \in \mathbb{R}^S$  mit  $x \neq 0$  gilt. Aus der

positiven Definitheit von **A** folgt zudem  $(\mathbf{a} - \mathbf{b})^T \mathbf{A} (\mathbf{a} - \mathbf{b}) = 0$  genau dann, wenn  $\mathbf{a} = \mathbf{b}$  gilt. Daraus folgt, dass das Funktional einen eindeutigen Minimierer  $\mathbf{a} = \mathbf{b} = \frac{1}{n} \cdot \mathbf{A}^{-1} \mathbf{U}^T \mathbf{Y} \in \mathbb{R}^S$  besitzt.

Für den Koeffizientenvektor unseres Schätzers  $\tilde{m}_n$  wählen wir die Lösung aus Lemma 2.9. Bemerkung 2.10. Da der Koeffizientenvektor **a** die Gleichung (2.17) minimiert, erhalten wir, wenn wir den Koeffizientenvektor gleich Null setzen:

$$\frac{c}{n} \cdot \mathbf{a}^T \mathbf{a} \le \frac{1}{n} (\mathbf{Y} - \mathbf{U}\mathbf{a})^T (\mathbf{Y} - \mathbf{U}\mathbf{a}) + \frac{c}{n} \cdot \mathbf{a}^T \mathbf{a} \le \frac{1}{n} \sum_{i=1}^n Y_i^2,$$

was uns erlaubt eine obere Schranke für den absoluten Wert unserer Koeffizienten abzuleiten. Daraus können wir folgern, dass unser Neuronale-Netze-Regressionsschätzer  $\tilde{m}_n$  beschränkt ist, da die neuronalen Netze  $f_{\text{net},\mathbf{j},\mathbf{i}}$  nach Konstruktion ebenfalls beschränkt sind.

# Kapitel 3

# Resultat zur

# Konvergenzgeschwindigkeit

In diesem Kapitel stellen wir das Hauptresultat dieser Arbeit vor. Wir betrachten im Folgenden das Problem 2.1 und wollen nun eine Abschätzung des erwarteten  $L_2$ -Fehlers

$$\mathbb{E}\left[\int |m_n(x)-m(x)|^2 \mathbb{P}_X(dx)\right]$$

im Falle des Schätzers

$$m_n(x) := T_{\beta_n} \tilde{m}_n(x),$$
 (3.1)

mit  $\beta_n = c_1 \cdot \log(n)$  für eine hinreichend große und von n unabhängige Konstante  $c_1 > 0$  und unter Annahme einer (p,C)-glatten Regressionsfunktion m herleiten. Hierbei bezeichnet  $T_\beta z = \max\{\min\{z,\beta\}, -\beta\}$  für  $z \in \mathbb{R}$  und  $\beta > 0$ . Weiterhin bezeichnen wir mit  $\tilde{m}_n$  unseren Neuronale-Netze-Regresssionsschätzer aus Kapitel 2.2, welcher aus mehreren neuronalen Netzen konstruiert wurde. Für diesen gilt: Die Aktivierungsfunktion  $\sigma$  ist der logistische Squasher,  $N \geq q$ ,  $M = M_n = \lceil c_2 \cdot n^{1/(2p+d)} \rceil$  mit  $c_2 > 0$  und unabhängig von n,  $R = R_n = n^{d+4}$  und  $a = a_n = (\log n)^{1/(6(N+d))}$ .

Nun kommen wir zu dem Hauptresultat dieser Arbeit.

**Hauptsatz 3.1** ([BKK19, Theorem 1]). *Angenommen die Verteilung von Y erfüllt* 

$$\mathbb{E}\left[\mathrm{e}^{c_3\cdot|Y|^2}\right]<\infty$$

für eine Konstante  $c_3 > 0$  und die Verteilung von X besitzt einen beschränkten Träger  $\operatorname{supp}(\mathbb{P}_X)$ . Sei  $m(x) = \mathbb{E}[Y \mid X = x]$  die zu dem Tupel (X,Y) gehörige Regressionsfunktion. Angenommen m ist (p,C)-glatt, mit p = q + s, wobei  $q \in \mathbb{N}_0$ ,  $s \in (0,1]$  und C > 0 ist. Des Weiteren sei  $m_n$  der in Gleichung (3.1) definierte Regressionsschätzer.

Dann gilt für hinreichend großes n:

$$\mathbb{E}\left[\int |m_n(x)-m(x)|^2 \mathbb{P}_X(dx)\right] \le c_{\text{fin}} \cdot (\log n)^3 \cdot n^{-\frac{2p}{2p+d}},$$

wobei  $c_{\text{fin}} > 0$  eine von n unabhängige Konstante ist.

Bevor wir zum Beweis von Hauptresultat 3.1 kommen, stellen wir im folgenden Abschnitt die dafür notwendigen Hilfsresultate vor.

## 3.1 Approximations resultate für Hauptsatz 3.1

Die nächsten Definitionen und Lemmata benötigen wir für den Beweis unseres Hauptresultats, einer Aussage über die Konvergenzgeschwindigkeit unseres Neuronale-Netze-Regressionsschätzers. Die Lemmata werden hier nur der Vollständigkeit halber und ohne Beweis aufgeführt. Als Nächstes geben wir eine Definition von Überdeckungszahlen an, da wir im Beweis für unser Hauptresultat eine Abschätzung einer  $L_p$ - $\varepsilon$ -Überdeckungszahl anwenden.

**Definition 3.2.** Sei  $(X, \delta)$  ein pseudometrischer Raum (vgl. [Bar15, Definition 2.1.1]). Für  $x \in X$  und  $\varepsilon > 0$  sei:

$$U_{\varepsilon}(x) = \{ z \in X : \delta(x, z) < \varepsilon \}$$

die offene Kugel um x mit Radius  $\varepsilon$ .

a)  $\{z_1, \ldots, z_N\} \subseteq X$  heißt  $\varepsilon$ -Überdeckung einer Menge  $A \subseteq X$ , falls gilt:

$$A\subseteq igcup_{k=1}^N U_{m{arepsilon}}(z_k).$$

b) Ist  $A \subseteq X$  und  $\varepsilon > 0$ , so ist die sogenannte  $\varepsilon$ -Überdeckungszahl von A in  $(X, \delta)$  definiert als:

$$\mathscr{N}_{(X,\delta)}(\varepsilon,A) := \inf \{ |U| : U \subseteq X \text{ ist } \varepsilon\text{-} \text{Überdeckung von } A \}.$$

Da wir in unserem Hauptresultat eine Überdeckungszahl von Mengen von Funktionen betrachten werden, benötigen wir folgende Definition.

**Definition 3.3.** Sei  $\mathscr{F}$  eine Menge von Funktionen  $f: \mathbb{R}^d \to \mathbb{R}$ , sei  $\varepsilon > 0$ ,  $1 \le p < \infty$  und seien  $x_1, \dots, x_n \in \mathbb{R}^d$  und  $x_1^n = (x_1, \dots, x_n)$ . Dann ist die  $L_p$ - $\varepsilon$ -Uberdeckungszahl von  $\mathscr{F}$  auf  $x_1^n$  definiert durch:

$$\mathcal{N}_p(\varepsilon, \mathscr{F}, x_1^n) := \mathcal{N}_{(X, \delta)}(\varepsilon, \mathscr{F}),$$

wobei der pseudometrische Raum  $(X, \delta)$  gegeben ist durch X als Menge aller Funktionen  $f: \mathbb{R}^d \to \mathbb{R}$  und durch die Pseudometrik  $\delta(f, g) = \delta_p(f, g) = (\frac{1}{n} \sum_{i=1}^n |f(x_i) - g(x_i)|^p)^{1/p}$ .

Das folgende Lemma beschreibt wie man den erwarteten  $L_2$ -Fehler eines Schätzers mithilfe einer  $L_p$ - $\varepsilon$ - $\ddot{U}$ berdeckungszahl abschätzen kann. Dieses Lemma ist ein Spezialfall von [BKK19, Lemma 8].

**Lemma 3.4.** Sei  $\beta_n = c_1 \cdot \log(n)$  für eine hinreichend große Konstante  $c_1 > 0$ . Angenommen die Verteilung von Y erfüllt

$$\mathbb{E}\left[\mathrm{e}^{c_2\cdot|Y|^2}\right]<\infty$$

für eine Konstante  $c_2 > 0$ . Zudem nehmen wir an, dass die Regressionsfunktion m beschränkt ist. Sei  $\mathscr{F}_n$  eine Menge von Funktionen  $f: \mathbb{R}^d \to \mathbb{R}$ . Sei  $\hat{m}_n$  ein Schätzer für m mit

$$\hat{m}_n = T_{\beta_n} \mathring{m}_n = \max \left\{ \min \{ \mathring{m}_n, \beta_n \}, -\beta_n \right\}$$

für eine Funktion

$$\mathring{m}_n(\cdot) = \mathring{m}_n(\cdot, (X_1, Y_1), \dots, (X_n, Y_n)) \in \mathscr{F}_n,$$

welche die Ungleichung

$$\frac{1}{n}\sum_{i=1}^{n}|Y_i - \mathring{m}_n(X_i)|^2 \le \frac{1}{n}\sum_{i=1}^{n}|Y_i - g_n(X_i)|^2 + \operatorname{pen}_n(g_n)$$
(3.2)

mit einer deterministischen Funktion  $g_n \colon \mathbb{R}^d \to \mathbb{R}$  und deterministischem Penalty Term  $\operatorname{pen}_n(g_n) \geq 0$  erfüllt. Dann gilt für den erwarteten  $L_2$ -Fehler die Ungleichung

$$\mathbb{E}\left[\int |\hat{m}_{n}(x) - m(x)|^{2} \mathbb{P}_{X}(dx)\right]$$

$$\leq \frac{1}{n} \cdot c \cdot \log(n)^{2} \cdot \left(\log\left(\sup_{x_{1}^{n} \in (\operatorname{supp}(X))^{n}} \mathcal{N}_{1}\left(\frac{1}{n \cdot \beta_{n}}, \mathscr{F}_{n}, x_{1}^{n}\right)\right) + 1\right)$$

$$+ 2 \cdot \mathbb{E}\left[\int |g_{n}(x) - m(x)|^{2} \mathbb{P}_{X}(dx) + \operatorname{pen}_{n}(g_{n})\right],$$
(3.3)

für n > 1 und eine von n unabhängige Konstante c > 0.

Das nächste Lemma benötigen wir, um in Ungleichung (3.3) die Überdeckungszahl  $\mathcal{N}_1\left(\frac{1}{n \cdot \beta_n}, \mathcal{F}_n, x_1^n\right)$  weiter abzuschätzen.

**Lemma 3.5** ([BKK19, Lemma 9]). Seien a > 0 und  $d, L, N, J_n \in \mathbb{N}$  so, dass  $J_n \leq n^{c_1}$  für eine Konstante  $c_1 > 0$  gilt und setze  $\beta_n = c_2 \cdot \log(n)$  für eine hinreichend große Konstante  $c_2 > 0$ . Sei die Funktion  $\sigma \colon \mathbb{R} \to [0,1]$  2-zulässig. Sei  $\mathscr{F}$  die Menge aller Funktionen die durch Definition 1.1 definiert sind mit  $k_1 = k_2 = \cdots = k_L = 24 \cdot (N+d)$  und einer Beschränkung des Betrags der Gewichte durch  $c_3 \cdot n^{c_4}$  für Konstanten  $c_3, c_4 > 0$ . Sei

$$\mathscr{F}^{(J_n)} := \left\{ \sum_{j=1}^{J_n} a_j \cdot f_j : f_j \in \mathscr{F} \quad und \quad \sum_{j=1}^{J_n} a_j^2 \leq c_5 \cdot n^{c_6} \right\}$$

Wird der Erwartungswert noch benötigt? für Konstanten  $c_5, c_6 > 0$ . Dann gilt für n > 1:

$$\log\left(\sup_{x_1^n\in[-a,a]^{d\cdot n}}\mathcal{N}_1\left(\frac{1}{n\cdot\beta_n},\mathscr{F}^{(J_n)},x_1^n\right)\right)\leq c\cdot\log(n)\cdot J_n,$$

für eine Konstante c die nur von L, N, a und d abhängt.

Mit den Approximationsresultaten aus diesem Abschnitt verfügen wir nun über alle Bausteine, um unser Hauptresultat zu beweisen.

## 3.2 Der Beweis von Hauptsatz 3.1

Wir betrachten das Ereignis

$$A_n := \left[ \frac{1}{n} \sum_{i=1}^n Y_i^2 \le 1 + \mathbb{E}[Y^2] \right]. \tag{3.4}$$

Damit können wir den erwarteten  $L_2$ -Fehler umschreiben zu:

$$\mathbb{E}\left[\int |m_n(x) - m(x)|^2 \mathbb{P}_X(dx)\right] = \mathbb{E}\left[\int |m_n(x) - m(x)|^2 \mathbb{P}_X(dx) \cdot (\mathbb{1}_{A_n^c} + \mathbb{1}_{A_n})\right]$$

$$= \mathbb{E}\left[\int |m_n(x) - m(x)|^2 \mathbb{P}_X(dx) \mathbb{1}_{A_n^c}\right]$$

$$+ \mathbb{E}\left[\int |m_n(x) - m(x)|^2 \mathbb{P}_X(dx) \mathbb{1}_{A_n}\right]$$

$$=: T_{1,n} + T_{2,n}.$$
(3.5)

In den folgenden Abschnitten kümmern wir uns um die Abschätzung der Summanden  $T_{1,n}$  und  $T_{2,n}$ .

## **3.2.1** Abschätzung von $T_{1,n}$

Für zwei beliebige reelle Zahlen  $u, v \in \mathbb{R}$  folgt aus  $0 \le (u - v)^2 = u^2 + v^2 - 2uv$  die Ungleichung  $u^2 + v^2 \ge 2uv$  und damit schließlich:

$$|(u-v)^2| = |u^2 - 2uv + v^2| \le u^2 + 2uv + v^2 \le 2u^2 + 2v^2.$$
(3.6)

Wir wissen, dass aufgrund der Unabhängigkeit und identischen Verteiltheit der  $\mathbb{R}^d \times \mathbb{R}$ wertigen Zufallsvariablen  $(X,Y), (X_1,Y_1), (X_2,Y_2), \ldots$  die Zufallsvariablen  $Y_1, \ldots, Y_n$  ebenso wie die Zufallsvariablen  $X_1, \ldots, X_n$  unabhängig und identisch verteilt sind. Mit Ungleichung (3.6) und durch die Unabhängigkeit von  $A_n$  von den Zufallsvariablen  $X, X_1, \ldots, X_n$ 

erhalten wir für den ersten Summanden aus Gleichung (3.5):

$$T_{1,n} = \mathbb{E}\left[\int |m_n(x) - m(x)|^2 \mathbb{P}_X(dx) \mathbb{1}_{A_n^{\mathsf{c}}}\right] = \mathbb{E}\left[\int |m_n(x) - m(x)|^2 \mathbb{P}_X(dx)\right] \cdot \mathbb{P}(A_n^{\mathsf{c}})$$

$$\leq \mathbb{E}\left[\int 2m_n(x)^2 + 2m(x)^2 \mathbb{P}_X(dx)\right] \cdot \mathbb{P}(A_n^{\mathsf{c}})$$

$$\leq \mathbb{E}\left[\int 2\beta_n^2 + 2\beta_n^2 \mathbb{P}_X(dx)\right] \cdot \mathbb{P}(A_n^{\mathsf{c}}).$$
(3.7)

Da nach Voraussetzung supp( $\mathbb{P}_X$ ) beschränkt und definitionsgemäß immer abgeschlossen ist, wissen wir nach dem Satz von Heine-Borel (siehe z.B. [For16, Satz 5]), dass supp( $\mathbb{P}_X$ ) kompakt ist. Da m als (p,C)-glatte Funktion insbesondere stetig ist, wissen wir, dass sie auf einer kompakten Menge ein Maximum und Minimum annimmt. Dadurch können wir n so groß wählen, dass ohne Beschränkung der Allgemeinheit  $||m||_{\infty} \leq \beta_n$  gilt. Da wir nach Bemerkung 2.10 wissen, dass  $\tilde{m}_n$  beschränkt ist, ist  $m_n$  nach Konstruktion ebenfalls beschränkt. Wir haben daher bei Ungleichung (3.7) zudem verwendet, dass  $\max\{||m||_{\infty}, ||m_n||_{\infty}\} \leq \beta_n$  nach Definition von  $m_n$  gilt.

Im nächsten Schritt wollen wir die Wahrscheinlichkeit  $\mathbb{P}(A_n^c)$  abschätzen. Da die Zufallsvariablen  $Y_1, \ldots, Y_n$  unabhängig und identisch verteilt sind, folgern wir daraus mit der Linearität des Erwartungswerts  $\mathbb{E}\left[\frac{1}{n}\sum_{i=1}^n Y_i^2\right] = \mathbb{E}[Y^2]$ . Mithilfe der Monotonie der Wahrscheinlichkeitsfunktion  $\mathbb{P}$  und der Chebyshev-Ungleichung für  $\varepsilon = 1$  (siehe z.B. [Kle13, Satz 5.11]) erhalten wir:

$$\mathbb{P}(A_n^\mathsf{c}) = \mathbb{P}\left(\frac{1}{n}\sum_{i=1}^n Y_i^2 - \mathbb{E}\left[Y^2\right] \ge 1\right) \le \mathbb{P}\left(\left|\frac{1}{n}\sum_{i=1}^n Y_i^2 - \mathbb{E}\left[Y^2\right]\right| \ge 1\right) \le \mathbb{V}\left[\frac{1}{n}\sum_{i=1}^n Y_i^2\right].$$

Da die Zufallsvariablen  $Y_1, \dots, Y_n$  u.i.v. sind, folgt mit den Rechenregeln der Varianz:

$$\mathbb{P}(A_n^{\mathsf{c}}) \le \frac{n \cdot \mathbb{V}[Y^2]}{n^2} = \frac{\mathbb{V}[Y^2]}{n} = \frac{c_4}{n},\tag{3.8}$$

wobei  $c_4 := \mathbb{V}[Y^2]$  ist.

Mit Ungleichung (3.8) erhalten wir in Ungleichung (3.7):

$$\mathbb{E}\left[\int 2\beta_n^2 + 2\beta_n^2 \mathbb{P}_X(dx)\right] \cdot \mathbb{P}(A_n^{\mathsf{c}}) \le 4\beta_n^2 \cdot \mathbb{P}(A_n^{\mathsf{c}}) \stackrel{(3.8)}{\le} \frac{4 \cdot c_4 \cdot \beta_n^2}{n},$$

wobei wir bei der ersten Ungleichung verwendet haben, dass  $\beta_n$  deterministisch und die Wahrscheinlichkeit  $\mathbb{P}(X \in \text{supp}(\mathbb{P}_X)) = 1$  ist. Schließlich erhalten wir in Ungleichung (3.7), da für n hinreichend groß  $\log(n)^3 > 1$  gilt:

$$T_{1,n} \le \frac{4 \cdot c_4 \cdot \beta_n^2}{n} \le c_5 \cdot \log(n)^3 \cdot n^{-1} \le c_5 \cdot \log(n)^3 \cdot n^{-\frac{2p}{2p+d}},\tag{3.9}$$

mit einer von *n* unabhängigen Konstante  $c_5 := 4 \cdot c_4 \cdot c_1^2 > 0$ .

Damit haben wir  $T_{1,n}$  entsprechend der rechten Seite von Hauptsatz 3.1 abgeschätzt und wollen als Nächstes  $T_{2,n}$  abschätzen.

### **3.2.2** Abschätzung von $T_{2,n}$

In diesem Abschnitt wollen wir Lemma 3.4 für die Abschätzung von  $T_{2,n}$  anwenden. Sei dafür

$$\hat{m}_n := \mathbb{1}_{A_n} m_n + \mathbb{1}_{A_n^c} T_{\beta_n} g_n = T_{\beta_n} (\mathbb{1}_{A_n} \tilde{m}_n + \mathbb{1}_{A_n^c} g_n),$$

wobei  $g_n$  definiert ist über

$$g_n(x) := \sum_{\mathbf{i} \in [M_n]^d} \sum_{\substack{\mathbf{j} \in [q]^d \\ |\mathbf{j}|_1 \le q}} \frac{1}{\mathbf{j}!} \cdot \partial^{\mathbf{j}} m(x_{\mathbf{i}}) \cdot f_{\text{net},\mathbf{j},\mathbf{i}}(x)$$

 $mit x_{\mathbf{i}} \in [-a_n, a_n]^d.$ 

Durch unsere Definition von  $\hat{m}_n$  erhalten wir durch die Monotonie des Erwartungswerts und einer Abschätzung über den ganzen Raum:

$$T_{2,n} = \mathbb{E}\left[\int |m_n(x) - m(x)|^2 \mathbb{P}_X(dx) \mathbb{1}_{A_n}\right] = \mathbb{E}\left[\int |\hat{m}_n(x) - m(x)|^2 \mathbb{P}_X(dx) \mathbb{1}_{A_n}\right]$$

$$\leq \mathbb{E}\left[\int |\hat{m}_n(x) - m(x)|^2 \mathbb{P}_X(dx)\right].$$
(3.10)

Da m nach Voraussetzung (p,C)-glatt ist, existiert für alle  $\alpha=(\alpha_1,\ldots,\alpha_d)\in\mathbb{N}_0^d$  mit  $\sum_{j=1}^d\alpha_j=q$  die partielle Ableitung  $\partial^\alpha m$ . Insbesondere existiert ein  $z\in\mathbb{R}$  mit

$$z := \max_{\mathbf{i} \in [M_n]^d, \, \mathbf{j} \in [q]^d, \, |\mathbf{j}|_1 \le q} \left| \frac{1}{\mathbf{j}!} \cdot \partial^{\mathbf{j}} m(x_{\mathbf{i}}) \right| < \infty.$$
 (3.11)

Sei  $\mathscr{F}$  die Menge aller Funktionen aus Definition 1.1 mit Aktivierungsfunktion  $\sigma$ ,

$$L = s + 2 = \lceil \log_2(N+d) \rceil + 2$$
, mit  $k_1 = k_2 = \dots = k_L = 24 \cdot (N+d)$ 

und einer Konstante  $c_6 > 0$  so, dass der Betrag der Gewichte durch  $n^{c_6}$  beschränkt ist. Wir definieren

$$\mathscr{F}^{(J_n)} := \left\{ \sum_{j=1}^{J_n} a_j \cdot f_j : f_j \in \mathscr{F} \text{ und } \sum_{j=1}^{J_n} a_j^2 \le c_7 \cdot n \right\}$$

mit

$$J_n = (M_n + 1)^d \cdot \left| \left\{ \mathbf{j} \in [N]^d : |\mathbf{j}|_1 \le N \right\} \right|$$

und

$$c_7 := \max \left\{ \frac{1 + \mathbb{E}[Y^2]}{c_8}, c_2^d \cdot (N+1)^d \cdot z^2 \right\}. \tag{3.12}$$

Hierbei bezeichnet  $c_8$  die Konstante des Regularitätsterms aus Gleichung (2.15). Da wir uns in der nichtparametrischen Regressionsschätzung befinden, gilt unter anderem die Bedingung  $\mathbb{E}[Y^2] < \infty$  und daher ist  $c_7$  auch wohldefiniert. Weiterhin folgt wie in Kapitel 2.2 mit  $S = J_n$ ,

$$J_n = (M_n + 1)^d \cdot {N + d \choose d} \le (M_n + 1)^d \cdot (N + 1)^d.$$
(3.13)

Um Lemma 3.4 anwenden zu können, zeigen wir im Folgenden zunächst  $g_n, \tilde{m}_n \in \mathscr{F}^{(J_n)}$ . Da nach Konstruktion  $f_{\text{net},\mathbf{j},\mathbf{i}} \in \mathscr{F}$  ist, folgt mit Gleichung (3.12), dass für n hinreichend groß die Abschätzung

$$\sum_{\mathbf{i} \in [M_n]^d} \sum_{\substack{\mathbf{j} \in [q]^d \\ |\mathbf{j}|_1 \le q}} \left| \frac{1}{\mathbf{j}!} \cdot \partial^{\mathbf{j}} m(x_{\mathbf{i}}) \right|^2 \le (M_n + 1)^d (N + 1)^d \cdot z^2$$

$$\le (2c_2 \cdot n^{1/2p + d})^d \cdot (N + 1)^d \cdot z^2$$

$$\le c_7 \cdot n$$

gilt und damit  $g_n$  in  $\mathscr{F}^{(J_n)}$  liegt.

Wir zeigen nun  $\tilde{m}_n \in \mathscr{F}^{(J_n)}$ . Nach Gleichung (2.16) können wir unseren Schätzer  $\tilde{m}_n$  darstellen durch:

$$\tilde{m}_n(x) = \sum_{i=1}^{J_n} \hat{a}_j \cdot f_j$$

für geeignete  $f_j \in \mathscr{F}$  und  $\hat{a}_j$ , welche die Ungleichung

$$\frac{c_8}{n} \sum_{j=1}^{J_n} \hat{a}_j^2 = \frac{c_8}{n} \sum_{\mathbf{i} \in [M_n]^d} \sum_{\substack{\mathbf{j} \in [q]^d \\ |\mathbf{j}|_1 \le q}} a_{\mathbf{i},\mathbf{j}}^2 \le \frac{1}{n} \sum_{i=1}^n |Y_i - \tilde{m}_n(X_i)|^2 + \frac{c_8}{n} \sum_{\mathbf{i} \in [M_n]^d} \sum_{\substack{\mathbf{j} \in [q]^d \\ |\mathbf{j}|_1 \le q}} a_{\mathbf{i},\mathbf{j}}^2 \le \sum_{i=1}^n Y_i^2$$

erfüllen, wobei wir bei der letzten Ungleichung wie in Kapitel 2 die minimierende Eigenschaft von  $a_{i,j}$  verwendet haben und zum Schluss die Koeffizienten Null gesetzt haben. Da  $c_8 > 0$  ist, erhalten wir damit, dass die Koeffizienten  $\hat{a}_j$  die Eigenschaft

$$\sum_{j=1}^{J_n} \hat{a}_j^2 \le \frac{1}{n} \sum_{i=1}^n Y_i^2 \cdot \frac{n}{c_8}$$
 (3.14)

erfüllen müssen. Da Ungleichung (3.14) insbesondere auf dem Ereignis  $A_n$  gilt, folgt aus der Definition von  $A_n$  in Gleichung (3.4) und der Definition der Konstante  $c_7$  in

Gleichung (3.12):

$$\sum_{j=1}^{J_n} \hat{a}_j^2 \le \frac{1 + \mathbb{E}[Y^2]}{c_8} \cdot n \le c_7 \cdot n,$$

woraus durch  $f_i \in \mathscr{F}$  schließlich  $\tilde{m}_n \in \mathscr{F}^{(J_n)}$  folgt.

Als Nächstes wollen wir Ungleichung (3.2) aus Lemma 3.4 für  $\tilde{m}_n$  und  $g_n$  zeigen. Die Funktionen  $\tilde{m}_n$  und  $g_n$  unterscheiden sich in den Vorfaktoren von  $f_j$ . Die Koeffizienten  $a_{\mathbf{i},\mathbf{j}}$  von  $\tilde{m}_n$  haben wir durch Minimierung des Funktionals  $\varphi$  aus Lemma 2.9 erhalten. Nach Voraussetzung ist  $N \geq q$  und damit gilt dann insbesondere  $\{0,\ldots,q\} \subseteq \{0,\ldots,N\}$ , daher wurden bei der Minimierung des Funktionals unter anderem die Koeffizienten von  $g_n$  betrachtet. Daher erhalten wir:

$$\frac{1}{n} \sum_{i=1}^{n} |Y_{i} - \tilde{m}_{n}(X_{i})|^{2} \leq \frac{1}{n} \sum_{i=1}^{n} |Y_{i} - \tilde{m}_{n}(X_{i})|^{2} + \frac{c_{8}}{n} \cdot \sum_{\mathbf{i} \in [M_{n}]^{d}} \sum_{\mathbf{j} \in [N]^{d}} a_{\mathbf{i},\mathbf{j}}^{2}$$

$$\leq \frac{1}{n} \sum_{i=1}^{n} |Y_{i} - g_{n}(X_{i})|^{2} + \frac{c_{8}}{n} \cdot \sum_{\mathbf{i} \in [M_{n}]^{d}} \sum_{\mathbf{j} \in [q]^{d}} \left| \frac{1}{\mathbf{j}!} \cdot \partial^{\mathbf{j}} m(x_{\mathbf{i}}) \right|^{2}$$

$$\leq \frac{1}{n} \sum_{i=1}^{n} |Y_{i} - g_{n}(X_{i})|^{2} + c_{9} \cdot \frac{(M_{n} + 1)^{d}}{n}, \tag{3.15}$$

mit  $c_9 = c_8 \cdot (q+1)^d \cdot z^2$  als Konstante, die unabhängig von n ist. Wir erhalten damit für  $\overline{m}_n \in \{\tilde{m}_n, g_n\} \subseteq \mathscr{F}^{(J_n)}$ :

$$\frac{1}{n}\sum_{i=1}^{n}|Y_i-\overline{m}_n(X_i)|^2 \le \frac{1}{n}\sum_{i=1}^{n}|Y_i-g_n(X_i)|^2 + c_9 \cdot \frac{(M_n+1)^d}{n},\tag{3.16}$$

da für  $\overline{m}_n = g_n$  die Ungleichung unmittelbar folgt. Da  $g_n$  nach Definition deterministisch, damit also unabhängig von  $(X_1, Y_1), \ldots, (X_n, Y_n)$  ist, sind mit der Abschätzung (3.16) für  $\hat{m}_n = T_{\beta_n} \overline{m}_n$  mit  $\overline{m}_n \in \mathscr{F}^{(J_n)}$  und dem *Penalty Term*  $\operatorname{pen}_n(g_n) = c_9 \cdot \frac{(M_n + 1)^d}{n} > 0$  die

Voraussetzungen für Lemma 3.4 erfüllt. Wir erhalten durch dessen Anwendung:

$$\mathbb{E}\left[\int |\hat{m}_{n}(x) - m(x)|^{2} \mathbb{P}_{X}(dx)\right]$$

$$\leq \frac{1}{n} \cdot c_{9} \cdot \log(n)^{2} \cdot \left(\log\left(\sup_{X_{1}^{n} \in (\operatorname{supp}(X))^{n}} \mathcal{N}_{1}\left(\frac{1}{n \cdot \beta_{n}}, \mathcal{F}^{(J_{n})}, x_{1}^{n}\right)\right) + 1\right)$$

$$+ 2 \cdot \mathbb{E}\left[\int |g_{n}(x) - m(x)|^{2} \mathbb{P}_{X}(dx) + c_{9} \cdot \frac{(M_{n} + 1)^{d}}{n}\right]$$

$$= \frac{1}{n} \cdot c_{9} \cdot \log(n)^{2} \cdot \left(\log\left(\sup_{X_{1}^{n} \in (\operatorname{supp}(X))^{n}} \mathcal{N}_{1}\left(\frac{1}{n \cdot \beta_{n}}, \mathcal{F}^{(J_{n})}, x_{1}^{n}\right)\right) + 1\right)$$

$$+ 2\int |g_{n}(x) - m(x)|^{2} \mathbb{P}_{X}(dx) + 2 \cdot c_{9} \cdot \frac{(M_{n} + 1)^{d}}{n}$$

$$=: T_{2,A,n} + 2 \cdot T_{2,B,n} + 2 \cdot c_{9} \cdot \frac{(M_{n} + 1)^{d}}{n},$$
(3.17)

wobei wir bei der letzten Gleichheit verwendet haben, dass der letzte Summand deterministisch ist. Zudem wissen wir, dass  $c_9$  unabhängig von n ist und n > 1, da wir n hinreichend groß wählen. Des Weiteren erhalten wir, da für n hinreichend groß  $\log(n)^3 > 1$  gilt:

$$c_9 \cdot \frac{(M_n + 1)^d}{n} \le c_{10} \cdot \frac{n^{\frac{d}{2p+d}}}{n} \le c_{10} \cdot \log(n)^3 \cdot n^{-\frac{2p}{2p+d}}, \tag{3.18}$$

mit einer von n unabhängigen Konstanten  $c_{10} := c_9 \cdot (2c_2)^d > 0$ . Mithilfe von Ungleichung (3.18) erhalten wir nun in Gleichung (3.17):

$$\mathbb{E}\left[\int |\hat{m}_n(x) - m(x)|^2 \mathbb{P}_X(dx)\right] \le T_{2,A,n} + 2 \cdot T_{2,B,n} + 2 \cdot c_{10} \cdot \log(n)^3 \cdot n^{-\frac{2p}{2p+d}}.$$

Wir wollen im Folgenden die Summanden  $T_{2,A,n}$  und  $T_{2,B,n}$  weiter abschätzen.

#### **3.2.2.1** Abschätzung von $T_{2,A,n}$

Als Erstes überprüfen wir die Voraussetzungen von Lemma 3.5, um damit dann den Summanden, welcher die Überdeckungszahl  $\mathcal{N}_1$  enthält, in Ungleichung (3.17) weiter abzuschätzen. Nach Voraussetzung ist  $\beta_n = c_1 \cdot \log(n)$  und  $a_n = (\log n)^{1/(6(N+d))} > 0$  für hinreichend großes n. Nach Voraussetzung sind zudem  $d, N, J_n \in \mathbb{N}$  und es gilt nach Gleichung (3.13):

$$J_n \le (M_n + 1)^d \cdot (N + 1)^d \le n^{\gamma},$$

für hinreichend großes n und Konstante  $\gamma > 0$ . Wir betrachten hier den logistischen Squasher  $\sigma$  welcher nach Lemma 1.5 insbesondere 2-zulässig ist. Da die hier betrachtete Menge

von Funktionen  $\mathscr{F}^{(J_n)}$  identisch mit der aus Lemma 3.5 ist, sind nun alle Voraussetzungen für Lemma 3.5 erfüllt. Nach Voraussetzung wissen wir, dass  $\operatorname{supp}(\mathbb{P}_X)$  beschränkt ist und wir können n so groß wählen, dass wir ohne Beschränkung der Allgemeinheit annehmen können, dass  $\operatorname{supp}(\mathbb{P}_X) = \{x \in \mathbb{R}^d \mid \forall \varepsilon > 0 : \mathbb{P}_X(S_{\varepsilon}(x)) > 0\} \subseteq [-a_n, a_n]^d$  ist, mit  $S_{\varepsilon}$  als  $\varepsilon$ -Umgebung um  $x \in \mathbb{R}^d$ . In der nächsten Ungleichungskette bezeichnen wir mit c die Konstante aus Lemma 3.5. Wir erhalten damit durch Lemma 3.5 für hinreichend großes n:

$$T_{2,A,n} = \frac{1}{n} \cdot c_9 \cdot \log(n)^2 \cdot \left( \log \left( \sup_{x_1^n \in (\text{supp}(X))^n} \mathcal{N}_1 \left( \frac{1}{n \cdot \beta_n}, \mathcal{F}^{(J_n)}, x_1^n \right) \right) + 1 \right)$$

$$\leq \frac{1}{n} \cdot c_9 \cdot \log(n)^2 \cdot \left( \left( c \cdot \log(n) \cdot J_n \right) + 1 \right)$$

$$\leq \frac{1}{n} \cdot c_9 \cdot \log(n)^2 \cdot \left( 2 \cdot c \cdot \log(n) \cdot J_n \right)$$

$$\leq c_{11} \cdot \frac{1}{n} \cdot \log(n)^3 \cdot J_n,$$

$$(3.19)$$

wobei  $c_{11} := 2c_9 \cdot c$  eine von n unabhängige Konstante ist. Durch Einsetzen der Definition von  $M_n$  erhalten wir für hinreichend großes n

$$(M_n+1)^d \le (c_2 \cdot n^{\frac{1}{2p+d}}+2)^d \le 2^d \cdot c_2^d \cdot n^{\frac{d}{2p+d}}$$

und damit schließlich für Ungleichung (3.19):

$$c_{11} \cdot \frac{1}{n} \cdot \log(n)^{3} \cdot J_{n} \leq c_{11} \cdot (N+1)^{d} \cdot 2^{d} \cdot c_{2}^{d} \cdot \log(n)^{3} \cdot n^{-\frac{2p}{2p+d}}$$

$$= c_{12} \cdot \log(n)^{3} \cdot n^{-\frac{2p}{2p+d}},$$
(3.20)

mit einer von n unabhängigen Konstante  $c_{12} := c_{11} \cdot (N+1)^d \cdot 2^d \cdot c_2^d > 0$ . Damit haben wir den Summanden aus Ungleichung (3.17), welcher die Überdeckungszahl  $\mathcal{N}_1$  enthält, abschließend passend zum Endresultat abgeschätzt.

#### 3.2.2.2 Abschätzung von $T_{2,B,n}$

Sei

$$P_{m,n}(x) := \sum_{\mathbf{i} \in [M_n]^d} \sum_{\substack{\mathbf{j} \in [q]^d \\ |\mathbf{j}|_1 \le q}} \frac{1}{\mathbf{j}!} \cdot \partial^{\mathbf{j}} m(x_{\mathbf{i}}) \cdot (x - x_{\mathbf{i}})^{\mathbf{j}} \prod_{j=1}^d \left( 1 - \frac{M_n}{2a_n} \cdot \left| x^{(j)} - x_{\mathbf{i}}^{(j)} \right| \right)_+$$

wie in Gleichung (2.3) eine lokale Spline-Interpolation von Taylorpolynomen von m. Mit Ungleichung (3.6) zusammen mit einer Nulladdition und der Linearität des Integrals

erhalten wir:

$$\begin{split} T_{2,B,n} &= \int |g_n(x) - m(x)|^2 \mathbb{P}_X(dx) \\ &= \int |g_n(x) - P_{m,n}(x) + P_{m,n}(x) - m(x)|^2 \mathbb{P}_X(dx) \\ &\leq \int 2|g_n(x) - P_{m,n}(x)|^2 \mathbb{P}_X(dx) + \int 2|P_{m,n}(x) - m(x)|^2 \mathbb{P}_X(dx). \end{split}$$

Aus der Supremumseigenschaft folgt weiter

$$\int \sup_{x \in [-a_{n}, a_{n}]^{d}} |g_{n}(x) - P_{m,n}(x)|^{2} \mathbb{P}_{X}(dx) + \int \sup_{x \in [-a_{n}, a_{n}]^{d}} |P_{m,n}(x) - m(x)|^{2} \mathbb{P}_{X}(dx) 
= \sup_{x \in [-a_{n}, a_{n}]^{d}} |g_{n}(x) - P_{m,n}(x)|^{2} + \sup_{x \in [-a_{n}, a_{n}]^{d}} |P_{m,n}(x) - m(x)|^{2} 
= \sup_{x \in [-a_{n}, a_{n}]^{d}} T_{2,B_{1},n}^{2}(x) + \sup_{x \in [-a_{n}, a_{n}]^{d}} T_{2,B_{2},n}^{2}(x),$$
(3.21)

wobei wir im ersten Schritt supp $(\mathbb{P}_X) \subseteq [-a_n, a_n]^d$  und  $\mathbb{P}(X \in \text{supp}(\mathbb{P}_X)) = 1$  verwendet haben. Damit folgt schließlich:

$$T_{2,B,n} \le 2 \cdot \Big( \sup_{x \in [-a_n,a_n]^d} T_{2,B_1,n}^2(x) + \sup_{x \in [-a_n,a_n]^d} T_{2,B_2,n}^2(x) \Big).$$

Um die letzten beiden Summanden der Gleichung (3.21) weiter abzuschätzen, möchten wir Lemma 2.8 anwenden.

#### **Abschätzung von** $T_{2,B_1,n}$

Wir überprüfen, ob für Lemma 2.8 alle Voraussetzungen erfüllt sind. Wir betrachten wieder den logistischen Squasher  $\sigma$  aus Gleichung 1.1, welcher nach Lemma 1.5 insbesondere 2-zulässig ist. Zudem ist für hinreichend großes n die Bedingung

$$R_{n} \geq \max \left\{ \frac{\|\sigma''\|_{\infty} \cdot (M_{n}+1)}{2 \cdot |\sigma'(t_{\sigma})|}, \frac{9 \cdot \|\sigma''\|_{\infty} \cdot a_{n}}{|\sigma'(t_{\sigma})|}, \frac{20 \cdot \|\sigma'''\|_{\infty}}{3 \cdot |\sigma''(t_{\sigma})|} \cdot 3^{3 \cdot 3^{s}} \cdot a_{n}^{3 \cdot 2^{s}}, \frac{1}{3} \cdot \frac{1}{$$

erfüllt. Daher gelten für unser neuronales Netz aus Definition 2.7 mit  $x_i \in [-a_n, a_n]^d$  alle Voraussetzungen für Lemma 2.8. Wir erhalten damit für  $x \in [-a_n, a_n]^d$  und n hinreichend

groß:

$$\left| f_{\text{net},\mathbf{j},\mathbf{i}}(x) - (x - x_{\mathbf{i}})^{\mathbf{j}} \cdot \prod_{j=1}^{d} \left( 1 - \frac{M_{n}}{2a_{n}} \cdot |x^{(j)} - x_{\mathbf{i}}^{(j)}| \right)_{+} \right| \leq c \cdot 3^{3 \cdot 3^{s}} \cdot a_{n}^{3 \cdot 2^{s}} \cdot M_{n}^{3} \cdot \frac{1}{R_{n}}$$

$$\leq c \cdot a_{n}^{3 \cdot (N+d) \cdot 2} \cdot \frac{M_{n}^{3}}{R_{n}}$$

$$= c \cdot \log(n) \cdot \frac{M_{n}^{3}}{R_{n}},$$
(3.22)

wobei wir in c alle von n unabhängigen Konstanten zusammenfassen. Diese Konstante enthält unter anderem die Konstante aus Lemma 2.8. Des Weiteren haben wir verwendet, dass für hinreichend großes n die Ungleichung

$$a_n^{2\lceil \log_2(N+d) \rceil} \le a_n^{2\log_2(N+d)+1} = a_n^{(N+d)\cdot 2}$$

gilt. Im letzten Schritt haben wir in Ungleichung (3.22) die Definition von  $a_n$  eingesetzt. Mit Ungleichung (3.22) und Gleichung (3.11) erhalten wir nun:

$$T_{2,B_{1},n}(x) = |g_{n}(x) - P_{m,n}(x)|$$

$$= \left| \sum_{\mathbf{i} \in [M_{n}]^{d}} \sum_{\substack{\mathbf{j} \in [q]^{d} \\ |\mathbf{j}|_{1} \le q}} \frac{1}{\mathbf{j}!} \cdot \partial^{\mathbf{j}} m(x_{\mathbf{i}}) \right| \cdot \left| f_{\text{net},\mathbf{j},\mathbf{i}}(x) - (x - x_{\mathbf{i}})^{\mathbf{j}} \cdot \prod_{j=1}^{d} \left( 1 - \frac{M_{n}}{2a_{n}} \cdot \left| x^{(j)} - x_{\mathbf{i}}^{(j)} \right| \right)_{+} \right|$$

$$\leq (M_{n} + 1)^{d} \cdot (q + 1)^{d} \cdot z \cdot \left| f_{\text{net},\mathbf{j},\mathbf{i}}(x) - (x - x_{\mathbf{i}})^{\mathbf{j}} \cdot \prod_{j=1}^{d} \left( 1 - \frac{M_{n}}{2a_{n}} \cdot \left| x^{(j)} - x_{\mathbf{i}}^{(j)} \right| \right)_{+} \right|$$

$$\leq (M_{n} + 1)^{d} \cdot c \cdot \log(n) \cdot \frac{M_{n}^{3}}{R_{n}},$$

$$(3.23)$$

wobei wir in c alle von n unabhängigen Konstanten zusammenfassen, was insbesondere die Konstante c aus Lemma 2.8 einschließt. Durch Einsetzen der Definitionen von  $M_n$  und  $R_n$  erhalten wir für n hinreichend groß:

$$\frac{(M_n+1)^{8d}}{R_n^2} \le c \cdot \frac{n^{\frac{8d}{2p+d}}}{n^{2d+8}} = c \cdot n^{\frac{8d}{2p+d}-2d-8} \le c \cdot n^{\frac{8d}{2p+d}-8\frac{2p+d}{2p+d}} = c \cdot n^{-\frac{16p}{2p+d}} \le c \cdot n^{-\frac{2p}{2p+d}},$$

wobei in dieser Ungleichungskette  $c=(2c_2)^{8d}$  gilt. Bei der letzten Ungleichung haben wir verwendet, dass für p>0 auch  $\frac{16p}{2p+d}>\frac{2p}{2p+d}$  gilt. Damit erhalten wir für alle  $x\in[-a_n,a_n]^d$ :

$$|g_{n}(x) - P_{m,n}(x)|^{2} \leq \left( (M_{n} + 1)^{d} \cdot c \cdot \log(n) \cdot \frac{M_{n}^{3}}{R_{n}} \right)^{2}$$

$$\leq c^{2} \cdot (M_{n} + 1)^{2d} \cdot \log(n)^{2} \cdot \frac{M_{n}^{6}}{R_{n}^{2}}$$

$$\leq c^{2} \cdot (M_{n} + 1)^{2d} \cdot \log(n)^{2} \cdot \frac{(M_{n} + 1)^{6d}}{R_{n}^{2}}$$

$$\leq c^{2} \cdot \log(n)^{2} \cdot \frac{(M_{n} + 1)^{8d}}{R_{n}^{2}}$$

$$\leq c_{13} \cdot n^{-\frac{2p}{2p+d}} \cdot \log(n)^{3},$$
(3.24)

mit  $c_{13} = c^2 \cdot (2c_2)^{8d} > 0$  und unabhängig von n ist. Bei der letzten Ungleichung haben wir verwendet, dass  $\log(n)^2 < \log(n)^3$  für n hinreichend groß gilt. Wenden wir schließlich noch das Supremum über  $x \in [-a_n, a_n]^d$  auf Ungleichung(3.24) an, erhalten wir wie verlangt eine Abschätzung für  $\sup_{x \in [-a_n, a_n]^d} T_{2,B_1,n}(x)^2$ .

#### Abschätzung von $T_{2,B_2,n}$

Da nach Konstruktion  $a_n > 0$ , m(p,C)-glatt und  $P_{m,n}(x)$  nach Lemma 2.5 eine Spline-Interpolation von Taylorpolynomen von m ist, erhalten wir mit Lemma 2.6 für  $x \in [-a_n, a_n]^d$ :

$$T_{2,B_2,n}(x) = |P_{m,n}(x) - m(x)| \le c_{14} \cdot \frac{a_n^p}{M_n^p} \le c_{14} \cdot \log(n) \cdot \frac{1}{M_n^p}. \tag{3.25}$$

In dieser Ungleichung ist  $c_{14} > 0$  eine von n unabhängige Konstante aus Lemma 2.6 und wir haben zudem verwendet, dass:

$$a_n^p = a_n^{q+s} \le a_n^{N+d} \le a_n^{6 \cdot (N+d)} = \log(n),$$

für p = q + s für hinreichend großes n gilt, da nach Voraussetzung  $N \ge q$  und  $d \ge s$  mit  $s \in (0,1]$  ist. Durch Quadrieren bleibt die Ungleichung (3.25) auch erhalten und, da in der Ungleichung die rechte Seite unabhängig von x ist, gilt die Ungleichung ebenfalls für das Supremum über  $x \in [-a_n, a_n]^d$ . Für n hinreichend groß, erhalten wir durch Einsetzen der Definition von  $M_n$ :

$$\sup_{x \in [-a_{n}, a_{n}]^{d}} |P_{m,n}(x) - m(x)|^{2} \leq \left(c_{14} \cdot \log(n) \cdot \frac{1}{M_{n}^{p}}\right)^{2}$$

$$\leq c_{14}^{2} \cdot \log(n)^{2} \cdot c_{2}^{-2p} \cdot n^{-\frac{2p}{2p+d}}$$

$$\leq \left(\frac{c_{14}}{c_{2}^{p}}\right)^{2} \cdot \log(n)^{3} \cdot n^{-\frac{2p}{2p+d}}.$$
(3.26)

Hiermit haben wir  $\sup_{x \in [-a_n, a_n]^d} T_{2,B_2,n}(x)^2$  aus Ungleichung (3.21) abgeschätzt. Dadurch wurde schließlich auch  $T_{2,B,n}$  und damit auch  $T_{2,n}$  abgeschätzt.

Mit der Abschätzung von  $T_{1,n}$  haben wir nun alle Summanden von Ungleichung (3.5) abgeschätzt und erhalten schließlich:

$$\mathbb{E}\left[\int |m_n(x)-m(x)|^2 \mathbb{P}_X(dx)\right] \leq c_{\text{fin}} \cdot \log(n)^3 \cdot n^{-\frac{2p}{2p+d}},$$

mit

$$c_{\text{fin}} = c_5 + 2 \cdot c_{10} + c_{12} + 2 \cdot \left( 2 \cdot \left( \left( \frac{c_{14}}{c_2^p} \right)^2 + c_{13} \right) \right),$$

wobei  $c_{\rm fin}$  als Summe nichtnegativer und positiver Konstanten, die unabhängig von n sind, nichtnegativ und unabhängig von n ist. Damit haben wir unser Hauptresultat bewiesen.  $\square$ 

# **Kapitel 4**

# Anwendungsbeispiel auf simulierte Daten

In diesem Kapitel untersuchen wir die Leistung unseres Neuronale-Netze-Regressionsschätzers aus Kapitel 2 anhand von Anwendungsbeispielen auf simulierte Daten. Der Schätzer und die Beispiele wurden in Python [VRDJ95, Version 3.7.3] implementiert (vgl. Appendix 4.2). Im ersten Abschnitt führen wir eine Parameterstudie für unseren Neuronale-Netze-Regressionsschätzer durch. Im zweiten Abschnitt quantifizieren wir im Rahmen eines Simulationsbeispiels die Leistung unseres Neuronale-Netze-Regressionsschätzers, indem wir den empirischen  $L_2$ -Fehler dieses Schätzers und weiterer Standardschätzer berechnen und vergleichen.

## 4.1 Parameterstudie

In diesem Abschnitt führen wir für unseren Neuronale-Netze-Regressionsschätzer  $new\_neural\_network\_estimater (m_{n,1})$  eine Parameterstudie durch, um den Einfluss der Parameter auf den Schätzer zu überprüfen. Wir haben als Regressionsfunktion  $m: [-3,3] \to \mathbb{R}$  mit

$$m(x) = \sin\left(\frac{\pi}{2} \cdot x^2\right)$$

gewählt. Diese Funktion stellt als Potenzreihe und durch ihr starkes Schwingen für Regressionsschätzer und insbesondere für unseren Neuronale-Netze-Schätzer, welcher Polynome approximiert, eine Herausforderung dar. Wir erzeugen eine Stichprobe von 1000 unabhängigen auf dem Intervall [-3,3] gleichverteilten Zufallsvariablen und teilen diese Stichprobe in ein Learning-Sample der Größe 800 und ein Testing-Sample der Größe 200 auf. In der Parameterstudie verändern wir bei unserem Neuronale-Netze-Schätzer den Parameter N, welcher den maximalen Grad der Polynome bestimmt, welche wir mit

was mach ich mit dem Sample? dieses Y aus Teil 2 brauch ich auch schon ...

 $f_{\text{net},\mathbf{j},\mathbf{i}}$  schätzen möchten und die ihrerseits die Regressionsfunktion approximieren sollen (vgl. Lemma 2.8). Zudem verändern wir den Parameter M, welcher den Abstand zwischen zwei benachbarten Gitterpunkten steuert. Durch wachsendes M verfeinert sich das Gitter, welches wir über das Intervall [-3,3] legen und wir vermuten, dass sich dadurch die Approximationsgüte verbessert (vgl. Lemma 2.6).

Um die Vergleichbarkeit der Ergebnisse sicherzustellen, erzeugen wir mit einem *Seed* eine reproduzierbare Realisierung der Zufallsvariablen. In der Parameterstudie betrachten wir den Neuronale-Netze-Regressionsschätzer mit Parametern  $d=1, q=2, R=10^6, a=3, M \in \{2,4,8,9,16\}$  und  $N \in \{2,4,8,9,16\}$ . Für die Wahl der Parameter haben wir uns an [BKK19] orientiert.

In Abbildung 4.1 erkennen wir die Approximation der Regressionsfunktion m auf dem Testing-Sample durch unseren Neuronale-Netze-Regressionsschätzer, wobei wir M=2und  $N \in \{2,4,8,16\}$  wählen. Visuell erkennen wir, dass sich die Approximation mit steigendem N verbessert. In Abbildung 4.2 erkennen wir die Approximation der Regressionsfunktion m auf dem Testing-Sample durch unseren Neuronale-Netze-Regressionsschätzer, wobei wir N = 2 und  $M \in \{2,4,8,16\}$  wählen. Visuell erkennen wir, dass sich die Approximation mit steigendem M verbessert. In Abbildung 4.3 haben wir N = 16 fest gewählt und betrachten variables  $M \in \{2,4,8,16\}$ . Visuell erkennen wir, dass sich die Approximation mit steigendem M verbessert. In Abbildung 4.4 haben wir M = 16 fest gewählt und betrachten variables  $N \in \{2,4,8,16\}$ . Visuell erkennen wir, dass sich die Approximation mit steigendem N verbessert. In Abbildung 4.5 betrachten wir  $M \in \{2,4,8,9,16\}$  und  $N \in \{2,4,8,9,16\}$ , wobei wir immer Kombinationen von M und N betrachten, sodass  $(M+1)\cdot(N+1)\approx 51$  ergibt. Visuell erkennen wir, dass die Approximation besser ist, wenn einer der Parameter sehr groß ist, als wenn der kleiner Wert etwas höher und dafür der höhere etwas kleiner wird. Es ist zu beachten, dass die Approximation durch den Schätzer besser wird je höher die Parameter sind. Hohe Parameter führen aber auch zu einem höheren Ressourcenbedarf wie z.B. der Rechenzeit. Es ist daher auch interessant zu wissen, ob der Schätzer auch bei geringer Parameterwahl akzeptable Ergebnisse liefert.

Sinn von Test und Sätze anders aufschreiben

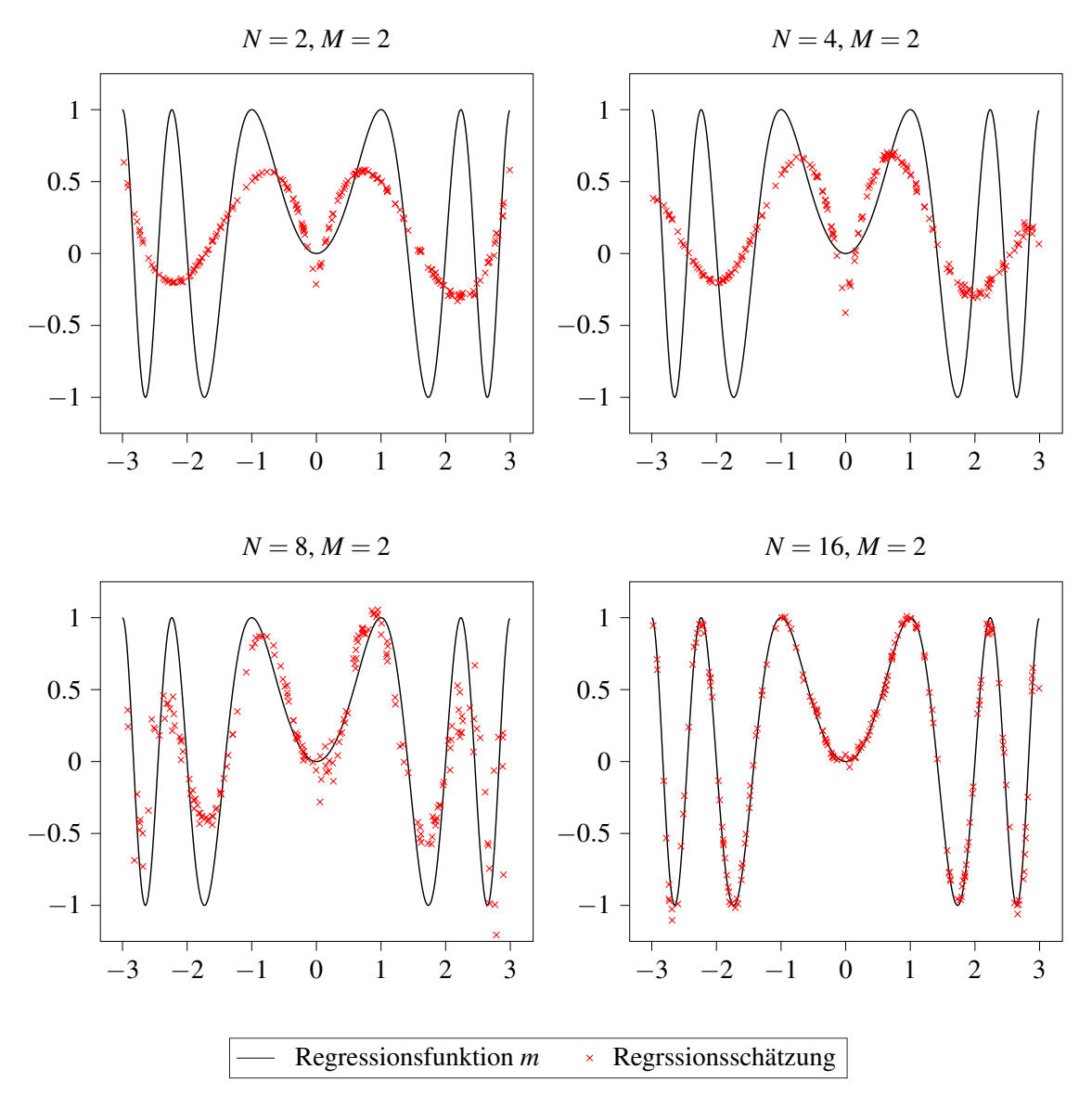


Abbildung 4.1: Approximation der Regressionsfunktion  $m(x)=\sin\left(\frac{\pi}{2}\cdot x^2\right)$  durch unseren Neuronale-Netze-Regressionsschätzer mit Parametern  $d=1, q=2, R=10^6, a=3, M=2$  und  $N\in\{2,4,8,16\}$ .

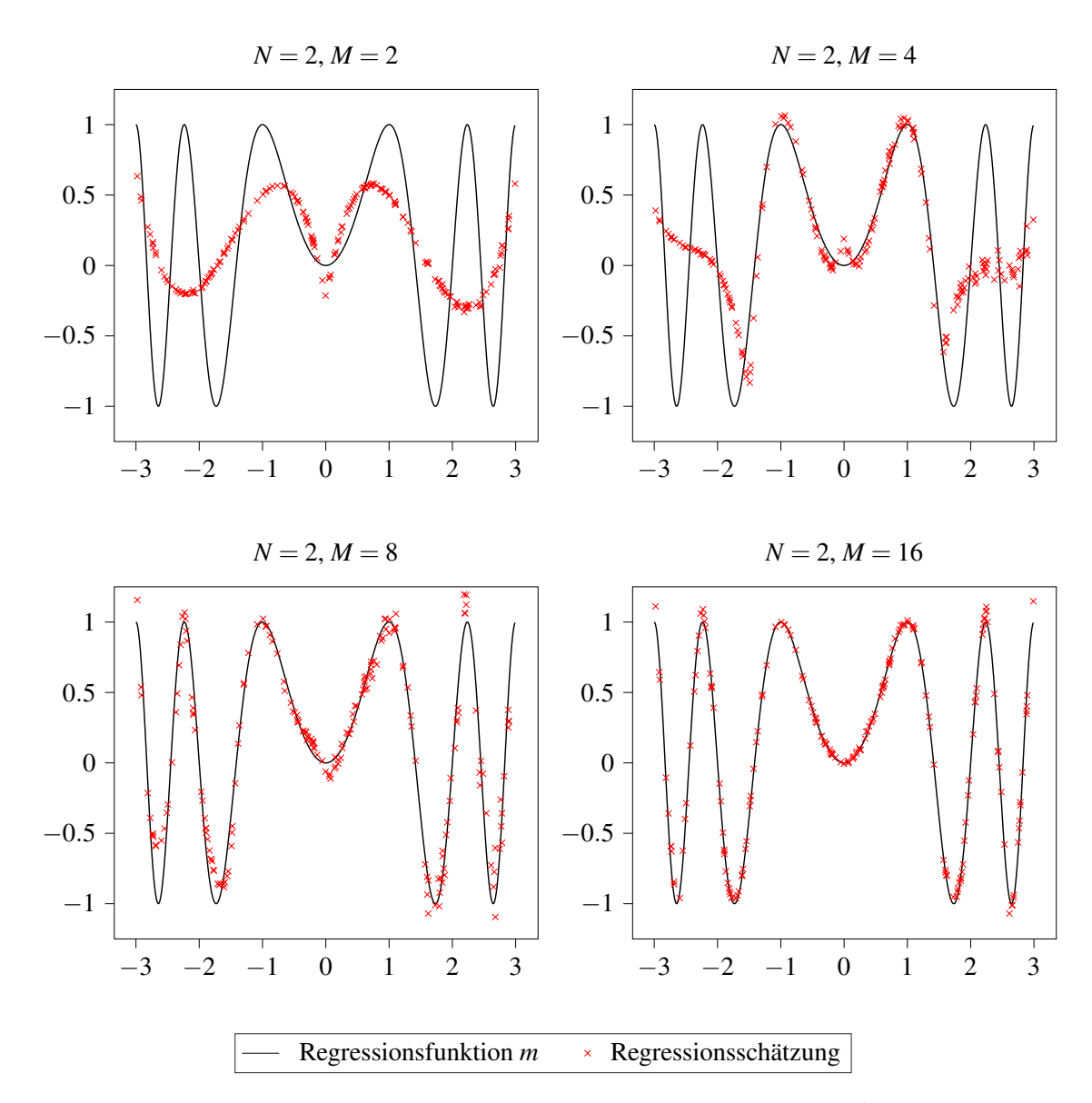


Abbildung 4.2: Approximation der Regressionsfunktion  $m(x)=\sin\left(\frac{\pi}{2}\cdot x^2\right)$  durch unseren Neuronale-Netze-Regressionsschätzer mit Parametern  $d=1, q=2, R=10^6, a=3, N=2$  und  $M\in\{2,4,8,16\}$ .

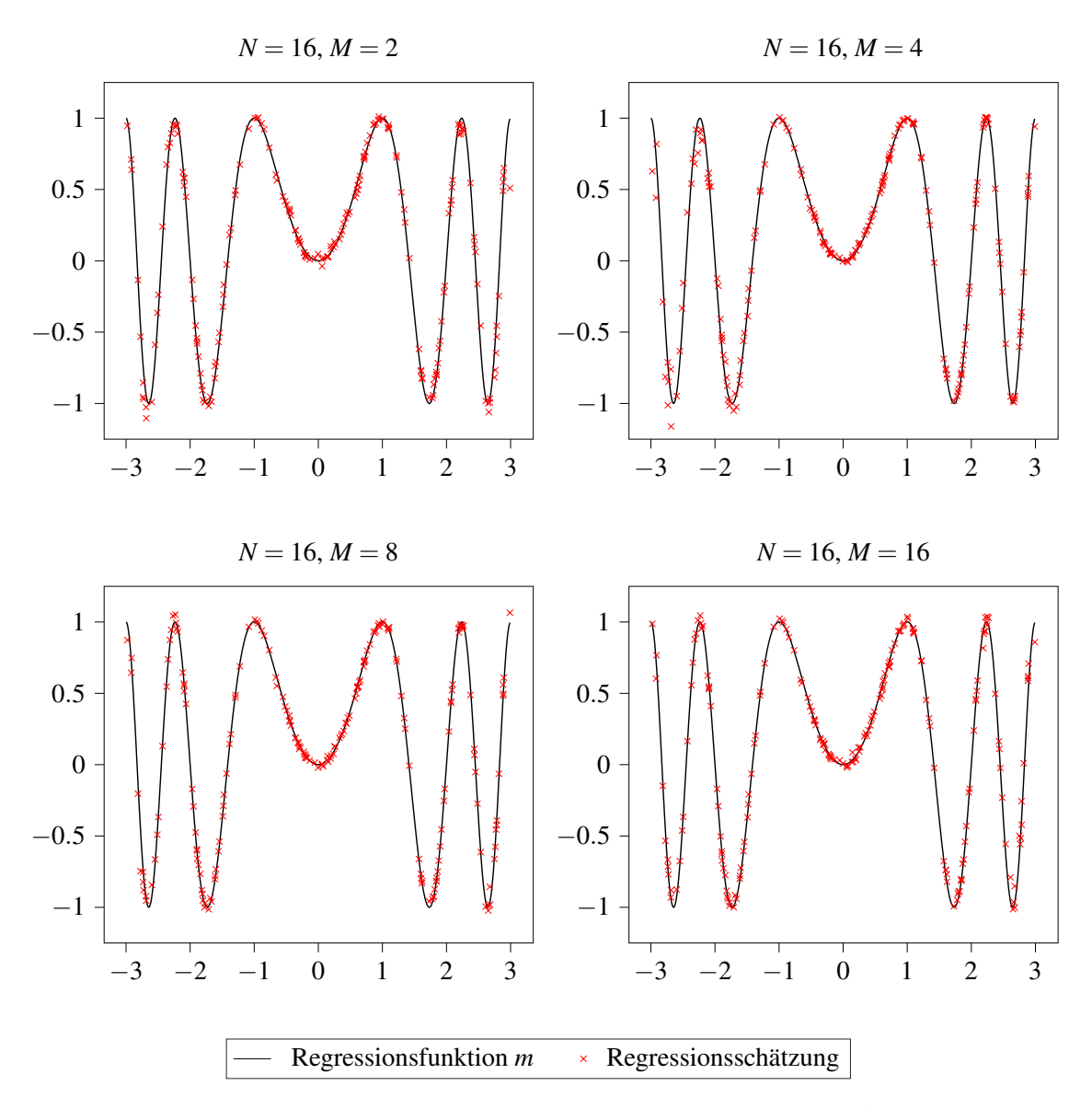


Abbildung 4.3: Approximation der Regressionsfunktion  $m(x)=\sin\left(\frac{\pi}{2}\cdot x^2\right)$  durch unseren Neuronale-Netze-Regressionsschätzer mit Parametern  $d=1,\ q=2,\ R=10^6,\ a=3,\ N=16$  und  $M\in\{2,4,8,16\}$ .

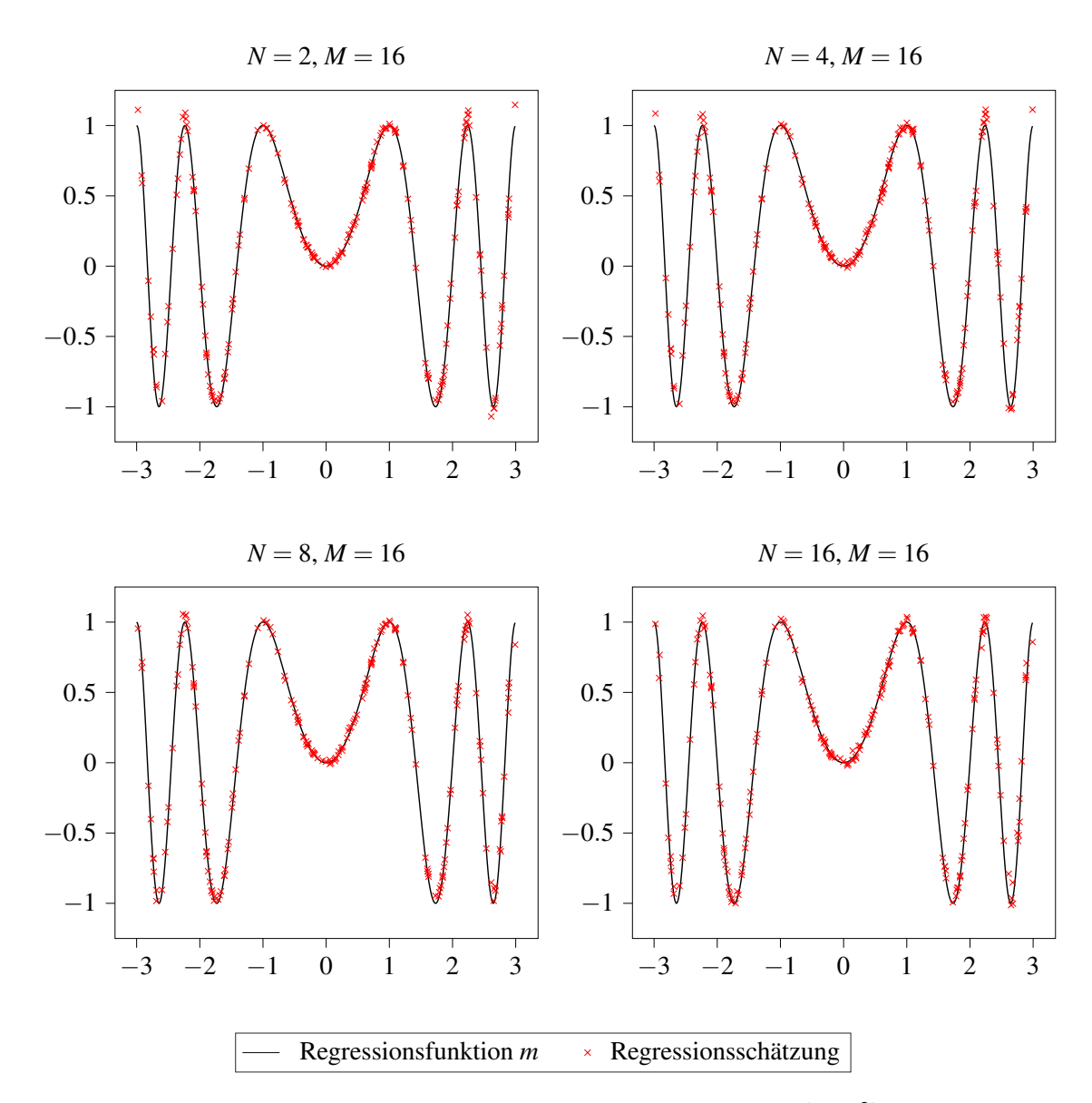


Abbildung 4.4: Approximation der Regressionsfunktion  $m(x)=\sin\left(\frac{\pi}{2}\cdot x^2\right)$  durch unseren Neuronale-Netze-Regressionsschätzer mit Parametern  $d=1,\ q=2,\ R=10^6,\ a=3,\ M=16$  und  $N\in\{2,4,8,16\}$ .

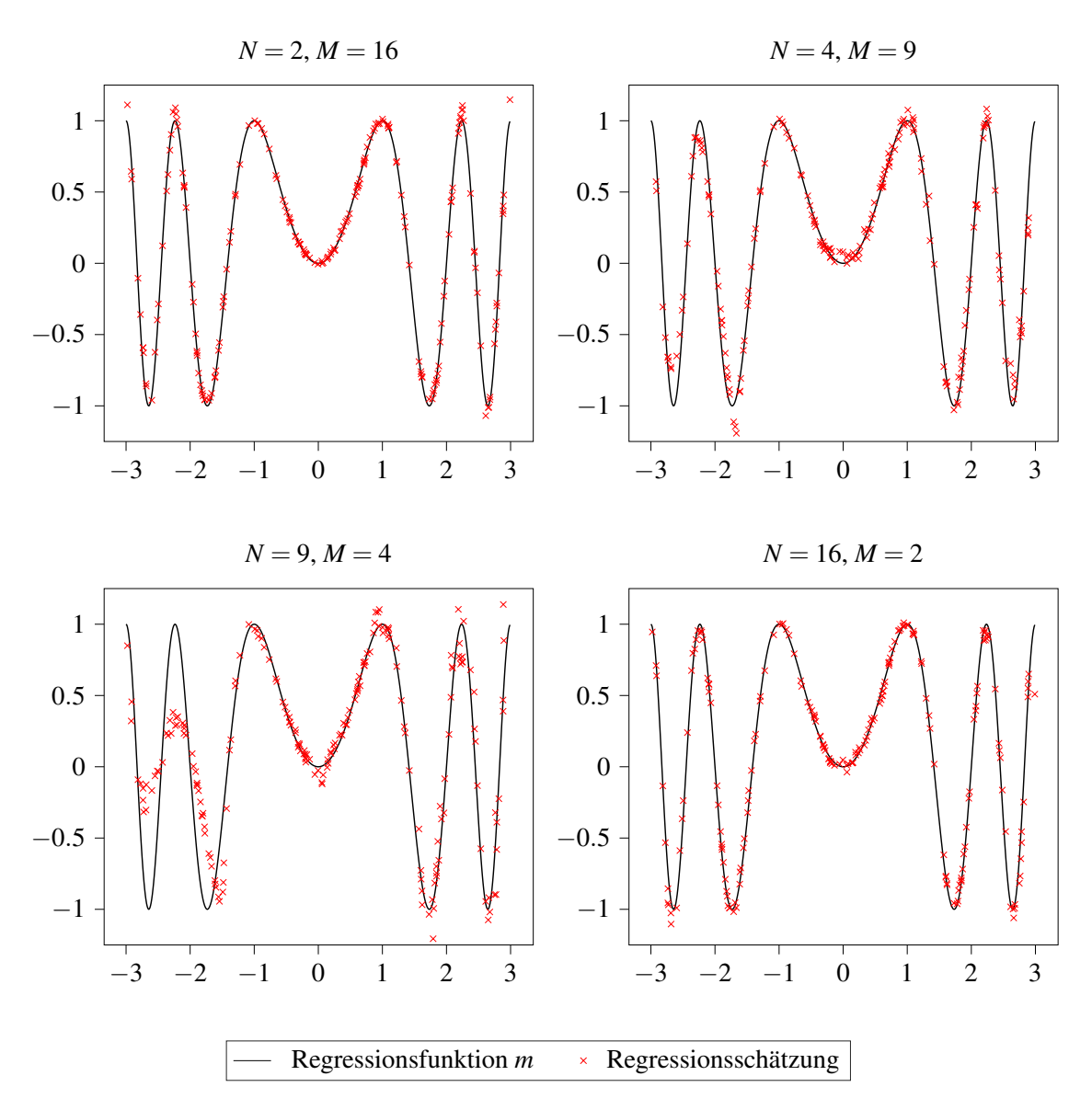


Abbildung 4.5: Approximation der Regressionsfunktion  $m(x) = \sin\left(\frac{\pi}{2} \cdot x^2\right)$  durch unseren Neuronale-Netze-Regressionsschätzer mit Parametern  $d=1,\ q=2,\ R=10^6,\ a=3,\ M\in\{2,4,8,9,16\}$  und  $N\in\{2,4,8,9,16\}$ , wobei wir immer Kombinationen von M und N betrachten, sodass  $(M+1)\cdot(N+1)\approx 51$  gilt.

## **4.2** Vergleich des empirischen $L_2$ -Fehlers

In diesem Abschnitt führen wir nun einen Vergleich des empirischen  $L_2$ -Fehlers zwischen dem in Abschnitt 4.1 vorgestellten Regressionsschätzer und den Standardschätzern durch, die im Verlauf dieses Abschnitts vorgestellt werden. Die simulierten Daten, welche wir verwenden werden, sehen wie folgt aus: Wir wählen X gleichverteilt auf  $[-2,2]^d$ , wobei  $d \in \{1,2\}$  die Dimension des Inputs ist. Zudem wählen wir  $\varepsilon$  standardnormalverteilt und unabhängig von X und wir definieren Y durch:

$$Y = m_d(X) + \sigma \cdot \lambda_d \cdot \varepsilon, \tag{4.1}$$

wobei  $m_d \colon [-2,2]^d \to \mathbb{R}$  den Regressionsfunktionen

$$m_1(x) = \sin(0.2 \cdot x^2) + \exp(0.5 \cdot x) + x^3$$

und

$$m_2(x_0, x_1) = \sin\left(\sqrt[2]{x_0^2 + x_1^2}\right)$$

entspricht. Den Skalierungsfaktor  $\lambda_d > 0$  wählen wir als Interquartilsabstand (*IQA*) einer Stichprobe von m(X). Für den Rauschfaktor  $\sigma$  gilt  $\sigma \in \{0.05, 0.1\}$ . Mit diesen Daten lässt sich nun auch Y darstellen.

Als Nächstes kommen wir zu den Schätzern, die wir in diesem Abschnitt vergleichen möchten. Für die Wahl der Parameter der jeweiligen Schätzer haben wir uns an [BKK19] orientiert. Der Schätzer  $fc_neural_1_estimate\ (m_{n,2})$  ist ein neuronales Netz mit Architektur  $(1,\mathbf{k})$ , wobei die Anzahl an Neuronen  $\mathbf{k}$  aus der Menge  $\{5,10,25,50,75\}$  stammt. Für das neuronale Netz haben wir die ReLu Aktivierungsfunktion  $f(x) = \max\{0,x\}$  verwendet. Die Anzahl der Neuronen in der verborgenen Schicht ist so gewählt, dass diese zu einem minimalen empirischen  $L_2$ -Risiko des Schätzers führt.

Unser nächster Schätzer  $nearest\_neighbor\_estimate(m_{n,3})$  ist ein Nächste-Nachbar-Schätzer [?, Kapitel 7.1], bei dem die Anzahl an nächsten Nachbarn so aus der Menge  $\{2,3,\ldots,9\}$  ausgewählt wird, dass dieser zu einem minimalen empirischen  $L_2$ -Risiko führt.

Um die Qualität der Schätzung mittels Kennzahlen zu quantifizieren und um diese mit anderen Schätzern zu vergleichen, betrachten wir in Tabelle 4.1 und Tabelle 4.2 den Interquartilsabstand und den Median des skalierten  $L_2$ -Fehlers  $\varepsilon_{L_2}(m_{n,i})$  der einzelnen Schätzer  $m_{n,i}$  von einer Stichprobe von Schätzungen.

Für die Schätzung von  $m_1$  setzen wir: d = 1, N = 3, q = 2,  $R = 10^6$ , a = 2, M = 2, da diese Wahl der Parameter bereits sehr gute und schnelle Schätzungen liefert. Für die Schätzung von  $m_2$  erhalten wir bereits mit: d = 2, N = 2, q = 2,  $R = 10^6$ , a = 2, M = 2 sehr gute Schätzungen.

Keras erwähnen s.o. 2 mal gleicher Satzanfang Wir betrachten ein skaliertes Fehlermaß, da wir die zu schätzenden Regressionsfunktionen  $m_d$  kennen und der Fehler stark von der Komplexität der zu schätzenden Funktion abhängt. Dieses skalierte Fehlermaß ist so zu verstehen, dass wir den empirischen  $L_2$ -Fehler im Verhältnis zum Median des empirischen  $L_2$ -Fehlers  $\bar{\epsilon}_{L_2}$  des simpelsten Schätzers von  $m_d$ , einer konstanten Funktion, welchen wir als *konstanten Schätzer* bezeichnen, betrachten. Dieses skalierte Fehlermaß ist so zu deuten, dass ein großer Fehler eines Regressionsschätzers im Falle, dass der Fehler des konstanten Schätzers klein ist, auf eine noch schlechtere Leistung hindeutet.

Unser Vorgehen zum Vergleich der drei hier betrachteten Regressionsschätzer gestaltet sich wie folgt: Da die resultierenden skalierten Fehler noch von der Stichprobe von (X,Y) abhängen und um diese Werte besser vergleichen zu können, führen wir die Fehlerberechnung jeweils 50 mal durch und geben dann den Median und den Interquartilsabstand für die Schätzung der betrachteten Regressionsschätzer aus. Um diesen skalierten  $L_2$ -Fehler in jeder der 50 Iterationen zu bestimmen, gehen wir folgt vor:

Wir teilen die Stichprobe von X in ein Learning-Sample  $X_{\text{train}}$  der Größe  $n_{\text{train}} = 800$  und in ein Testing-Sample  $X_{\text{test}}$  der Größe  $n_{\text{test}} = 200$  auf. Auf dem Learning-Sample werden nun auch die Werte  $Y_{\text{train}}$  als Realisierung der Zufallsvariable Y aus Gleichung (4.1) bestimmt. Jedem einzelnen dieser Schätzer wird nun der Datensatz ( $X_{\text{train}}, Y_{\text{train}}$ ) zum Lernen bzw. Festlegen der Parameter gegeben. Wir bestimmen als Erstes den  $L_2$ -Fehler der einzelnen Schätzer  $m_{n,i}$  mit i=1,2,3 approximativ durch den empirischen  $L_2$ -Fehler  $\varepsilon_{L_2}(m_{n,i})$  auf einer unabhängigen Stichprobe  $X_{\text{test}}$  der Größe 200. Mit dem konstanten Schätzer bestimmen wir nun 25-mal den empirischen  $L_2$ -Fehler auf einer unabhängigen Stichprobe von X der Größe 200. Von dieser Stichprobe von Fehlern nehmen wir nun den Median und erhalten so das skalierte Fehlermaß  $\varepsilon_{L_2}(m_{n,i})/\bar{\varepsilon}_{L_2}$ .

Wie wir in Tabelle 4.1 und Tabelle 4.2 anhand des Medians und des IQA des skalierten  $L_2$ -Fehlers sehen können, übertrifft unserer Neuronale-Netze-Regressionsschätzer in allen Fällen die Leistung der anderen Schätzer.

was ist n?

	$m_1$	
σ	5%	10%
$ar{ar{arepsilon}}_{L_2,N}$	13.4482362	13.3925910
Lageparam. (Streuungsmaß)	Median (IQA)	Median (IQA)
new_neural_network_estimate	2.482e-05 (1.612e-05)	6.908e-05 (3.936e-05)
fc_neural_1_estimate	4.384e-04 (2.14e-03)	7.261e-04 (4.57e-03)
nearest_neighbor_estimate	2.9527e-04 (9.312e-05)	9.0864e-04 (2.895e-04)

Tabelle 4.1: Median und IQR von 50 skalierten empirischen  $L_2$ -Fehlers für Schätzungen für  $m_1$ .

	$m_2$	
σ	5%	10%
$ar{arepsilon}_{L_2,N}$	0.0324	0.0311
Lageparam. (Streuungsmaß)	Median (IQA)	Median (IQA)
new_neural_network_estimate	0.003961 (0.000932)	0.00431 (0.000973)
fc_neural_1_estimate	0.0257 (0.3803)	0.0559 (0.52033)
nearest_neighbor_estimate	0.01616 (0.005906)	0.01763 (0.007081)

Tabelle 4.2: Median und IQR von 50 skalierten empirischen  $L_2$ -Fehlers für Schätzungen  $m_2$ .

# **Appendix**

Der Programmcode ist wie folgt aufgebaut:

- main.py ist das Hauptprogramm welches alle Schätzer aufruft und die Ouputs generiert.
- parametersimulation\_d1.py führt eine Parameterstudie für unseren Neuronale-Netze-Regressionschätzer durch.
- data\_gen.py generiert die Daten die wir für unsere Simulation benötigen.
- help\_neural\_networks.py fasst alle Hilfsfunktionen zusammen.
- new\_neural\_network.py enthält unseren Neuronale-Netze-Regressionsschätzer.
- fc\_neural\_network.py enthält das neuronale Netz mit einer verborgenen Schicht.
- nearest\_neighbor.py enthält einen Nächste-Nachbar-Schätzer.
- constant.py enthält den konstanten Schätzer.

#### Listing 4.1: main.py

```
Main Datei die die Simulation und damit den Vergleich der implementierten Schaetzer

durchfuehrt.

"""

import numpy as np

import pandas as pd

from scipy.stats import iqr

from data_gen import gen_data_Y

from constant import constant_estimate

from new_neural_network import new_neural_network_estimate

from nearest_neighbor import nearest_neighbor_estimate

from fc_neural_network import fc_neural_1_estimate

and

n = 1000

n_train = int(n * 0.8)

n_test = int(n * 0.2)
```

```
18 ,,,
19 ein Vergleich des emp. L2 Fehler gemacht fuer d = 1
20 ,,,
21 # Wahl der Parameter fuer unseren neuen Neuronale-Netze-Regressionschaetzer
23 N = 3
24 q = 2
25 R = 10 ** 6
a = 2
27 M = 2
28 d = 1
29
30 \text{ spreads} = [0.05, 0.1]
32 \text{ scaled\_error} = \text{np.empty}((50, 3,))
33 scaled_error[:] = np.nan
e_L2_avg = np.zeros(25)
36 \text{ e}_L2_avg[:] = np.nan
38 for sigma in spreads:
       for i in range(0, np. size(scaled_error, 0), 1):
30
40
           X_train = np.random.uniform(low=-a, high=a, size=(int(n_train),d))
41
42
           m_X_train , Y_train = gen_data_Y(X_train , sigma)
43
44
           X_{test} = np.random.uniform(low=-a, high=a, size=(int(n_{test}), d))
           Y_pred_new_nn = new_neural_network_estimate(X_train, Y_train, X_test, N, q, R, d
46
47
           Y_pred_fc_nn_1 = fc_neural_1_estimate(X_train, Y_train, X_test)
48
           Y_pred_nearest_neighbor = nearest_neighbor_estimate(X_train, Y_train, X_test)
           m_X_{test}, not_{needed} = gen_{data_Y(X_{test}, sigma)}
50
51
           e_L2_new_nn = np.mean(abs(Y_pred_new_nn - m_X_test) ** 2)
52
           e_L2_fc_nn_1 = np.mean(abs(Y_pred_fc_nn_1 - m_X_test) ** 2)
           e_L2_nearest_neighbor = np.mean(abs(Y_pred_nearest_neighbor - m_X_test) ** 2)
55
           for j in range(0, np. size(e_L2_avg),1):
56
57
               X = np.random.uniform(low=-2, high=2, size=(n_test, d))
58
59
               m_X, Y = gen_data_Y(X, sigma)
               Y_pred_constant = constant_estimate(Y)
60
61
               e_L2_avg[j] = np.mean(abs(Y_pred_constant - m_X) ** 2)
           scaled_error[i,0] = e_L2_new_nn / np.median(e_L2_avg)
64
           scaled\_error[i,1] = e_L2\_fc\_nn_1 / np.median(e_L2\_avg)
65
66
           scaled_error[i,2] = e_L2_nearest_neighbor / np.median(e_L2_avg)
       iqr_new_nn = iqr(scaled_error[:,0])
68
       iqr_fc_nn_1 = iqr(scaled_error[:,1])
69
       iqr_nearest_neighbor = iqr(scaled_error[:,2])
70
71
```

```
72
       median_new_nn = np.median(scaled_error[:,0])
       median_fc_nn_1 = np.median(scaled_error[:,1])
73
       median_nearest_neighbor = np.median(scaled_error[:,2])
74
75
       rows = ["noise", "e_L2_avg", "approach", "new_nn", "fc_nn_1", "nearest_neighbor"]
76
77
       if sigma == 0.05:
78
           series_noise_1 = pd. Series([repr(sigma)+'%', np. median(e_L2_avg), "(Median, IQR)"
                ,(median_new_nn, iqr_new_nn), (median_fc_nn_1, iqr_fc_nn_1), (median_nearest
                _neighbor, iqr_nearest_neighbor)], index=rows)
           series_noise_1.name = ""
80
           print ("Der empirische L2 Fehler fuer d = 1 und sigma = 0.05 ist berechnet worden
81
                !")
82
83
       else:
           series_noise_2 = pd. Series([repr(sigma),np.median(e_L2_avg),"(Median, IQR)",(
84
                median_new_nn, iqr_new_nn), (median_fc_nn_1, iqr_fc_nn_1), (median_nearest_
                neighbor, iqr_nearest_neighbor)], index=rows)
           series_noise_2.name = ""
           print("Der empirische L2 Fehler fuer d = 1 und sigma = 0.1 ist berechnet worden!
86
                ")
87
89 error_df = pd.concat([series_noise_1, series_noise_2], axis=1)
90 error_df.to_csv('out_d_1.csv', index = True)
92 ,,,
93 ein Vergleich des emp. L2 Fehler gemacht fuer d = 2
95 # Wahl der Parameter fuer unseren neuen Neuronale-Netze-Regressionschaetzer
96
97 N = 2
98 \ q = 2
99 R = 10 ** 6
100 \ a = 2
101 M = 2
102 d = 2
104 \text{ spreads} = [0.05, 0.1]
105
scaled_error = np.empty((50, 3,))
107 scaled_error[:] = np.nan
109 \text{ e}_L2_avg = np.zeros(25)
110 e_L2_avg[:] = np.nan
111
112 for sigma in spreads:
       for i in range(0, np. size(scaled_error, 0), 1):
114
115
           X_train = np.random.uniform(low=-a, high=a, size=(int(n_train),d))
116
           m_X_{train}, Y_{train} = gen_{data}Y(X_{train}, sigma)
117
           X_{test} = np.random.uniform(low=-a, high=a, size=(int(n_{test}), d))
118
119
120
           Y_pred_new_nn = new_neural_network_estimate(X_train, Y_train, X_test, N, q, R, d
```

```
, M, a,)
           Y_pred_fc_nn_1 = fc_neural_1_estimate(X_train, Y_train, X_test)
           Y_pred_nearest_neighbor = nearest_neighbor_estimate(X_train, Y_train, X_test)
           m_X_test, not_needed = gen_data_Y(X_test, sigma)
124
125
           e_L2\_new\_nn = np.mean(abs(Y\_pred\_new\_nn - m\_X\_test) ** 2)
126
           e_L2_fc_nn_1 = np.mean(abs(Y_pred_fc_nn_1 - m_X_test) ** 2)
           e_L2_nearest_neighbor = np.mean(abs(Y_pred_nearest_neighbor - m_X_test) ** 2)
           for j in range (0, np. size (e_L2_avg),1):
130
               X = np.random.uniform(low=-a, high=a, size=(n_test, d))
               m_X, Y = gen_data_Y(X, sigma)
134
               Y_pred_constant = constant_estimate(Y)
               e_L2_avg[j] = np.mean(abs(Y_pred_constant - m_X) ** 2)
           scaled_error[i,0] = e_L2_new_nn / np.median(e_L2_avg)
138
           scaled_error[i,1] = e_L2_fc_nn_1 / np.median(e_L2_avg)
139
           scaled_error[i,2] = e_L2_nearest_neighbor / np.median(e_L2_avg)
140
141
       iqr_new_nn = iqr(scaled_error[:,0])
142
       iqr_fc_nn_1 = iqr(scaled_error[:,1])
       iqr_nearest_neighbor = iqr(scaled_error[:,2])
144
145
       median_new_nn = np.median(scaled_error[:,0])
       median_fc_nn_1 = np.median(scaled_error[:,1])
       median_nearest_neighbor = np.median(scaled_error[:,2])
148
149
       rows = ["noise", "e_L2_avg", "approach", "new_nn", "fc_nn_1", "nearest_neighbor"]
150
151
       if sigma == 0.05:
152
           series_noise_1 = pd. Series([repr(sigma),np.median(e_L2_avg),"(Median, IQR)",(
153
               median_new_nn, iqr_new_nn), (median_fc_nn_1, iqr_fc_nn_1), (median_nearest_
               neighbor, iqr_nearest_neighbor)], index=rows)
           series_noise_1.name = ""
           print ("Der empirische L2 Fehler fuer d = 2 und sigma = 0.05 ist berechnet worden
156
157
       else:
           series_noise_2 = pd. Series([repr(sigma)+'%',np.median(e_L2_avg),"(Median, IQR)"
158
                , (median_new_nn, iqr_new_nn), (median_fc_nn_1, iqr_fc_nn_1), (median_nearest
               _neighbor, iqr_nearest_neighbor)], index=rows)
           series_noise_2.name = ""
159
           print("Der empirische L2 Fehler fuer d = 2 und sigma = 0.1 ist berechnet worden!
               ")
161
162 error_df = pd.concat([series_noise_1, series_noise_2], axis=1)
163 error_df.to_csv('out_d_2.csv',index = True)
                                   Listing 4.2: constant.py
1 """
2 Parameterstudie für den indimensional Fall
```

```
4 import numpy as np
_{5} import matplotlib . pyplot as plt
6 from scipy.stats import iqr
7 import tikzplotlib
8 from new_neural_network import new_neural_network_estimate
10 # Regressionsfunktionen
11 #
12 # x: Ein Vektor x der Dimension d
13 # d: Dimension des Vektors x
14
15 def m (x,d):
16
      sin = np.sin
18
      pi = np.pi
19
      return sin(pi/2 * x ** 2)
20
21
22 # Generiert den Vektor Y_1,...,Y_n fuer den Datensatz (X_1,Y_1),...,(X_n,Y_n)
24 # X: Inputdaten der Form (X_1, \dots, X_n), wobei X_i \in \mathbb{R}^d fuer i = 1, \dots, n
25 # sigma: Streuungsfaktor \in \{0.05, 0.1\}
27 def gen_data_Y (X, sigma):
28
29
      n = np. size(X, 0)
      d = np.size(X, 1)
30
      m_X = np.zeros((n,1,))
32
      m_X[:] = np.nan
33
34
35
      S = np.random.standard_normal(size = (n, 1))
      for t in range (0,n):
          m_X[t] = m(X[t], d)
37
38
      Y = m_X + sigma * iqr(m_X) * S
39
      return (m_X, Y)
42 n = 1000
43 \ n_{train} = int(n * 0.8)
44 n_test = int(n * 0.2)
45
46 # Parametersets
47 # Vergleich 1
48 #N, q, R, M = 2, 2, 10 ** 6, 2
49 #N, q, R, M = 4, 2, 10 ** 6, 2
50 #N, q, R, M = 8, 2, 10 ** 6, 2
51 #N, q, R, M = 16, 2, 10 ** 6, 2
52
53 # Vergleich 2
54 #N, q, R, M = 2, 2, 10 ** 6, 2
55 #N, q, R, M = 2, 2, 10 ** 6, 4
56 #N, q, R, M = 2, 2, 10 ** 6, 8
57 \text{ #N}, q, R, M = 2, 2, 10 ** 6, 16
```

```
59 # Vergleich 3
60 #N, q, R, M = 16, 2, 10 ** 6, 2
61 #N, q, R, M = 16, 2, 10 ** 6, 4
62 #N, q, R, M = 16, 2, 10 ** 6, 8
63 #N, q, R, M = 16, 2, 10 ** 6, 16
65 # Vergleich 4
66 #N, q, R, M = 2, 2, 10 ** 6, 16
67 #N, q, R, M = 4, 2, 10 ** 6, 16
68 #N, q, R, M = 8, 2, 10 ** 6, 16
69 #N, q, R, M = 16, 2, 10 ** 6, 16
70
71 # Vergleich 5
72 #N, q, R, M = 4, 2, 10 ** 6, 9
73 N, q, R, M = 9, 2, 10 ** 6, 4
74 #N, q, R, M = 3, 2, 10 ** 6, 4
75 #N, q, R, M = 4, 2, 10 ** 6, 3
77 \ a = 3
78 d = 1
79 \text{ sigma} = 0.05
81 np.random.seed(1)
82 X_train = np.random.uniform(low=-a, high=a, size=(int(n_train),d))
83 m_X_{train}, Y_{train} = gen_{data}Y(X_{train}, sigma)
85 X_test = np.random.uniform(low=-a, high=a, size=(int(n_test),d))
87 Y_pred_new_nn = new_neural_network_estimate(X_train, Y_train, X_test, N, q, R, d, M, a,)
88 m_X_{\text{test}}, dummy = gen_data_Y(X_{\text{test}}, sigma)
89
91 gridpoints = np.arange(-a, a, 0.01)
92 plt.plot(gridpoints,m(gridpoints,d),color='black')
93 plt.scatter(X_test, Y_pred_new_nn, color = 'red', alpha=1, marker= "x")
94 plt. title ('N = '+str(N)+', '+'M = '+str(M))
95 tikzplotlib.save("mytikz_N"+str(N)+"_M"+str(M)+".tex")
                                   Listing 4.3: data_gen.py
2 Generieren der Daten die wir fuer einen Vergleich von Regressionsschaetzern benoetigen
4 # Wir waehlen x gleichverteilt auf [-2,2]^d, wobei d die Dimension des Inputs ist
5 # n is die Groesse der Stichprobe
7 import numpy as np
8 from scipy.stats import iqr
10 # Regressionsfunktionen
12 # x: Ein Vektor x der Dimension d
13 # d: Dimension des Vektors x
15 def m_d (x, d):
```

```
sin = np.sin
17
      exp = np.exp
18
19
      if d == 1:
20
          return \sin(0.2 * x[0] ** 2) + \exp(0.5 * x[0]) + x[0] ** 3
21
       elif d == 2:
           return np. sin(np. sqrt(x[0] ** 2 + x[1] ** 2))
24
      else:
26
           print("Your data has the wrong dimension!")
27
28
29 # Generiert den Vektor Y_1, \dots, Y_n fuer den Datensatz (X_1, Y_1), \dots, (X_n, Y_n)
31 # X: Input aten der Form (X_1, \dots, X_n), wobei X_i \in \mathbb{R}^d fuer i = 1, \dots, n
32 # sigma: Streuungsfaktor \in \{0.05,0.1\}
34 def gen_data_Y (X, sigma):
36
      n = np. size(X, 0)
      d = np. size(X, 1)
37
38
39
      m_X = np.zeros((n,1,))
      m_X[:] = np.nan
41
      S = np.random.standard_normal(size=(n,1))
42
43
      for t in range (0,n):
          m_X[t] = m_d(X[t], d)
      Y = m_X + sigma * iqr(m_X) * S
46
      return (m_X, Y)
                           Listing 4.4: help_neural_networks.py
1 """
2 Implementation von neuronalen Netzen welche wir fuer die Konstruktion unseres
3 Neuronale-Netze-Regressionschaetzers benoetigen
5 import numpy as np
7 # Sigmoidfunktion
8 #
9 # x: x \in \R
11 def sigmoid (x):
12
      return 1 / (1 + np.exp(-x))
15 # Neuronales Netz welches die Funktion f(x) = x approximiert
16 #
17 # x: reelle Zahl
18 # R: reelle Zahl >= 1
20 def f_id(x, R):
21
      return 4 * R * sigmoid(x / R) - 2 * R
```

```
24 # Neuronales Netz welches die Funktion f(x, y) = x * y approximiert
25 #
26 # x: reelle Zahl
27 # y: reelle Zahl
28 # R: reelle Zahl >= 1
30 def f_{mult}(x, y, R):
      return (((R ** 2) / 4) * (((1 + np.exp(-1)) ** 3) / (np.exp(-2) - np.exp(-1)))) \setminus
32
      * (sigmoid(((2 * (x + y)) / R) + 1) - 2 * sigmoid(((x + y) / R) + 1) 
33
      - sigmoid(((2 * (x - y)) / R) + 1) + 2 * sigmoid(((x - y) / R) + 1))
34
35
36 # Neuronales Netz welches die Funktion f(x) = max(x,0) approximiert
38 # x: reelle Zahl
39 # R: reelle Zahl >= 1
41 def f_relu(x, R):
      return f_{mult}(f_{id}(x, R), sigmoid(R * x), R)
43
44
45 # Neuronales Netz welches die Funktion f(x) = max(1 - (M/(2 * a)) * abs(x - y), 0)
       approximiert
46 #
47 # x: reelle Zahl
48 # y: fixe reelle Zahl
49 # R: reelle Zahl >= 1
50 # M: fixe natuerliche Zahl
51 # a: fixe Zahl > 0
52
53 def f_{hat} (x, y, R, M, a):
       return f_relu((M / (2 * a)) * (x - y) + 1, R) - 2 * f_relu((M / (2 * a)) * (x - y),
           R) + 2 * f_relu((M / (2 * a)) * (x - y) - 1, R)
                             Listing 4.5: new_neural_network.py
{\small 2\>\>Implementation\>\>unseres\>\>Neuronale-Netze-Regressions chaetzers}\\
4 import scipy.special
5 import numpy as np
6 import itertools
7 from help_neural_networks import f_id, f_mult, f_hat
8 import math
10 # Neuronales Netz welches die Funktion f(x) = (x^{(1)} - x_ik^{(1)})^j + \dots *
11 \ \# \ (x^{(d)} - x_i k^{(d)})^j d \ * \ \ prod_{j} = 1 \ \ max((1 - (M/2a) \ * \ abs(x^{(j)} - x_i k^{(j)})), 0)
12 #
13 # x: Eingabevektor fuer das neuronale Netz x \in [-a,a]^d
14 # d: Ist die Dimension des Eingabevektors d > 0
15 # j_1_d: Ist ein d-dimensionaler Vektor j_1, \ldots, j_d \in \{0, 1, \ldots, N\}
16 # X_i: Ist eine d x (M+1)^d Matrix.
17 # N: Natuerliche Zahl >= q
```

18 # q:

```
19 # s: [log_2(N + d)]
20 # R: Zahl >= 1
21 # M: M \in N
22 \# a: > 0
24 def f_net (x, d, j_1_d, X_i, N, q, s, R, M, a):
      #initialize f_1_k
25
26
      f_1_k = np.empty((s + 1, (2 ** s) + 1,))
      f_1_k[:] = np.nan
28
29
      # Rekursive Definition des neuronalen Netzes f_net nach Kapitel 2
30
31
      for k in range(np.sum(j_1_d) + d + 1, (2 ** s) + 1, 1):
33
           f_1_k[s, k] = 1
34
      for k in range(1, d + 1, 1):
35
           f_1_k[s, np.sum(j_1_d) + k] = f_hat(x[k-1], X_i[k-1], R, M, a)
36
      for 1 in range (1, d + 1, 1):
38
           k = j_1d[range(0, 1 - 1, 1)].sum() + 1
39
           while k in range (j_1]_d[range(0, 1 - 1, 1)].sum() + 1, j_1]_d[range(0, 1, 1)].sum
40
               () + 1, 1):
               f_1_k[s, k] = f_id(f_id(x[1-1]-X_i[1-1], R), R)
42
               k += 1
43
      for 1 in range (s - 1, -1, -1):
           for k in range ((2 ** 1), 0, -1):
               f_1_k[1, k] = f_mult(f_1_k[1 + 1, (2 * k) - 1], f_1_k[1 + 1, 2 * k], R)
46
47
      return f_1_k[0,1]
48
49
50 # Bestimmung der Gewichte der Ausgabeschicht durch loesen eines regularisierten
51 # Kleineste-Quadrate-Problems
52 #
53 # X: Eingabevektoren der Form (X_1,...,X_n) fuer das neuronale Netz aus dem Datensatz (X
       _{1},Y_{1},\ldots,(X_{n},Y_{n})
54 # Y: Eingabevektoren der Form (Y_1,...,Y_n) fuer das neuronale Netz aus dem Datensatz (X
       _{1},Y_{1},\ldots,(X_{n},Y_{n})
55 # N: Natuerliche Zahl >= q
56 # q:
57 # R: Zahl >= 1
58 # d: Ist die Dimension des Eingabevektors d > 0
59 # M: M \in \N
60 # a: >0
61
62 def output_weights(X, Y, N, q, R, d, M, a):
63
      s = math.ceil(math.log2(N + d))
64
65
      \# Anzahl der Eingabevektoren X_1, \ldots, X_n
      n = np. size(X, 0)
68
69
      # Eine beliebige Konstante > 0
70
```

```
71
       c_3 = 0.01
72
73
       # Anzahl der Spalten der Matrix fuer das Kleinste-Quadrate-Problem
74
       # In den Spalten sind die Funktionswerte von f_net eingespeichert
75
76
       J = int(((1 + M) ** d) * scipy.special.binom(N + d, d))
77
       # Fuer die Konstruktion der Matrix brauchen wir erstmal alle Inputparameter
       # fuer f_net, da wir dort nur den Funktionswert fuer einen Vektor j_1,...,j_d
           einsetzen
       # muessen wir erstmals alle moeglichen Vektoren dieser Art konstruieren die die
81
           Bedingung 0 \le j_1 + \ldots + j_d \le N erfuellen
       # X_ik hat in den Zeilen die Vektoren X_i aus dem Paper
82
83
       X_i = np.transpose(np.empty((d, (1 + M) ** d,)))
84
       X_{ik}[:] = np.nan
85
       I_k = np. array(list(itertools.product(range(0, M + 1), repeat = d)))
       X_ik[:] = (I_k[:] * ((2 * a) / M)) - a
88
89
       all_jl_jd = np.array(list(itertools.product(range(0, N + 1), repeat = d)))
90
       all_j1_jd_by_cond = all_j1_jd[all_j1_jd.sum(axis=1) \le N]
91
       B = np.empty((n, J,))
93
       B[:] = np.nan
94
95
       for i in range (0, n):
           j = 0
97
           for k in range (0, ((M + 1) ** d)):
98
99
                for z in range(0, int(scipy.special.binom(N + d, d))):
                   B[i,j] = f_net(X[i], d, all_jl_jd_by_cond[z], X_ik[k], N, q, s, R, M, a)
100
101
102
       weights = np.linalg.solve(np.dot(np.transpose(B),B) + (c_3) * np.identity(J), np.dot
103
           (np.transpose(B),Y))
       return (weights, J, all_jl_jd_by_cond, X_ik)
106
107 # Bestimmung des Funktionswerts des Neuronale-Netze-Regressionsschaetzers.
108 #
109 # x: Eingabe fuer einen Vektor der Form [-a,a]^d fuer den eine Schaetzung bestimmt
       werden soll
110 # X: Eingabevektoren der Form (X_1,...,X_n) fuer das neuronale Netz aus dem Datensatz (X
       _1, Y_1), \ldots, (X_n, Y_n)
111 # Y: Eingabevektoren der Form (Y_1,...,Y_n) fuer das neuronale Netz aus dem Datensatz (X
       _{1},Y_{1}) ,..., (X_{n},Y_{n})
112 # N: Natuerliche Zahl >= q
113 # q:
114 # s: [\log_2(N + d)]
115 # R: Zahl >= 1
116 # d: Ist die Dimension des Eingabevektors d > 0
117 # M: M \in \N
118 # a: >0
119
```

```
120 def new_neural_network_estimate(X_train, Y_train, X_test, N, q, R, d, M, a):
       Y_pred = np.empty((len(X_test), 1,))
123
       Y_pred[:] = np.nan
124
       s = math.ceil(math.log2(N + d))
125
126
       weights, J, all_jl_jd_by_cond, X_ik = output_weights(X_train, Y_train, N, q, R, d, M
       F_{net} = np.empty((1, J,))
129
       F_net[:] = np.nan
130
131
       for u in range (0, len(X_test), 1):
           j = 0
           while j < J:
134
                for k in range (0, ((M + 1) ** d)):
135
                    for z in range(0, int(scipy.special.binom(N + d, d))):
                        F_{net}[0,j] = f_{net}(X_{test}[u], d, all_jl_jd_by_cond[z], X_ik[k], N, q
                             s, R, M, a
                        j += 1
138
139
           Y_pred[u] = np.sum(np.transpose(weights) * F_net)
140
       return Y_pred
142
                              Listing 4.6: fc_neural_network.py
 2 Implementation eines fully connected neuronalen Netzes mit einer verborgenen Schicht.
 3 """
 4 import numpy as np
 5 from keras.models import Sequential
 6 from keras.layers import Dense
 8 # Fully connected neuronales Netz mit einer verborgenen Schicht welches die
 9 # Anzahl der Neuronen adaptiv, durch Minimierung des L2-Fehlers, aus der Menge \{5, 10,
       25, 50, 75\} waehlt.
11 # X: Eingabevektor der Form (X_1,...,X_n) fuer das neuronale Netz aus dem Datensatz (X
       {_{\_1}}\,,\!Y_{\_1})\ ,\ldots \,,\!(X_{\_n}\,,\!Y_{\_n})
12 # Y: Eingabevektor der Form (Y_1,...,Y_n) fuer das neuronale Netz aus dem Datensatz (X
       _1, Y_1), \dots, (X_n, Y_n)
14 def fc_neural_1_estimate (X_train, Y_train, X_test):
15
       Ynew = np.empty((len(X_train), len([5,10,25,50,75]),))
       Y_{new}[:] = np.nan
18
       count = 0
19
20
       n_neurons = [5, 10, 25, 50, 75]
       d = np.size(X_train, 1)
       for j in n_neurons:
24
```

model = Sequential()

```
model.add(Dense(j, input_dim=d, activation='relu'))
26
          model.add(Dense(1, activation='linear'))
27
          model.compile(loss='mse', optimizer='adam')
28
          model.fit(X_train, Y_train, epochs=1000, verbose=0)
29
          Ynew[:,count] = model.predict(X_train)[:,0]
31
          count += 1
32
33
      Diff = Ynew[:] - Y_train[:]
34
      best_n_neurons = n_neurons [(1/len(X_train) *(Diff.sum(axis=0) ** 2)).argmin()]
35
36
      model = Sequential()
37
      model.add(Dense(best_n_neurons, input_dim=d, activation='relu'))
38
      model.add(Dense(1, activation='linear'))
40
      model.compile(loss='mse', optimizer='adam')
      model.fit(X_train, Y_train, epochs=1000, verbose=1)
41
42
      return model.predict(X_test)
43
                             Listing 4.7: nearest_neighbor.py
2 Implementation eines Naechste-Nachbarn-Schaetzer
5 from sklearn import neighbors
6 from sklearn.model_selection import GridSearchCV
7 import warnings
9 warnings.simplefilter(action='ignore', category=FutureWarning)
10
11 # Implementierung des k-Naechste-Nachbarn-Schaetzer. Dieser bestimmt auch selber bei
      einer Liste von Anzahlen an Nachbarn die betrachtet werden
12 # sollen welches die beste Wahl ist. Dieser gibt die Schaetzung fuer X_test aus.
13 #
14 # X_train: Inputvektor fuer das Training des Schaetzers
15 # Y_train: Inputvektor fuer das Training des Schaetzers
16 # X_test: Inputvektor der geschaetzt werden soll
18 def nearest_neighbor_estimate (X_train, Y_train, X_test):
19
      params = { 'n_neighbors':[2,3,4,5,6,7,8,9], 'weights': ['uniform', 'distance']}
20
21
      knn = neighbors.KNeighborsRegressor()
22
24
      knn_gridsearch_model = GridSearchCV(knn, params, cv=5)
      knn_gridsearch_model.fit(X_train,Y_train)
26
      return knn_gridsearch_model.predict(X_test)
                                  Listing 4.8: constant.py
```

1 """

2 Implementation des konstanten Schaetzers.

```
4 import numpy as np
5 from scipy import mean
6
7 # Gibt den Mittelwert der Funktionswerte einer Funktion als Schaetzung zurueck
8 #
9 # Y: Datensatz der Form (Y_1,...) wobei Y_i \in \R fuer i = 1,...
10
11 def constant_estimate(Y):
12     m = np.zeros((len(Y),1,))
13     m[:] = mean(Y)
14     return m
```

# Literaturverzeichnis

- [Bar15] R. Bartsch. *Allgemeine Topologie*. De Gruyter, Berlin, 2. edition, 2015.
- [BKK19] A. Braun, M. Kohler, und A. Krzyzak. Analysis of the rate of convergence of neural network regression estimates which are easy to implement. 2019.
- [Bos13] S. Bosch. *Algebra*. Springer-Lehrbuch. Springer, Berlin, 8. Auflage, 2013.
- [C<sup>+</sup>15] F. Chollet et al. Keras. https://keras.io, 2015.
- [DGL96] L. Devroye, L. Györfi, und G. Lugosi. *A Probabilistic Theory of Pattern Recognition*. Springer, New York, 1. Auflage, 1996.
- [DW80] L. Devroye und T.J. Wagner. Distribution-free consistency results in non-parametric discrimination and regression function estimation. *Annals of Statistic*, 8:231–239, 1980.
- [For16] O. Forster. *Analysis 1 Differential- und Integralrechnung einer Veränderlichen.* Springer, Berlin, 12. Auflage, 2016.
- [GBC16] I. Goodfellow, Y. Bengio, und A. Courville. *Deep Learning*. Adaptive Computation and Machine Learning series. MIT Press, 2016.
- [GKKW02] L. Györfi, M. Kohler, A. Krzyzak, und H. Walk. *A Distribution-Free Theory of Nonparametric Regression*. Springer series in statistics. Springer, Berlin, 1. Auflage, 2002.
- [HTN96] Hesiod, D.W. Tandy, und W.C. Neale. *Works and Days: A Translation and Commentary for the Social Sciences*. University of California Press, 1996.
- [Kle13] A. Klenke. Wahrscheinlichkeitstheorie. Springer, Berlin, 2013.
- [Kre98] R. Kress. *Numerical analysis*. Springer, Berlin, 1. Auflage, 1998.
- [Kö04] K. Königsberger. *Analysis* 2. Springer, Berlin, 5. Auflage, 2004.

- [MK05] C. Martin und B.M.W. Knox. *Metamorphoses: A New Translation*. W. W. Norton, 2005.
- [RN09] Stuart Russell und Peter Norvig. *Artificial Intelligence: A Modern Approach*. Prentice Hall Press, USA, 3. Auflage, 2009.
- [Spa96] B.A. Sparkes. *The Red and the Black: Studies in Greek Pottery*. Routledge, 1996.
- [TEC19] A. Toller, F. Edholm, und D. Chen. *Proofs in Competition Math: Volume 2*. Lulu.com, 2019.
- [VRDJ95] G. Van Rossum und F. L. Drake Jr. *Python tutorial*. Centrum voor Wiskunde en Informatica Amsterdam, The Netherlands, 1995.